



جامعة الموصل
كلية الطب البيطري

تأثير الدايكوفيناك والفينوباربيتال في الاختلافات العصبية وبعض المعايير الكيموحيوية المحدثة بـ 4-اميโนباييردين في نموذج أفراغ الدجاج

زهير سالم أحمد الجبوري

رسالة ماجستير
الطب البيطري / الأدوية والسموم البيطرية

بإشراف
الأستاذ المساعد الدكتور
مأب عزمي فاضل

تأثير الـ دايكلوفيناك و الفينوباربิตال في الاختلاجات العصبية و بعض المعايير الكيموحيوية المحدثة بـ 4-أمينوبايرودين في نموذج أفراخ الدجاج

رسالة تقدم بها

زهير سالم أحمد الجبوري

إلى

مجلس كلية الطب البيطري في جامعة الموصل
وهي جزء من متطلبات نيل شهادة الماجستير
في اختصاص الطب البيطري / الأدوية والسموم البيطرية

بإشراف
الأستاذ المساعد الدكتورة

مأب عزمي فاضل

بِسْمِ اللَّهِ الرَّحْمَنِ الرَّحِيمِ

يَرْفَعُ اللَّهُ الَّذِينَ ءَامَنُوا مِنْكُمْ وَالَّذِينَ أُوتُوا الْعِلْمَ
دَرَجَاتٍ وَاللَّهُ بِمَا تَعْمَلُونَ خَيْرٌ

صَدِيقُ اللَّهِ الْعَظِيمَ

سُورَةُ الْمُجَادِلَةِ (11)

إقرار المشرف

أشهد أن إعداد هذه الرسالة الموسومة "تأثير الديكلوفيناك و الفينوباربيتال في الاختلاجات العصبية و بعض المعايير الكيموحيوية المحدثة بـ 4-امينوبابيردين في نموذج أفراخ الدجاج" جرى تحت إشرافي في جامعة الموصل/كلية الطب البيطري، وهي جزء من متطلبات شهادة الماجستير في اختصاص الطب البيطري / الأدوية والسموم البيطرية.

التوقيع:

المشرف: أ.م.د. مأب عزمي فاضل

التاريخ: 2024 /

إقرار المقوم اللغوي

أشهد أن هذه الرسالة الموسومة "تأثير الديكلوفيناك و الفينوباربيتال في الاختلاجات العصبية و بعض المعايير الكيموحيوية المحدثة بـ 4-امينوبابيردين في نموذج أفراخ الدجاج" قد تمت مراجعتها من الناحية اللغوية وتصحيح ما ورد فيها من أخطاء لغوية وتعبيرية وبذلك أصبحت الرسالة مؤهلة للمناقشة بقدر تعلق الأمر بسلامة الأسلوب وصحة التعبير.

التوقيع:

الاسم: م.د محمد علي إبراهيم حسن

التاريخ: 2024 /

إقرار المقوم الأحصائي

أشهد أن هذه الرسالة الموسومة "تأثير الديكلوفيناك و الفينوباربيتال في الاختلاجات العصبية و بعض المعايير الكيموحيوية المحدثة بـ 4-امينوبابيردين في نموذج أفراخ الدجاج" قد تمت مراجعتها من الناحية الأحصائية وتصحيح ما ورد فيها من أخطاء احصائية وبذلك أصبحت الرسالة مؤهلة للمناقشة.

التوقيع:

الاسم: م.د. محمود محمد طاهر يونس

التاريخ: 2024 /

إقرار رئيس فرع الفسلجة والكيمياء الحياتية والأدوية

بناءً على توصيتي المشرف والمقوم اللغوي و الاحصائي، أرشح هذه الرسالة للمناقشة.

التوقيع:

الاسم: أ.د. يعرب جعفر موسى

التاريخ: 2024 /

إقرار رئيس لجنة الدراسات العليا

بناءً على التوصيات المقدمة من قبل المشرف والمقوم اللغوي و الاحصائي ورئيس فرع الفسلجة والكيمياء الحياتية والأدوية، أرشح هذه الرسالة للمناقشة.

التوقيع:

الاسم: أ.د. رعد عبد الغني بشير السنجري

التاريخ: 2024 /

قرار لجنة المناقشة

نشهد بأننا أعضاء لجنة التقويم والمناقشة قد اطعننا على هذه الرسالة وناقشنا الطالب زهير سالم أحمد في محتوياتها وفي ماله علاقة بها / 2024 وأنه جدير بنيل شهادة الماجستير في اختصاص الأدوية والسموم البيطرية.

التوقيع

أ.د. سمر محمد منير اليماني
عضو لجنة المناقشة

التوقيع

أ.م.د. احمد صلاح ناصر
عضو لجنة المناقشة

التوقيع

أ.م.د. مأب عزمي فاضل
عضو لجنة المناقشة (المشرف)

التوقيع

أ.د. محمد خالد شناله
رئيس لجنة المناقشة

قرار مجلس الكلية

اجتمع مجلس كلية الطب البيطري بجلسته المنعقدة في 2024 / / وقرر منحه شهادة الماجستير في الأدوية والسموم البيطرية وتقدير

عميد الكلية

أ.د. ظافر محمد عزيز

مقرر مجلس الكلية

أ.د. رعد عبد الغني بشير السنجري

الحمد لله حمدًا كثيرًا طيبًا مباركًا فيه ملء السموات وملء الأرض وملء ما بينهما وملء ما شئت من شيء بعد الحمد لله كما ينبغي لجلال وجهه وعظم سلطانه عدد خلقه ورضا نفسه وزنة عرشه ومداد كلماته والصلوة والسلام على أفضل الخلق نبينا محمد وعلى اله وصحبه وسلم تسليمًا كثيرًا.

أود أن أعبر عن شكري وامتناني وتقديرني لمشيرتي في هذه الدراسة أ.م.د. مأب عزمي فاضل على توجيهها ودعمها وإشرافها المتميز على هذا البحث وعلى الإرشادات التي قدمتها لي جزاها الله خيراً وبارك في جهودها.

ويسرني أن أشكر عمادة كلية الطب البيطري والسيد رئيس فرع الفسلجة والكيمياء الحياتية والأدوية المحترمين لكل ما قدموه من تسهيلات أثناء دراستي.

وأتقدم بالشكر لجميع أساندتي في الفرع لجهودهم المشكورة في مساعدتي في إنهاء بحثي.

وإلى أبي وأمي، اللذان عملا على راحتني وسعادتي، وهم أجمل ما في الوجود ووجودهم جنة بالنسبة لي، وأمي التي لو لا دعائهما لما وصلت إلى ما عليه الان، وأبلغهم كل حبي وتقديرني واحترامي لهم، وأنني أود أن أبلغهم أنني افتخر بهم كثيراً وأنهم كانوا سبب نجاحي بعد الله عز وجل.

وإلى رفيقة روحي زوجتي الغالية أهدي بحثي هذا، فهي الوحيدة التي احتملت انشغالني وإرهاقي وقلقي طوال مدة دراستي، المرأة التي وقفت إلى جانبي أهدي ثمرة هذا الجهد بحثي المتواضع إلى نصبي الأجمل من الدنيا التي اشعلت قناديلًا تنير دروبى باللود فقد كنت المرأة التي دفعتنى دوماً نحو طرائق النجاح والتميز.

وأخيراً أهدي هذا البحث إلى ابنتي وقرة عيني وأرجو من الله تعالى أن تبلغ أشدتها لتجد والدها جديراً بالفخر.

الخلاصة

كان الهدف من إجراء هذه الدراسة هو إعطاء 4-أمينوباييردين لغرض استحداث الاختلاجات العصبية وملاحظة تداخل 4-أمينوباييردين مع ضادات الالتهاب وضادات الاختلاجات العصبية في نموذج أفراخ الدجاج وذلك لإمكانية استعمال هذه الأدوية لوحدها أو مع بعض لمنع حصول الاختلاجات العصبية، فضلاً عن ملاحظة السلوك العصبي والفحوصات الكيميوحيوية الحاصلة من تداخل هذه الأدوية.

وكانت الجرعة المميتة الوسطية (الجم-50) للـ 4-أمينوباييردين لوحده في الخلب هي 62.6 ملغم/كغم من وزن الجسم.

وكانت الجرعة الفاعلة الوسطية (الجف-50) للـ 4-أمينوباييردين لوحده في الخلب هي 32.63 ملغم/كغم من وزن الجسم ، وقلل الدايكلوفيناك بجرعة 15 ملغم/كغم في العضل قبل حقن 4-أمينوباييردين بجرعة 50 ملغم/كغم في الخلب من علامات التسمم بالـ 4-أمينوباييردين، وبين ذلك بزيادة المعنوية في وقت ظهور الاختلاجات العصبية مقارنة مع مجموعة السيطرة. وكانت الجرعة الفاعلة الوسطية للفينوباربيتال 9.5 ملغم/كغم ، والجرعة الفاعلة الوسطية للدايكلوفيناك 7.5 ملغم/كغم في منع الاختلاجات العصبية الناتجة من حقن 4-أمينوباييردين.

وكانت الجرعة الفاعلة الوسطية للدايكلوفيناك والفينوباربيتال عند إعطائهما معاً بنسبة 0.5:0.5 3.03 و 4.02 ملغم/كغم من وزن الجسم على التوالي، وينتشر التداخل الدوائي بين الدايكلوفيناك والفينوباربيتال عند إعطائهما معاً بنسبة 0.5:0.5 تدالياً تآزرياً.

وقلل إعطاء الدايكلوفيناك قبل حقن الـ 4-أمينوباييردين من حدوث الاختلاجات العصبية بشكل معنوي مقارنة مع مجموعة السيطرة فضلاً عن زيادة معنوية في وقت حدوث الاختلاجات في حين لم يؤثر على النسبة المئوية لحدوث الاختلاجات مقارنة مع مجموعة السيطرة، وأظهر إعطاء الفينوباربيتال قبل حقن الـ 4-أمينوباييردين إلى منع حدوث نوبات الاختلاجات العصبية وبشكل معنوي مقارنة مع مجموعة السيطرة، فضلاً عن انخفاض النسبة المئوية لحدوث الاختلاجات العصبية مقارنة مع مجموعة السيطرة والمجموعة المعاملة مع الـ 4-أمينوباييردين، وأدى حقن الـ 4-أمينوباييردين لوحده إلى ظهور علامات تسمم واحتلاجات عصبية بنسبة 100% في الأفراخ.

وبسبب حقن الـ4-امينوباييردين لوحده بعد ساعة واحدة وثلاث ساعات من الحقن انخفاض معنوي في النشاط الحركي لأفراخ الدجاج داخل صندوق الميدان المفتوح مقارنة مع مجموعة السيطرة والمجموعات الأخرى.

وأدى حقن الفورمالين بتركيز 1% وبحجم حقن 0.05 مل في باطن القدم اليمنى انخفاض معنوي في المدة التي استغرقها الفرخ لرفع القدم اليمنى في المجموعة المعاملة بالفورمالين لوحده، والمجموعة المعاملة الـ4-امينوباييردين لوحده، والمجموعة المعاملة الـ4-امينوباييردين والفينوباربิตال، والمجموعة المعاملة الـ4-امينوباييردين والدايكلوفيناك، والمجموعة المعاملة مع الـ4-امينوباييردين والدايكلوفيناك والفينوباربิตال مقارنة مع مجموعة السيطرة المعاملة بال محلول الملحي الفسلجي، وأظهرت الأفراخ في مجموعة الـ4-امينوباييردين والدايكلوفيناك ومجموعة الـ4-امينوباييردين والفينوباربิตال زيادة معنوية في المدة التي استغرقها الفرخ لرفع القدم اليمنى مقارنة مع المجموعة المعاملة بالفورمالين لوحده والمجموعة المعاملة مع 4-امينوباييردين لوحده، وبينت المجموعة المعاملة مع 4-امينوباييردين لوحده انخفاض معنوي في تركيز الكلوتاثيون في بلازما الدم بنسبة 30% مقارنة مع مجموعة السيطرة المعاملة بال محلول الملحي الفسلجي. وأظهرت الأفراخ المعاملة 4-امينوباييردين لوحده ومجموعة 4-امينوباييردين والفينوباربิตال ومجموعة 4-امينوباييردين والدايكلوفيناك والمجموعة المعاملة 4-امينوباييردين والفينوباربิตال والدايكلوفيناك زيادة معنوية في تركيز المالوندайлديهيد في بلازما الدم بنسبة 34% و 23% و 28% و 24% على التوالي مقارنة مع مجموعة السيطرة المعاملة مع محلول الملحي الفسلجي، وأوضحت المجموعة المعاملة 4-امينوباييردين لوحده ومجموعة 4-امينوباييردين والفينوباربิตال ومجموعة 4-امينوباييردين والدايكلوفيناك والمجموعة المعاملة 4-امينوباييردين والفينوباربิตال والدايكلوفيناك زيادة معنوية في تركيز المالوندайлديهيد في الدماغ بنسبة 82% و 25% و 28% و 26% على التوالي مع مجموعة السيطرة المعاملة مع محلول الملحي الفسلجي.

وأظهرت الأفراخ المعاملة مع 4-امينوباييردين لوحده والمجموعة المعاملة مع 4-امينوباييردين والدايكلوفيناك تثبيط في مستوى نشاط خميرة الكولين استريز في بلازما الدم بنسبة 28% و 19% بالتالي مقارنة مع مجموعة السيطرة، وبينت المجموعة المعاملة مع 4-امينوباييردين والفينوباربิตال زيادة معنوية في مستوى نشاط خميرة الكولين استريز مقارنة مع المجموعة المعاملة مع 4-امينوباييردين لوحده، وبينت مجموعة الأفراخ المعاملة مع 4-

امينوباليريدين لوحده تثبيط في مستوى البالا للكولين استريلز في الدماغ بنسبة 39% مقارنة مع مجموعة السيطرة المعاملة مع المحلول الملحي الفسلجي.

نستنتج من دراستنا هذه ان حقن الـ 4-امينوباييريدين بجرعة 50 ملغم/كغم من وزن الجسم في الخلب تسبب بحدوث اختلالات عصبية بنسبة 100% في الأفراخ، ومنع الفينوباربิตال بجرعة 9.5 ملغم/كغم من حدوث الاختلالات العصبية بنسبة 100% في الأفراخ المعاملة، وقلل الدايكلوفيناك بجرعة 7.5 ملغم/كغم من نسبة حدوث الاختلالات العصبية في الأفراخ، وتسبب حقن الـ 4-امينوباييريدين انخفاضاً معنوياً في تركيز الكلوتاتيون وزيادة معنوية في في مستوى المالونديالديهيد وانخفاض معنوي في مستوى إنزيم الكولين استريليز في بلازما الدم والدماغ.

ثبات المحتويات

الصفحة	الموضوع
أ - ج	الخلاصة
د - ز	ثبات المحتويات
ز - ح	ثبات الجداول
ح	ثبات الأشكال
ط	ثبات الملاحق
ط	ثبات المصطلحات
2-1	الفصل الأول : المقدمة
22-3	الفصل الثاني : استعراض المراجع
3	2-1: الاختلاجات العصبية
4	2-1-1: الأعراض
6-4	2-1-2: أسباب الاختلاجات العصبية
6	2-1-3: آلية عمل الاختلاجات العصبية
8-6	2-1-4: المواد المسبيبة للأختلاجات
8	2-1-5: آلية عمل الـ 4-امينوبيريدين
9	2-1-6: الأدوية الضادة للأختلاجات العصبية
12-9	2-1-7: آلية عمل الأدوية الضادة للأختلاجات العصبية
14-12	2-2: الأدوية الضادة للالتهابات غير الستيرويدية
18-14	2-2-1: مضادات الالتهاب الغير ستيرويدية والاختلاجات العصبية
19-18	2-2-2: الديكلوفيناك
19	2-2-3: آلية العمل للديكلوفيناك
19	2-2-4: الخصائص الدوائية للديكلوفيناك
20	2-2-5: الحركة الورائية للديكلوفيناك
20	2-2-6: طرائق إعطاء الديكلوفيناك

20	7-2: التأثيرات الجانبية للدايكلوفيناك
20	8-2: العلامات السريرية للتسمم بالدايكلوفيناك
22-21	3-3: تأثير الاختلاجات العصبية على بعض المعايير الكيموحيوية
38-23	الفصل الثالث : المواد وطرائق العمل
23	1-3: الحيوانات المختبرية
24-23	2-3: المستحضرات الدوائية والمواد الكيميائية المستعملة
25-24	3-3: الأجهزة والمعدات المستعملة
25	4-3: تحضير الأدوية للحقن
25	5-3: جمع عينات الدم
25	6-3: طريقة إستخراج وحفظ الأعضاء
26	7-3: التجارب
26	1-7-3: التجربة الأولى تحديد الجرعة المميتة الوسطية Median (الجم - 50) لـ 4-أمينوبايرودين في إحداث الاختلاجات العصبية عن طريق الحقن في الخلب في أفراس الدجاج
26	2-7-3: التجربة الثانية: تحديد الجرعة الفاعلة الوسطية Median (الجف - 50) لـ 4 -أمينوبايرودين في إحداث الاختلاجات العصبية عن طريق الحقن في الخلب في أفراس الدجاج
27-26	3-7-3: التجربة الثالثة: تحديد الجرعة الفاعلة الوسطية الجف-50 للفينوباربيتال phenobarbital عن طريق الحقن في العضل
27	4-7-3: التجربة الرابعة: تحديد الجرعة الفاعلة الوسطية الجف-50 للدايكلوفيناك Diclofenac عن طريق الحقن في العضل
28-27	5-7-3: التجربة الخامسة: تحديد التداخل الدوائي بين الفينوباربيتال والدايكلوفيناك عند استخدامهما معاً بنسبة (0.5 : 0.5) في الاختلاجات العصبية الناتجة من حقن الـ 4-أمينوبايرودين
29	6-7-3: التجربة السادسة: تأثير الفينوباربيتال والدايكلوفيناك في منع الاختلاجات العصبية الناتجة من حقن 4-أمينوبايرودين (50 ملغم / كغم من

	وزن الجسم ، في الخلب) في أفراخ الدجاج
30-29	7-3: التجربة السابعة: تأثير جرعة مختلفة من الدايكلوفيناك في منع الاختلاجات العصبية الناتجة من حقن 4-أمينوبابيردين في أفراخ الدجاج
31-30	7-3: التجربة الثامنة: الاستجابة للألم باستعمال الفورمالين في أفراخ الدجاج المعاملة بالـ 4-أمينوبابيردين والفينوباربيتال والدايكلوفيناك
33-31	7-3: التجربة التاسعة: تأثير الفينوباربيتال والدايكلوفيناك في النشاط الحركي في أفراخ الدجاج المعاملة بالـ 4-أمينوبابيردين بعد ساعة واحدة وثلاث ساعات من المعاملة واختبار الاستجابة لعدم الحركة الشدي
38-33	7-3: التجربة العاشرة: تأثير الفينوباربيتال والدايكلوفيناك في ترکیز الكلوتاثیون والمالوندیالدیهاید والکولین استریزیز فی بلازما الدم والدماغ للأفراخ المعاملة بالـ 4-أمينوبابيردين بعد ثلاثة ساعات من المعاملة
38	8-3: التحليل الإحصائي
58-39	الفصل الرابع : النتائج
39	1-4: التجربة الأولى: تحديد الجرعة المميتة الوسطية Median Lethal dose (الجم - 50) للـ 4-أمينوبابيردين في إحداث الاختلاجات العصبية عن طريق الحقن في الخلب في أفراخ الدجاج
40	2-4: التجربة الثانية: تحديد الجرعة الفاعلة الوسطية Median Effective dose (الجف - 50) للـ 4-أمينوبابيردين في إحداث الاختلاجات العصبية عن طريق الحقن في الخلب في أفراخ الدجاج
41-40	3-4: التجربة الثالثة: تحديد الجرعة الفاعلة الوسطية الجف-50 للفينوباربيتال phenobarbital عن طريق الحقن في العضل
41	4-4: التجربة الرابعة: تحديد الجرعة الفاعلة الوسطية الجف-50 للدايكلوفيناك Diclofenac عن طريق الحقن في العضل
43-42	5-4: التجربة الخامسة: التجربة الخامسة: تحديد التداخل الدوائي بين الفينوباربيتال والدايكلوفيناك عند استخدامهما معاً بنسبة (0.5 : 0.5) في الاختلاجات العصبية الناتجة من حقن 4-أمينوبابيردين (50 ملغم/ كلغ من وزن الجسم في الخلب) في أفراخ الدجاج
44	6-4: التجربة السادسة: تأثير الفينوباربيتال والدايكلوفيناك في منع الاختلاجات العصبية الناتجة من حقن 4-أمينوبابيردين (50 ملغم / كغم من وزن الجسم في الخلب) في أفراخ الدجاج
45	7-4: التجربة السابعة: تأثير جرعة مختلفة من الدايكلوفيناك في منع

	الاختلاجات العصبية الناتجة من حقن 4-امينوباييردين (50 ملغم / كغم من وزن الجسم، في الخلب) في أفراخ الدجاج
49-45	8-4: التجربة الثامنة: الاستجابة للألم باستعمال الفورمالدين بتركيز 1 % في أفراخ الدجاج المعاملة بالـ 4-امينوباييردين والفينوباربيتال والدايكلوفيناك
53-50	9-4: التجربة التاسعة: تأثير الفينوباربيتال والدايكلوفيناك في النشاط الحركي في أفراخ الدجاج المعاملة بالـ 4-امينوباييردين بعد ساعة واحدة وثلاث ساعات من المعاملة واختبار الاستجابة لعدم الحركة الشدي
58-54	10-4: التجربة العاشرة: تأثير الفينوباربيتال والدايكلوفيناك في تركيز الكلوتاثيون والمالونديايد والكولين استرizer في بلازما الدم والدماغ للأفراخ المعاملة بالـ 4-امينوباييردين بعد ثلاث ساعات من المعاملة
69-59	الفصل الخامس المناقشة Discussion
71-70	الفصل السادس الاستنتاجات والتوصيات
70	1-6: الاستنتاجات
71	6-2: التوصيات
104-72	المصادر
106-105	الملاحق
A-D	Abstract

ثبت الجداول

الصفحة	الجدول	ت
24-23	الجدول (2-3): المستحضرات الدوائية والمواد الكيميائية المستعملة	1
24	الجدول (3-3): الأجهزة والمعدات المستعملة	2
39	الجدول (1): تحديد الجرعة المميتة الوسطية للـ 4-امينوباييردين في إحداث الاختلاجات العصبية	3
40	الجدول (2): تحديد الجرعة الفاعلة الوسطية للـ 4-امينوباييردين في إحداث الاختلاجات العصبية	4
41	الجدول (3): تحديد الجرعة الفاعلة الوسطية للفينوباربيتال في العضل	5
42	الجدول (4): تحديد الجرعة الفاعلة الوسطية للدايكلوفيناك	6

43	الجدول(5): تحديد التداخل الدوائي بين الفينوباربيتال والدايكلوفيناك عند استخدامهما معًا بنسبة (0.5: 0.5) في الاختلالات العصبية الناتجة من حقن 4-أمينوباييردين في أفراخ الدجاج	7
44	الجدول(6): تأثير الفينوباربيتال والدايكلوفيناك في منع الاختلالات العصبية الناتجة من حقن 4-أمينوباييردين في أفراخ الدجاج	8
47	الجدول(7): تأثير جرع مختلفة من الدايكلوفيناك في منع الاختلالات العصبية الناتجة من حقن 4-أمينوباييردين في أفراخ الدجاج	9
48	الجدول(8): الاستجابة للألم باستعمال الفورمالين بتركيز 1 % في أفراخ الدجاج المعاملة بالـ4-أمينوباييردين والفينوباربيتال والدايكلوفيناك	10
49	الجدول(9): التأثير الضاد للالتهاب للفينوباربيتال والدايكلوفيناك في الأفراخ المعاملة مع الـ4-أمينوباييردين	11
52	الجدول(10): تأثير الفينوباربيتال والدايكلوفيناك في النشاط الحركي لأفراخ الدجاج المعاملة مع 4-أمينوباييردين بعد ساعة واحدة من الحقن واختبار الاستجابة لعدم الحركة الشدي	12
53	الجدول(11): تأثير الفينوباربيتال والدايكلوفيناك في النشاط الحركي لأفراخ الدجاج المعاملة بالـ4-أمينوباييردين بعد ثلاثة ساعات من الحقن واختبار الاستجابة لعدم الحركة الشدي	13
56	الجدول(12): تأثير الفينوباربيتال والدايكلوفيناك في تركيز الكلوتاثيون في بلازما الدم والدماغ لأفراخ الدجاج المعاملة بالـ4-أمينوباييردين بعد ثلاثة ساعات من المعاملة	14
57	الجدول(13): تأثير الفينوباربيتال والدايكلوفيناك في تركيز المالونديالديهيد في بلازما الدم والدماغ لأفراخ الدجاج المعاملة بالـ4-أمينوباييردين بعد ثلاثة ساعات من المعاملة	15
58	الجدول(14): قياس مستوى الكوليستيرول في الدماغ وبلازما الدم لأفراخ الدجاج المعاملة بالـ4-أمينوباييردين	16

ثبات الاشكال

الصفحة	عنوان الشكل	ت
8	التركيب الكيميائي للـ4-أمينوباييردين	1
11	التركيب الكيميائي للفينوباربيتال	2
18	التركيب الكيميائي للدايكلوفيناك صوديوم	3
43	تحديد التداخل الدوائي بين الفينوباربيتال والدايكلوفيناك عند استخدامهما معًا بنسبة (0.5 : 0.5) في الاختلالات العصبية الناتجة من حقن 4-أمينوباييردين في أفراخ الدجاج	4

ثبات الملاحق

الصفحة	عنوان الملحقة	ت
105	حساب الجرعة المميتة الوسطية (الجم-50)	1
106	المنحنى القياسي لتركيز الكلوتاينون	2

ثبات المصطلحات

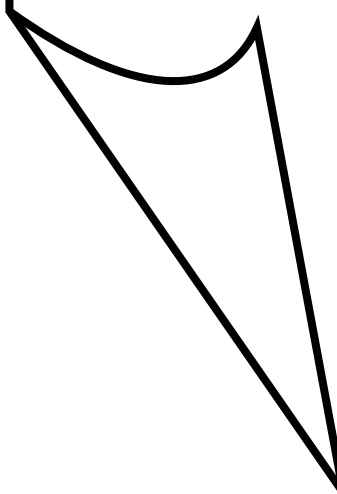
المصطلح بالإنكليزية	المصطلح بالعربية
seizures	نوبة
Epileptic seizures	نوبات الصرع
Urinary incontinence	سلس البول
angioedema	وذمة وعائية
Free radicals	الجذور الحرة
glial cells	الخلايا الدبقية
Coma	غيبوبة

ثبات المختصرات

المختصر	المصطلح
AChE	Acetylcholinesterase
AMPA	α -amino-3-hydroxy-5-methyl-4-isoxazolepropionic acid
4-AP	4- Aminopyridine
BBB	blood brain barrier
COX	Cyclooxygenase
HMGB1	High mobility group box 1 protein
GABA	Gamma Aminobutyric Acid
ROS	Reactive oxygen species
NMDA	N-methyl-D-aspartate
PTZ	Pentylenetetrazol
PGs	prostaglandins
TxA2	Thromboxane

الفصل الأول
المقدمة

Introduction



الفصل الأول

المقدمة

Introduction

النوبة Seizures هي تغير في الوظيفة العصبية ناجم عن التفريغ المفروط واضطراب الإشارات الكهربائية للخلايا العصبية في الدماغ، وتشتمل نوبة الصرع Epileptic Seizures للتمييز بين النوبة الناجمة عن إطلاق الخلايا العصبية للإشارات العصبية الغير طبيعية وبين حدث غير الصرع (Shorvon *et al.*, 2011). وهناك عدة طرائق لتحفيز وتوليد الاختلالات العصبية في الحيوانات المختبرية منها الطرائق الكهروفiziائية وكذلك تلك التي تتحفز عن طريق المواد الكيميائية (Zalkhani, 2020)، ويُستعمل الـ4-أمينوبيردين 4-Aminopyridine لتحفيز الاختلالات العصبية في الحيوانات المختبرية المختلفة (Yamaguchi and Rogawski, 1992)، يغلق 4-أمينوبيردين قنوات البوتاسيوم في الدماغ الذي بدوره يسبب اختلالات عصبية وتشنجات قوية في الحيوانات المختبرية، وكذلك يؤدي إلى تحفيز تيارات قناة الكالسيوم Ca_{2+} ذات الجهد الكهربائي Voltage Gated Calcium Channels بشكل مستقل عن التأثيرات التي حدثت على قنوات البوتاسيوم K^+ المنشطة بالجهد (Wu *et al.*, 2009). هناك العديد من الأدوية الضادة للاختلالات العصبية منها أدوية benzodiazepines, valproic acid, Lamotrigine, Carbamazepine، Gabapentin, phenobarbital، التي تعد من العلاجات الوقائية فتشتمل بشكل يومي لمنع حدوث النوبات التشنجية (Bhandari, 2022)، تُشتمل الأدوية الضادة للالتهاب الغير ستيرويدية لتخفيض الألم وتقليل الالتهاب وخفض درجة الحرارة المرتفعة في الإنسان والحيوانات (Phillips and Currier, 2004) ان آلية عمل هذه الأدوية يعتمد إلى تثبيط إنزيم سيكلوأوكسيجينز 2 cyclooxygenase (COX-2) الذي بدوره يؤدي إلى توقف إنتاج البروستانويات prostaglandins [البروستاكلاندين PGs] والثرومبوكسان Thromboxane (TxA2) المسؤولين عن الألم والالتهاب (Szczuko *et al.*, 2021). ان وصف عمل البروستاكلاندين كان له دور في اكتشاف هذه الأدوية الضادة للالتهاب من الثمانينيات وأواخر التسعينيات التي طورت بشكل تجاري بعد فحص الأنشطة الضادة للالتهابات والمسكنات وانخفاضات الحرارة في النماذج الحيوانية المختبرية (Rainsford, 2007).

أظهرت العديد من الدراسات أن للاتهاب عامل مميز في ظهور واستمرارية النوبات العصبية؛ إذ تؤدي المسببات الالتهابية إلى حدوث وتفاقم الاختلالات في الحيوانات المختبرية التي عادة ما تكون على الفئران والجرذان (Dubé *et al.*, 2007)، وبسبب قلة الدراسات والأبحاث على أفراخ الدجاج، فإن ذلك مهد لنا الطريق لعمل دراسة عن تأثير الدايكلوفيناك وهو أحد الأدوية الصادرة للاتهاب الغير ستيرويدي مع الفينوباربิตال وهو أحد الأدوية الصادرة للاختلالات مع الـ4-أمينوبايردين المحفز للاختلالات العصبية في نموذج أفراخ الدجاج؛ إذ أجريت تجارب عدة لغرض الوصول للهدف المنشود من البحث التي تضمنت ما يأتي:

- 1- تحديد الجرعة المميتة الوسطية Median Lethal dose (الجم-50) للـ4-أمينوبايردين في إحداث الاختلالات العصبية عن طريق الحقن في الخلب في أفراخ الدجاج باستعمال طريقة الصعود والنزول up and down method.
- 2- تحديد الجرعة الفاعلة الوسطية Median Effective dose (الجف - 50) للـ4-أمينوبايردين في إحداث الاختلالات العصبية عن طريق الحقن في الخلب في أفراخ الدجاج باستعمال طريقة الصعود والنزول.
- 3- تحديد الجرعة الفاعلة الوسطية الجف-50 للفينوباربิตال Phenobarbital لمنع حدوث الاختلالات العصبية عن طريق الحقن في العضل.
- 4- تحديد الجرعة الفاعلة الوسطية الجف-50 للدايكلوفيناك Diclofenac لمنع حدوث الاختلالات العصبية عن طريق الحقن في العضل.
- 5- تحديد التداخل الدوائي بين الفينوباربิตال والدايكلوفيناك عند استخدامهما معًا بنسبة 0.5 : 0.5 في الاختلالات العصبية الناتجة من حقن الـ4-أمينوبايردين (50 ملغ/كغم من وزن الجسم في الخلب) في أفراخ الدجاج واستخدام تحليل الآيزوبولوكرافيك Isobolographic.
- 6- تأثير الفينوباربิตال والدايكلوفيناك في منع الاختلالات العصبية الناتجة من حقن 4-أمينوبايردين (50 ملغ / كغم من وزن الجسم، في الخلب) في أفراخ الدجاج.
- 7- تأثير جرعة مختلفة من الدايكلوفيناك في منع الاختلالات العصبية الناتجة من حقن 4-أمينوبايردين (50 ملغ / كغم من وزن الجسم، في الخلب) في أفراخ الدجاج.
- 8- الاستجابة للألم باستعمال الفورمالين بتركيز 1 % في أفراخ الدجاج المعاملة بالـ4-أمينوبايردين والفينوباربิตال والدايكلوفيناك.
- 9- تأثير الفينوباربิตال والدايكلوفيناك في النشاط الحركي في أفراخ الدجاج المعاملة بالـ4-أمينوبايردين بعد ساعة واحدة وثلاث ساعات من المعاملة واختبار الاستجابة لعدم الحركة الشدي.
- 10- تأثير الفينوباربิตال والدايكلوفيناك في تركيز الكلوتاثيون والمالونديايد والكولين استريلز في بلازما الدم والماغ للأفراخ المعاملة بالـ4-أمينوبايردين بعد ثلاث ساعات من المعاملة.

الفصل الثاني
استعراض المراجع
Review of Literatures

الفصل الثاني

استعراض المراجع

Review of Literatures

2-1: الاختلاجات العصبية:

الصرع Epilepsy هو اضطراب عصبي بسبب اضطراب في الاشارات الكهربائية بشكل غير طبيعي، ونوبات الصرع Epileptic seizures هي حركات مت迕جة أو مرتجفة غير طبيعية في الجسم تحدث بسبب نشاط عصبي غير طبيعي ويمكن أن تؤدي إلى تلف الدماغ أو أجزاء أخرى من الجسم (Stafstrom and Carmant, 2015)، و لعقود من الزمن كان هناك جدل فيما إذا كانت النوبات تؤثر على حياة الخلايا العصبية و بالاخص تلك التي تكون قصيرة و غير متكررة و المحدثة بشكل تجريبي و لكن تبين فيما بعد انه من الممكن أن تؤدي النوبات الشديدة و المتكررة إلى تلف و موت الخلايا العصبية (Dingledine *et al.*, 2014).

و يمكن أن تعرف حالة الصرع بأنّها مجموعة من الاضطرابات العصبية التي تنتج عن اضطراب الإشارات الكهربائية في خلايا المخ و تتميز بحدوث نوبات متكررة، و حدوث الأعراض بسبب نشاط عصبي ينتج عنه نوبات الصرع واضطرابات سلوكية و عصبية لدى المرضى. (Huff and Murr, 2023) يمكن أن تحدث النوبات في مناطق مختلفة من الدماغ و تعتمد درجة فعالية الاختلاجات العصبية وأنواع النوبات على التأثير على مناطق معينة في الدماغ التي يحدث فيها نشاط عصبي غير طبيعي (Giourou *et al.*, 2015)، ويمكن أن تترواح شدة النوبات من قلة في الانتباه أو نفسيات عضلية لمدة قصيرة إلى تشنجات شديدة تمتد مدة طويلة؛ لأنّ نوبات الصرع Epileptic seizures عادة ما تشمل الاختلاجات العصبية Convulsions ، فإنّ مصطلح الاختلاج العصبي غالباً ما يُستعمل كمرادف للنوبة Seizures (Brigo *et al.*, 2015).

هناك فئتان أو مجموعتان رئستان من النوبات: النوبات البؤرية Focal Seizures والنوبات العامة Generalized Seizures ، تبدأ النوبات البؤرية في منطقة واحدة ويمكن أن تنتشر عبر الدماغ وتسبب أعراضًا خفيفة أو شديدة، اعتماداً على كيفية انتشار الشحنات الكهربائية .(Berkovic and Scheffer, 1997)

1-2-1: الأعراض:

تختلف أعراض الاختلاجات العصبية حسب نوع النوبة، ولأن نوبات الاختلاجات ناتجة عن نشاط معين بالدماغ، فمن الممكن أن تؤثر هذه النوبات على أي عملية تحدث داخل الدماغ. تؤثر النوبات العامة على الحركة العضلية، حيث يكون هناك حركات تشنجية في العضلات تليها تصلبات و من ثم حركات ارتجاجية في العضلات، قد يكون هناك صراخ في بداية النوبة تسمى بالهالة *Aura* ما قبل النوبة.

يعتبر سلس البول *Urinary incontinence* من الأعراض المسجلة كذلك خلال النوبات العصبية، قد يكون هناك سلوك مؤقت غير طبيعي في الوعي بعد النوبة.

تكون أعراض النوبات البؤرية على أماكن معينة من الدماغ و تمثل الأعراض بحركات تشنجية في الأطراف، او فقدان القدرة على الرؤية و السمع، بعد النوبات البؤرية قد يعاني المرضى من شلل مؤقت ووظيفي وموضعي للعضلات المصابة، والمعروف باسم شلل تود (*Ighodaro et al., 2023*) *Todd paralysis*.

1-2-2: أسباب الاختلاجات العصبية:

يمكن أن تحدث الاختلاجات العصبية بسبب مواد كيميائية معينة في الدم، أو من الالتهابات مثل التهاب السحايا أو التهاب الدماغ (*Abou-Khalil et al., 2022*). السبب الشائع عند الأطفال هو النوبات الحموية، صدمات الرأس أو السكتة الدماغية أو نقص الأوكسجين في الدماغ (*Habtamu et al., 2023; Chungath and Shorvon, 2008*). في بعض الأحيان يمكن أن يكون سبب الاختلاجات هي عيوب وراثية أو أورام في المخ، يمكن أن تحدث الاختلاجات العصبية أيضاً عندما يكون مستوى السكر في الدم منخفضاً جداً ونقص فيتامين ب 6 (البيريدوكسين)، تُعد المalaria في نيجيريا سبباً ممِيزاً جداً لحدث الصرع أو الاختلاجات العصبية (*Thierry et al., 2020; Richard et al., 2005; Carter et al., 2005*)، وقد تنشأ الاختلاجات العصبية أيضاً من أسباب عديدة منها قد يكون من الصدمات الدماغية والورم الدماغي والعدوى الدماغية والاضطرابات الوعائية الدماغية والاضطرابات المناعية الدماغية وأسباب التي تحدث في اثناء مُدَّة الطفولة مثل نقص الأوكسجين أو صدمات في الرأس أو الحمى (*Valton et al., 2020*). وبعض أسباب الاختلاجات العصبية المرافقة للصرع تكون ناجمة عن جراحة الدماغ، والتهاب السحايا

الفيروسي Viral Meningitis والورم السحائي Meningioma والورم الوعائي الكهفي في الدماغ Cerebral infarction واحتشاء الدماغ Cavernous hemangioma in the brain .(Fisher *et al.*, 2017)

تؤدي العديد من النوافل العصبية دوراً مميزاً في آلية الاختلاجات العصبية المرافقة للصرع، ومن أهم النوافل العصبية هي السيروتونين Serotonin ، الدوبامين Dopamine ، حمض كاما أمينوبوتيريك Gamma aminobutyric acid (GABA)، الكلوتاميت Glutamate .(Raluca *et al.*, 2022; Satarker *et al.*, 2022; Noradrenaline

في الاختلاجات العصبية، ترجع فرط استثارة الخلايا العصبية إلى الاختلاف في تثبيط GABA وكذلك في التحفيز بوساطة الكلوتاميت (Kim *et al.*, 2021). ويمكن للكلوتاميت إزالة استقطاب الخلايا العصبية، مما يولد استثارة ما بعد التشابك العصبي، أثناء بدء وتفاقم الاختلاجات العصبية المرافقة للصرع تحدث آليات جزيئية محددة للكلوتاميت وتشمل زيادة في تركيز الكلوتاميت خارج الخلية وزيادة تنظيم مستقبلات الكلوتاميت ووجود بعض التشوهات في ناقلات الكلوتاميت، تسبب هذه الآليات فرط الاستثارة بسبب نشاط الكلوتاميت (Satarker *et al.*, 2022; Murley And Rowe, 2018).

حامض الكابا (GABA) Gamma Aminobutyric Acid وهو من أهم النوافل العصبية في الجهاز العصبي، ويعرف بكونه ناقل عصبي مثبط؛ إذ يقوم بتنبيط عمل الأعصاب والخلايا العصبية التي تمت تحفيزها، وهو أساسى للموازنة بين تحفيز الخلايا العصبية وتنبيتها، يستعمل الدماغ الناقل العصبي كابا (GABA) بوصفه الناقل العصبي المثبط الأساسى للتحكم في تحفيز الخلايا العصبية وكبح النشاط المستمر للخلايا العصبية (Allen *et al.*, 2023). ويتحكم الكابا في توليد الموجات الكهربائية في سطح الخلايا العصبية وتوليد النشاط العصبي في الدماغ، وتنطلب هذه التأثيرات تحكمًا دقيقًا في تشغيل مستقبلات GABA (تعرف أيضًا باسم مستقبلات مضادة للأيونات) GABAB metabotropic و GABA_A ionotropic (هي مستقبلات مقرنة بالبروتين G)، وتشترك هذه المستقبلات في عملية تكوين الاختلاجات العصبية (Benarroch, 2021; Hui *et al.*, 2013).

تُسمى الاختلاجات العصبية الناتجة عن الحمى اسم النوبات الحموية، وتحدث النوبات الحموية عادة عند الرضع والأطفال الذين لديهم ارتفاع مفاجئ في درجة حرارة الجسم. (Pavone *et al.*, 2013)

2022, *al.*, يمكن أن يكون التغير في درجة الحرارة سريعاً جداً لدرجة أن المريض لا يشعر بالحمى حتى يحدث الاختلاج العصبي (Graves *et al.*, 2012).

3-1-2: آلية عمل الاختلاجات العصبية

يمكن أن تحدث الاختلاجات العصبية بسبب عدم التوازن بين الإشارات المهيجة والمثبطة في الدماغ، وفي الحالة الطبيعية تكون الإشارات المهيجة والمثبطة متوازنة، مع الحفاظ على النشاط الكهربائي تحت مستوى العتبة (Lasoń *et al.*, 2013).

الكلوتاميت هوناقل عصبي، وهو أحد الإشارات الكيميائية المهيجة في الدماغ، ويعمل عن طريق الارتباط بمستقبلات N-methyl-D-aspartate (NMDA) و α -amino-3-hydroxy-5-methyl-4-isoxazolepropionic acid (AMPA) و يسمح بدخول أيونات الصوديوم وأيونات الكالسيوم إلى الخلايا العصبية مما يؤدي إلى تغير في النشاط الكهربائي و يؤدي إلى حدوث الاختلاجات العصبية (Dhinakaran and Devendra, 2019; Lerma, 2013; Contractor *et al.*, 2000 and Marques, 2000).

4-1-2: المواد المسيبة للأختلاجات

هناك طرائق مختلفة لتحفيز الاختلاجات في الحيوانات المختبرية مثل الأفراخ والفئران والجرذان، ويمكن أن تنتج الاختلاجات بالطرق الكهروفيزيائية (Zalkhani, 2020).

توجد العديد من المواد المسيبة للأختلاجات العصبية:

1. بيكروتونكسين : Picrotoxin

البيكرتونكسين (PTX) هو ضاد لمستقبلات GABA، و يتسبب في إحداث الاختلاجات العصبية، إذ إنه يمنع تدفق الأيونات عبر قناة الكلوريد التي ينشطها الكابا GABA في مستقبلات GABA (Macdonald and Haas, 2000).

2. الصدمة الكهربائية القوية:

اختبار الصدمات الكهربائية الذي أنشأه تومان وأخرون الذي يمثل اختبار مثالي لتقدير تأثير الأدوية الضادة للأختلاجات العصبية التي تغلق قنوات الصوديوم، ويحدد المركبات التي تمنع انتشار النوبات و بالتالي الكشف عن المركبات التي تساعد في علاج نوبات الصرع (Heuzeroth *et al.*, 2019; Toman *et al.*, 1964).

3. بنتلينيترازول : Pentylenetetrazol (PTZ)

يُستعمل البنتلينيترازول (PTZ) كمحفز للدورة الدموية والجهاز التنفسى بجرعات قليلة ، بينما الجرع العالية تؤدي إلى حدوث الاختلاج وقد أُسْتُعملت في دراسة الأدوية المضادة

للصرع، لا يُستعمل الدواء في هذا الوقت بسبب صعوبة التحكم في آثاره الجانبية، اعطاء PTZ بجرعة واحدة أو بجرعات متعددة يؤدي إلى حدوث اختلالات عصبية (Miller *et al.*, 1987).

يُستعمل البنتيلينتيرازول لدراسة الظواهر التشنجية وتقدير تأثيرات الأدوية المضادة للاختلالات التي تتطوّي على منع الاختلالات ويسبب PTZ الاختلالات في الخلايا العصبية عن طريق تثبيط عمل GABA وذلك عن طريق تثبيط قناة أيون الكلور (Velíšek, 2006).

4. بيلوكاربين : Pilocarpine

بيلوكاربين هو منشط لمستقبلات الأسيتيل كولين المسكارينية. إن الحقن الجهازي للبيلوكاربين عن طريق فرط تنشيط هذه المستقبلات يؤدي إلى حدوث نوبات seizure (Scorza *et al.*, 2009).

5. حمض كينيك : Kainic Acid

حمض الكينيك هو مشابه للكلوتاميت (Levesque And Avoli, 2013).

6. المضادات الحيوية : Antibiotics

تستطيع المضادات الحيوية إحداث الاختلالات العصبية في العديد من الأنواع بما في ذلك القرود والبشر والجرذان والقطط، مثل: السلفانومايد والبنسلين (Wanleenuwat *et al.*, 2020; Velíšek, 2006) البنسلين هو مضاد حيوي قد يُستعمل لدراسة الصرع في حيوانات التجارب (Sivarajan and Ramachandran, 2023; Velíšek, 2006). من الممكن للبنسلين أن يسبب اختلالات عصبية بتثبيط عمل الكابا GABA (Bauquier *et al.*, 2016).

7. المعادن : Metals

تمتلك المعادن كالنيكل والكوبالت والحديد بفاعليتها على إحداث الصرع ودراسة تأثيرات الأدوية المضادة للاختلالات العصبية والفعالة ضد نوبات الصرع في الحيوانات (Sande *et al.*, 2023).

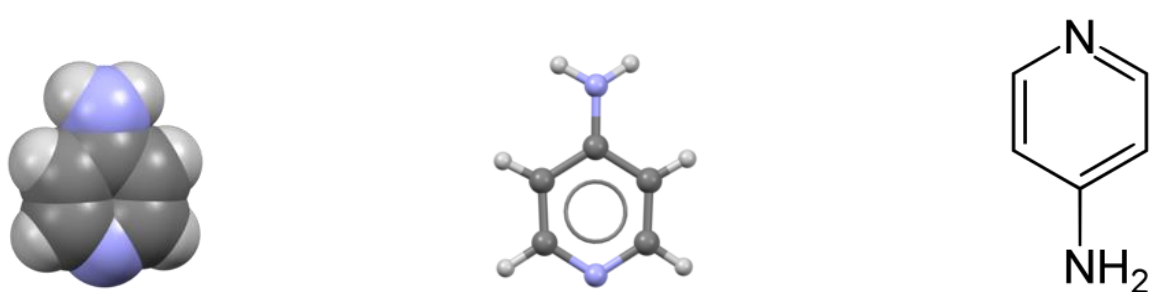
8. مركبات الفوسفور العضوية :

تعد مركبات الفوسفور العضوية مثل التابون والسيكلوسارين والسارين شديدة السمية وخطيرة على الإنسان ولها القدرة على إحداث نوبات الصرع (Pereira *et al.*, 2014). فهي قوية في تثبيط عمل إنزيم الأسيتيل كولين أستيريز acetylcholine esterase التي يمكنها تنشيط جميع الأنواع الفرعية لمستقبلات الأسيتيل كولين (Lorke and Petroianu, 2019).

9. الستركتين : Strychnine

يُعمل الستركتين كمضاد تنافسي انتقائي لمنع التأثيرات المُثبطة للكلايسين على مستقبلات الكلايسين، فضلاً عن زيادة مستويات حمض الكلوتاميت في المخ، وهو حمض أميني يُعمل كناقل عصبي للنبضات العصبية المهيجة التي تشير تقلص العضلات، ونتيجة لهذه التأثيرات فإن العضلات الهيكلية تصبح شديدة التهيج أو التقلص (Ramesh and Dejan, 2014).

10. 4-أمينوبيريدين (4-AP)



الشكل (1): التركيب الكيميائي لـ 4-أمينوبيريدين

(Yi *et al.*, 2013)

4-أمينوبيريدين (4-AP) هو مركب عضوي له الصيغة الكيميائية $C_{11}H_{13}N_3O$ (Yi *et al.*, 2013)، وهذه الجزيئة أحد الأمينات الأيزوميرية الثلاثة للبيريدين، وأنّ الرقم الهيدروجيني pK_a في الحالة الطبيعية يكون ($pK_a = 9.4$) وأُستعمل (4-AP) كأداة بحث في توصيف الأنواع الفرعية لقناة البوتاسيوم (Yi *et al.*, 2013).

4-أمينوبيريدين مادة كيميائية تسبب اختلالات قوية ويُستعمل لتوليد نوبات الصرع في النماذج الحيوانية لتقدير مضادات الاختلاج (Yamaguchi and Rogawski, 1992).

2-5: آلية عمل الـ 4-أمينوبيريدين :

يغلق 4-أمينوبيريدين قنوات البوتاسيوم في الخلايا العصبية في الدماغ وهذا يسبب نشاطاً صرعيّاً في التجارب المختبرية ويؤدي إلى تشنجات قوية مرافقه للصرع في حيوانات التجارب في المختبر، يعد (4-AP) أداة دوائية مفيدة في دراسة موصلات البوتاسيوم المختلفة في علم وظائف الأعضاء والفيزياء الحيوية، ومع ذلك، فقد تبيّن أن (4-AP) يُعمل على تحفيز تيارات

قناة Ca_2^+ ذات الجهد الكهربائي بشكل مستقل عن التأثيرات على قنوات K^+ المنشطة بالجهد (Wu *et al.*, 2009).

2-1-6: الأدوية الضادة للاختلاجات العصبية:

ضادات الاختلاج Antiepileptic drugs من الأدوية التي أُسْتَعْمِلَتْ في علاج مرض الصرع تعرف الأدوية المضادة للاختلاجات بأنّها العلاجات الدوائية المستخدمة في أغلب الحالات للسيطرة على النوبات التشنجية، إلّا أنها قد تُسْتَعْمِلُ في بعض الحالات للمشاكل العصبية الأخرى مثل الصداع النصفي، أو الألم العصبي وغيرها من الحالات، ويُعْمَلُ كل منها بآلية عمل مختلفة بالتأثير في الجهاز العصبي المركزي (Johannessen *et al.*, 2009; Johannessen, 2008). ترتكز جميعها على التقليل من النشاط الكهربائي في الدماغ الذي يتسبّب بالنوبات وأنّ هذه الأدوية تُعَدُّ من العلاجات الوقائية فتُسْتَعْمِلُ بشكل يومي لمنع حدوث النوبات التشنجية (Bhandari, 2022). ومن الأمثلة على هذه الأدوية البنزودايزبين ، الفينوباربيتال ، الفالبوريك أسيد ، اللاموتريجين ، كاربامازيبين ، الفينيتون ، الكابابنتين ، الاوكسكاربزيبين (Kim *et al.*, 2020). العلاجات بضادات الاختلاج ليست بالضرورة فعالة تماماً لأنواع الاختلاجات المختلفة (López-Hernández *et al.*, 2005).

2-1-7: آلية عمل الأدوية الضادة للاختلاجات العصبية:

1. أدوية تعمل على تثبيط قنوات الصوديوم:

هناك أدوية ضادة للاختلاجات العصبية تكون آلية عملها بتنبيط قنوات الصوديوم ذات الجهد الكهربائي Voltage-gated sodium channels إذ إنّها تعيق دخول أيونات الصوديوم إلى الخلايا العصبية، مما يؤدي إلى انخفاض استثارة الخلايا العصبية، وهذا يمنع توليد ونشر النبضات الكهربائية غير الطبيعية والمسؤولة عن إثارة النوبات، مثل الفالبوريك أسيد valproic acid (Ghodke *et al.*, 2013). ومنها ما يرتبط بشكل انتقائي ويُثبّط قنوات الصوديوم ذات الجهد الكهربائي، مما يؤدي إلى استقرار الأغشية العصبية قبل الاشتباك presynaptic وتنبيط تحرير الكلوتاميت glutamate والأسبارتات aspartate قبل الاشتباك (Verrotti *et al.*, 2018).

ومن الأدوية المعروفة أيضاً على نطاق واسع دواء كاربامازيبين Carbamazepine المعروف أيضاً باسم تيجريتول، وهو دواء ضد للاختلاج ومسكن يُسْتَعْمِلُ للسيطرة على

النوبات (Tolou-Ghamari *et al.*, 2013). تكون آلية عمل الكاربامازيبين عن طريق تثبيط قنوات الصوديوم، وبذلك يعالج نشاط النوبات (Maan *et al.*, 2023). ومن الأدوية التي تعمل كذلك على تثبيط قنوات الصوديوم دواء الفينيتوبين (Phenytoin) و غالباً ما يوصف بسبب عمله على تثبيط كافة قنوات الصوديوم, (Keppel, 2017; Dagenais *et al.*, 2017; Abdelsayed and Sokolov, 2013) ويعلم أيضاً دواء الأوكسكاربازيبين Oxacarbazepine على تثبيط قنوات الصوديوم، يعتقد أيضاً أن زيادة تنشيط قنوات البوتاسيوم وتثبيط قنوات الكالسيوم المنشطة بالجهد تؤدي دوراً في النشاط المضاد للنوبات للأوكسكاربازيبين (Czapinski *et al.*, 2005).

2. أدوية تعمل على تثبيط قنوات الكالسيوم:

تعمل بعض الأدوية الصادرة للاختلاجات العصبية على تثبيط قنوات الكالسيوم مثل دواء الكابابنتين Gabapentin؛ إذ يعمل الكابابنتين في الدماغ على تثبيط عمل المستقبلات ألفا-2 (α-2) دلتا-1 (δ)، ويكون لديه ألفة عالية للعمل على هذه المستقبلات المقابلة لقنوات الكالسيوم ذات الجهد الكهربائي، مما يقلل من ترکيز الكالسيوم قبل التشابك بين الخلايا العصبية و التنشيط اللاحق للناقلات العصبية المهيجة، ومن المحتمل أن يكون هذا التثبيط مسؤولاً أيضاً عن عمل الكابابنتين المحفز لمستقبلات الكابا المضاد للصرع (Chincholkar, 2020; Kukkar *et al.*, 2013).

3. دواء الفينوباربิตال phenobarbital

الفينوباربิตال هو أحد الأدوية المهدئة والمنومة التي تنتمي إلى فئة أدوية الباربيجوريت barbiturates، والصيغة الكيميائية هي $C_{12}H_{12}N_2O_3$ (NTP, 1992)، الفينوباربิตال له مجموعة واسعة من الاستخدامات السريرية وتشمل بصورة رئيسية في علاج نوبات الصرع والاختلاجات العصبية. (Suddock *et al.*, 2024; Falco-Walter and Bleck, 2016).



الشكل (2): التركيب الكيميائي للفينوباربيتال

(Platteau *et al.*, 2005)

أُسْتُعْمَلُ الفِينُوبَارَبِيتَال كدواء مضاد للاختلالات العصبية لأول مرة في عام 1912، وذلك من قبل ألفريد هاوبتمن Alfred Hauptmann واكتشفه بالصدفة عندما استخدمه في البداية على مرضى الصرع الذين تأثيرهم نوبات الصرع في الليل كدواء مهدئ خلال النوم ولكنه لاحظ أن نوبات الصرع قد ثبتت أيضًا وبدأ بإجراء التجارب وتسجيل الملاحظات في علاج مرضى الصرع وكانت تلك طفرة في علاج الصرع في ذلك الوقت، ولا زال يُستعمل حتى الان (Rho and White, 2018; Hauptmann, 1912)

يزيد الفينوباربيتال من مدة بقاء قنوات الكلور مفتوحة، مما يؤدي إلى تثبيط الجهاز العصبي المركزي. وهذا يحدث بالعمل على الوحدات الفرعية لمستقبل GABA-A. عندما يرتبط الفينوباربيتال بهذه المستقبلات، تفتح بوابات أيونات الكلوريد وتبقى مفتوحة، مما يسمح بتدفق ثابت لهذه الأيونات إلى الخلايا العصبية. (Suddock *et al.*, 2024)، وهذا يؤدي إلى فرط استقطاب غشاء الخلية، مما يزيد من عتبة جهد الفعل، هذه الزيادة في جهد الفعل هي السبب وراء فعالية هذا الدواء في علاج نوبات الصرع (Lewis *et al.*, 2024).

قد يثبط الفينوباربيتال أيضًا قنوات الكالسيوم، مما يؤدي إلى انخفاض في تنشيط الناقلات العصبية المحفزة (Roberts and Sydenham, 2012).

الحركة الدوائية للفينوباربيتال:

يحدث الامتصاص بشكل سريع بعد اخذه عن طريق الفم أو الوريد، وان الوقت اللازم لتركيز البلازما Peak Plasma Concentration يكون من 30 دقيقة إلى ساعة واحدة للشكل الذي يؤخذ عن طريق الفم، 5 دقائق للحقن الوريدي (Lewis *et al.*, 2024)، وبعد ذلك يتوزع الفينوباربيتال بسرعة في جميع الأنسجة والسوائل في الجسم، التمثيل الغذائي: يتم استقلابه في المقام الأول عن طريق الأستلة Acetylation في الكبد (نظام الإنزيم

الميكروسيمي الكبدي)، ويطرح حوالي 25 إلى 50% من الدواء غير المتبخر في البول .(Nakayama *et al.*, 2019)

الأعراض الجانبية:

المضاعفات المرتبطة باستعمال الفينوباربิตال هي التعرض للغيبوبة ، وانخفاض الجهد المبذول في عملية التنفس ، وانخفاض ضغط الدم (Suddock *et al.*, 2024)، وتشمل التأثيرات الضارة الأكثر شيوعاً عدم التناسق في المشي، واحتلال التوازن، والنعاس (Anderson and Hakimian, 2018).

وعند استخدامه على المدى الطويل، سُجلت أعراض سلبية مثل فقدان الشهية وألم في العظام أو المفاصل أو العضلات، والاكتئاب، وتلف الكبد، على الرغم من أن تلف الكبد يعد من المضاعفات النادرة (Suddock *et al.*, 2024; Anderson and Hakimian, 2018) ، الأعراض في الجهاز العصبي تتمثل بالنعاس، التشوش ، خمول في الجهاز العصبي المركزي CNS، تردد و الهلع و الكوابيس و الااضطرابات النفسية و الأرق و القلق و الهلولة و مع الدوخة والدوار (Marsh *et al.*, 2021).

وتتمثل أعراض الجهاز القلبي الوعائي بانخفاض ضغط الدم، وبطء نبضات القلب، الاغماء وفقدان الوعي بسبب عدم وصول الدم إلى الدماغ بشكل كافي، ويحدث في الجهاز الهضمي غثيان و تقيؤ و إمساك (Doshi *et al.*, 2019).

وتكون الأعراض الجلدية بشكل الحساسية المفرطة Angioedema (هي تورم في الأنسجة تحت الجلد) والطفح الجلدي وكذلك التفاعلات التي تكون في موقع الحقن، حمى وفقر الدم عند الاستخدام المزمن لمدة طويلة (Anderson and Hakimian, 2018).

يكون طرح الفينوباربิตال أعلى بكثير عندما يكون الرقم الهيدروجيني pH للبول قليلاً (Landmark and Johannessen, 2020).

2-2: الأدوية المضادة للالتهابات غير الستيرويدية

أدوية تُسْتَعْمِل على نطاق واسع لتخفيض الألم وتقليل الالتهاب وخفض درجة الحرارة المرتفعة (Phillips and Currier, 2004)، هذه التأثيرات تجعل مضادات الالتهاب غير الستيرويدية مفيدة لعلاج آلام العضلات، وحالات التهاب المفاصل، والحمى، والنقرس، والصداع النصفي (Shekelle *et al.*, 2017; Oyler *et al.*, 2015; Dawood, 2006).

تعود أصول الأدوية المضادة للالتهابات إلى اكتشاف بعض النباتات بالصدفة واستخدام مستخلصاتها لتخفيض الألم والحمى والالتهابات، وفي بادئ الامر اكتُشِفت السالسيلت

في منتصف القرن التاسع عشر التي تتكون من المواد النشطة لنبات الصفصف؛ إذ مكن ذلك من تصنيع هذه المركبات ومن هنا ظهر حمض أسيتيل سالسيليك أو الأسبرين Aspirin، وأدى التقدم الكيميائي في القرنين التاسع عشر والعشرين إلى تطوير العقاقير المضادة للالتهابات غير الستيرويدية Non-steroidal anti-inflammatory drugs (NSAIDs)، التي كان معظمها في البداية أحماض عضوية، ولكن اكتشفت مركبات غير حمضية لاحقاً (Ozleyen *et al.*, 2023).

كانت هناك مدة لاكتشاف مضادات الالتهاب غير الستيرويدية، الأولى كانت بعد الحرب العالمية الثانية حتى السبعينيات التي كانت مدة ما قبل البروستاكلاندين والثانية بعد ذلك حتى الجزء الأخير من القرن الماضي؛ إذ شكلت آثارها على إنتاج البروستاكلاندين جزءاً من عملية اكتشاف الأدوية حتى الثمانينيات وأواخر التسعينيات التي ظهرت بشكل تجاري بعد فحص الأنشطة المضادة للالتهابات والمسكنات وخاصيات الحرارة في النماذج الحيوانية المختبرية (Rouzer and Marnett, 2007; Rainsford, 2007).

وطورت بعضها بنجاح وأظهر انخفاض معدل حدوث الآثار الجانبية للجهاز الهضمي (الأعراض الجانبية الرئيسية التي تشاهد مع مضادات الالتهاب غير الستيرويدية) مقارنةً بأسلافها مثل الأسبرين Aspirin والإندوميثاسين Indomethacin والفينيلبوتازون Phenylbutazone، وفي التسعينيات ظهر على اكتشاف ممِيز بالدراسات البيولوجية الجزيئية والخلوية وهو أن هناك نظامين إنزيم سيكلوكسجينيز (COX) يتحكمان Cyclooxygenase في إنتاج البروستانويات Prostanoids البروستاكلاندين PGs والثرومبوكسين TXA2 (Rainsford, 2007)، COX-1 الذي ينتج PGs وTXA2 الذي ينظم وظائف الجهاز الهضمي والكلوي والأوعية الدموية وغيرها من الوظائف الفسيولوجية، وCOX-2 الذي ينظم إنتاج PGs المرتبطة بالالتهاب والآلم والحمى (Faki and Er, 2021).

مهد الطريق في التسعينيات لاكتشاف وتطوير أدوية للتحكم والعمل بشكل انتقائي على COX-2 وتجنب العمل على COX-1، الذي يُعد أساسياً للعمليات الفسيولوجية التي كان تثبيتها عالماً رئيسياً في تطور التفاعلات الضارة، بما في ذلك تلك الموجودة في الجهاز الهضمي (Ozleyen *et al.*, 2023; Bacchi *et al.*, 2012).

اكتُشفت أدوية جديدة مضادة للالتهابات وطورت بناءً على تأثيرها على نقل الإشارة وكموامض مضادة للسيتوكينات، ويتم الآن الترويج لهذه الأدوية بوصفها علاجات جديدة للسيطرة على تلك الأمراض التي تحتوي على السيتوكينات من الأمراض الالتهابية المزمنة والتنكس العصبي الواضح (Barakat *et al.*, 2023).

COX-1 هو إنزيم نشط بشكل أساسي ويتم التعبير عنه تقربياً في كل مكان في جسم الإنسان والحيوان ، يعتقد أن مستوى ونشاط COX-1 مستقر إلى حد ما ويشارك في الحفاظ على النشاط الطبيعي للصفائح الدموية، وتدفق الدم إلى أنسجة الكلى، وحماية الغشاء المخاطي في المعدة من الحموضة الضارة، من بين عمليات أخرى (Pannunzio and Coluccia, 2018; Dubois *et al.*, 1998). COX-2 إنزيم محفز يتم التعبير عنه بشكل مفرط أثناء تلف الأنسجة أو وجود وسط التهابي ولديه أيضاً خصائص مسببة للألم، وهذه تشمل الترومبوكسين (prostaglandins)، واللوكتريين (Leukotrienes)، والبروستاكلاندين (Thromboxane) (Takeuchi And Amagase, 2018). إن ما بدأ كأدوية للسيطرة على الالتهاب والألم والحمى في القرنين الماضيين قد توسع الآن ليكشف عن مجموعة هائلة ونوع من العوامل المضادة للالتهابات واكتشاف أهداف علاجية جديدة لعلاج مجموعة كاملة من الحالات التي لم تكن متوقعة حتى الآن (Ozleyen *et al.*, 2023). تنقسم مضادات الالتهاب غير الستيرويدية عادةً إلى مجموعات بناءً على تركيبها الكيميائي وانتقائتها منها حمض الأسيتيك سالسالات (Salsalate)، حمض البروبيونيك (Ibuprofen)، (ديفلونيسال Acetylsalicylic Acid)، (الأسبرين Acetaminophen)، حامض الأسيتيك (Indomethacin)، حامض الأسيتيك (Diclofenac)، حامض الإينوليك (Linoleic acid)، بيروكسيكام (Meloxicam)، حامض الأنثريانيليك (Piroxicam)، حامض الأنثريانيليك (Anthranilic acid)، حامض ميك洛فينامات (Meclofenamate)، حامض الميفيناميك (Celecoxib)، حامض الميفيناميك (Mefenamic acid)، ومثبطات COX-2 (Etoricoxib)، (Bonnesen and Schmidt, 2021; Blanca-Lopez *et al.*, 2019).

2-2-1: مضادات الالتهاب الغير ستيرويدية والاختلاجات العصبية:

أظهرت العديد من الدراسات أن الالتهاب عامل مميز في ظهور واستمرارية الصرع، إذ تؤدي المسببات الالتهابية، مثل الحمى، إلى حدوث وتفاقم الاختلاجات العصبية لدى مرضى الصرع (Dubé, 2007)، قد تؤثر مضادات الالتهاب غير الستيرويدية على فرط تحفيز الخلايا العصبية في نوبات الصرع عن طريق تنظيم البروستاكلاندين (PGs) كجزء من مسار الإشارات الإنزيمية COX، وأن جميع المكونات الالتهابية المذكورة آنفًا جنباً إلى جنب مع السيتوكينات المهيجة للالتهابات، تؤدي دور مهم في اثناء حدوث الصرع (Beatrice *et al.*, 2017).

يُعد البروستاكلاندين والثرومبوكسين وسيطين مهمين للحمى والآلم والالتهاب، وأن لالتهاب دور رئيس في الفسلجة المرضية لمختلف الأمراض؛ إذ تؤثر مضادات الالتهاب غير الستيرويدية على تخلق وعمل الوسيط الالتهابي بما في ذلك البروستاكلاندين، والببتيدات المشتقة من سلسلة التخثر ، والإنترلوكين 2-IL و 6-IL، وكذلك يؤدي تخلق البروستانويديات Prostanoids Samad *et al.*, (2002; Abdulkhaleq *et al.*, 2018) إلى حدوث آلم التهابي (.

يوجد حامض الأراكيدونيك بشكل أساسى على شكل فوسفاتيدال كولين وفوسفاتيدال ايثانول أمين phosphatidylcholine and phosphatidylethanolamine في الأغشية، ويتم إطلاقه من غشاء الخلية بواسطة فسفوليبيز (PLA2) phospholipase A2 (PLA2)، وهي الخطوة العامة التي تحد من معدل الإيكوسانويديات Eicosanoids، ويوجد هناك نوعان من الأشكال للفسفوليبيز A2 مصنفة على أنها إفرازية وسيتو بلازمية، يسمح هذا الوجود المتعدد الأشكال باستجابات بيولوجية مختلفة للأنسجة المختلفة؛ إذ أنه يمكن تحفيز أشكال الفسفوليبيز A2 بواسطة عامل نخر الورم ألفا (TNF- α) tumor necrosis factor-alpha (TNF- α) ، والإنترفيرون (IFN)، وعوامل النمو المختلفة، مثل بروتين كيناز Protein kinase المنشط بالميتوجين Mutagen والفوسفوكيناز C (Phosphokinase C) ، تقوم إنزيمات COX بتحويل حامض الأراكيدونيك إلى بروستاكلاندين PGs، البروستاسيكلينات، والثرومبوكسين TXs ، ويبدأ الشكل الأول للاستجابة الالتهابية في هذه السلسلة بتكوين PGG2 ثم PGH2، ويتم تحويل PGH2 إلى أشكال PG مختلفة، مثل PGE2 أو PGD2 أو PGF2alpha أو PGI2 أو TXA2، وفي مسار آخر يتم تحويل حامض الأراكيدونيك إلى الليكوتريينات بواسطة ثلاثة أشكال من إنزيمات الليبواوكسجينيز (5-LOX, 12-LOX, 15-LOX) lipoxygenases ، إذ تنتج أنواع مختلفة من الخلايا الليكوتريينات بما في ذلك الخلايا البدنية Mast cells في خلايا الدم البيض ، والدماغ، والرئة، والطحال، والقلب؛ إذ يؤدي 12-LOX و 15-LOX دوراً في إنتاج الليبوكسينات lipoxins، وهناك ثلاثة أشكال لإنزيم COX، وهي COX-1، COX-2، و COX-3 (Birmingham and Buvanendran, 2014).

ينتج الـ COX-3 من نفس الجين لـ COX-1، الذي يعبر عنه في النخاع الشوكي وقشرة المخ ويوجد في الخلايا البطانية وخلايا وحيدات النواة Monocytes وفي القلب لكن بكميات أقل، وقد يؤدي دوراً في إدراك الآلم، لكن وظيفته لم يتم فهمها بشكل كامل بعد، ويُطلق على COX-2 COX-1 أيضًا اسم Prostaglandin H-synthase1 PGG/H تصنيع 1 ، ويوجد COX-1 Prostaglandin H-synthase2 في الصفائح PGG/H تصنيع 2.

الدموية والأوعية الدموية والخلايا الظهارية والمعدة والكلى والأنسجة الأخرى (Zidar *et al.*, 2009).

ركَّزت الأبحاث على الخلايا الدبقية Glial cells في الحالات المرضية المعرضة للاختلاجات العصبية، وهذه الخلايا تُسهم بشكل رئيسي في عملية الاستثارة العصبية وحدوث النوبة؛ إذ لوحظ زيادة في نشاط الخلايا الدبقية الصغيرة Microglia والخلايا النجمية Astrocytes وكذلك زيادة تكوين وتحرير الجزيئات الالتهابية عند حدوث الاختلاجات العصبية، وهذا يُسهم في توليد التهابات عصبية، وتعُد هذه الالتهابات هي محفزة لحدوث الاختلاجات العصبية وفي مقاومة عمل أدوية الصرع (Vezzani, 2015).

تؤدي إنزيمات الأكسدة الحلقية (COX) Cyclooxygenase دوراً مُمِيزاً في الاضطرابات العصبية ، وقد تؤدي دوراً مُمِيزاً في التسبب في حدوث الاختلاجات العصبية، وأن العديد من التغيرات في النوافل العصبية وخاصة GABA والكلوتامين كذلك تؤدي دوراً رئيسياً في الآلية المرضية للاختلاجات العصبية (Dhir *et al.*, 2006).

أظهرت الدراسات على القوارض أن عوامل الالتهاب تُسهم وتؤدي إلى زيادة شدة النوبات المزمنة أو تطور النوبات ، مما يدعم أن إصابة الجهاز العصبي المركزي يمكن أن تؤدي إلى زيادة دائمة في الاستثارة العصبية، وتؤدي هذه الإصابات إلى تحفيز العمليات التهابية في الدماغ، التي تحدث بسرعة وتدوم لفترة مُعَدَّدة طويلة مما يزيد من احتمالية مساهمة محفزات الالتهاب مثل البروستاكلاندين في تطور تكوين الاختلاجات العصبية (Ravizza *et al.*, 2011).

تُسهم الـ Astrocytes فيبقاء وإدامة الالتهاب عن طريق الإفراط في إنتاج السيتوكينات مثل IL-6 (Ravizza *et al.*, 2011; Campbell *et al.*, 1993)، فضلاً عن تغيير آلية عمل الحاجز الدماغي الدموي (BBB) blood brain barrier والخلايا العصبية الذي بدوره يتسبب في زيادة النوبات(David *et al.*, 2009)، وتؤدي النوبات إلى التنشيط السريع للخلايا الدبقية Glial cells في الأنسجة العصبية المحيطية، التي تستجيب عن طريق إنتاج وإطلاق الجزيئات الالتهابية (Dhote *et al.*, 2007)؛ إذ بَيَّنت الخلايا الدبقية الصغيرة اكتسابها العوامل المناعية المضادة Antigenicity بعد تعرض الجهاز العصبي للإصابة الالتهابية وتنشط في الخلايا البلعمية Macrophages للمشاركة في التفاعل الالتهابي مع خلايا T المناعية الموجودة في مجرى الدم (Wang *et al.*, 2021)، وقد لوحظ في كثير من الأبحاث أن هناك زيادة في الالتهابات بعد النوبات المستحدثة عن طريق المواد الكيميائية أو التحفيز الكهربائي في تجارب الحيوانات المختبرية (Gorter *et al.*, 2016; Levesque *et al.*, 2016) ، في هذه النماذج التجريبية، تعرض الاستجابة الالتهابية في الدماغ بعد التعرض بالمواد المسببة للاختلاجات

العصبية ، وتنتمي بالتنشيط المبكر للخلايا النجمية Astrocytes و الخلايا الدبقية Microglia الصغيرة يليها خلل بعمل الحاجز الدماغي الدموي BBB وتنشيط الخلايا العصبية وحدوث النوبات التشنجية (Ravizza *et al.*, 2011; Turrin and Rivest, 2004; De Simoni *et al.*, 2000).

وقد لوحظ أن هناك زيادة قوية في مستويات السيتوكين في كل من النماذج التجريبية للاختلاجات العصبية المستحثة كيميائياً وكهربائياً في القوارض البالغة (Turrin and Rivest, 2004; Oprica *et al.*, 2003; Vezzani *et al.*, 1999)

وركزت الكثير من الأدلة على دور الالتهاب في تكوين الاختلاجات العصبية وكذلك على تأثير السيتوكينات في حدوث النوبات العصبية، ويمكن أن تعمل السيتوكينات كناقلات عصبية كلاسيكية بسفرة المستقبلات في غشاء الخلايا العصبية (Viviani *et al.*, 2007)، في الواقع قد تؤدي الإشارات الالتهابية إلى تعزيز فقدان الخلايا العصبية GABAergic في الحصين hippocampus، مما يؤدي إلى زيادة الميل للنوبات بسبب انخفاض التثبيط في التشابك الذي يحدث بين الخلايا العصبية (Samland *et al.*, 2003).

وتؤدي مستقبلات N-methyl-D-aspartate (NMDA) دوراً كبيراً في نظام glutamatergic للمساهمة في انتشار الخلايا العصبية، وتشير الدراسات السابقة إلى وجود تفاعلات مباشرة وغير مباشرة بين هذه المستقبلات والسيتوكينات (Bradford, 1995)، وقد وجد كذلك أن السيتوكينات تمنع امتصاص الكلوتاميت بواسطة تجمعات الخلايا النجمية Astrocytes (Kunkl *et al.*, 2022; Hu *et al.*, 2000)، وتعديل النقل العصبي الاستثاري في الدماغ بمستقبلات NMDA ومستقبلات alpha-amino-3-hydroxyl-5-methyl-4- isoxazole-propionate (AMPA) (Balosso *et al.*, 2009; Pickering *et al.*, 2018)، (2005)

في علاج الاختلاجات العصبية وعلى الرغم من أن 30% من المرضى يقاومون هذه العلاجات إلا أن الأدوية الضادة للنوبات لها العديد من الآثار الجانبية (Stafstrom And Klein *et al.*, 2015). وبعد الالتهاب عنصراً حاسماً في تكوين الاختلاجات العصبية (Carmant, 2015) (al., 2018)

عندما يتم تنشيط الخلايا الدبقية الصغيرة يقوم أحد الإنزيمات COX بإنتاج وسائل التهابية عن طريق التحليق الحيوي للبروستاكلاندينات من حامض الأراكيونيك (Akundi *et al.*, 2005)، يتكون إنزيم الأكسدة الحلقية من الإنزيمات COX-1 و COX-2 التي تُعد مسببة

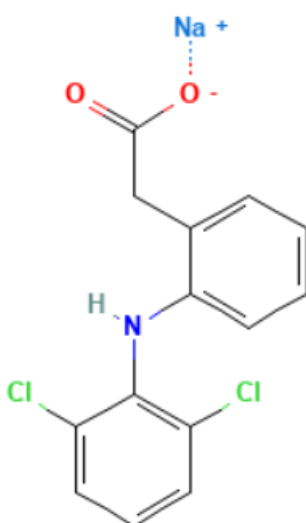
Linton and) TNF- α و IL-6 و IL-1 إنتاج السيتوكينات الالتهابية إلى وتؤدي إلى لالتهابات (Fazio, 2008).

إن المعرفة بأن الالتهاب العصبي يؤدي دوراً في التسبب في نوبات الصرع قد شكلت الأساس لاستخدام الستيرويدات وغيرها من العلاجات الضادة لالتهابات لأغراض ضادة للاختلاج في علاج الاختلاجات العصبية المقاومة للأدوية (Wheless *et al.*, 2007).

2-2-2: الديكلوفيناك:

الديكلوفيناك دواء ضاد لالتهابات غير الستيرويدية (NSAID) ذو وزن جزيئي منخفض (Zauska *et al.*, 2015) والصيغة الكيميائية هي $C_{14}H_{10}Cl_2NNaO_2$ (Altman *et al.*, 2015) (2021)، غالباً ما يستعمل الديكلوفيناك كخط علاج أول للألم الحاد والمزمن والالتهابات الناتجة عن مجموعة متنوعة من الأسباب، وأن الديكلوفيناك هو نتاج تصميم دوائي يعتمد على تركيبات فينيل بوتازون phenylbutazone، وحمض الميفيناميك mefenamic acid، indomethacin والإندوميتاسين (Sallmann, 1986).

صنّع الديكلوفيناك في عام 1973 وهو من أكثر ضادات الالتهاب غير الستيرويدية الموصوفة على نطاق واسع في جميع أنحاء العالم (Altman *et al.*, 2015).



الشكل (3): التركيب الكيميائي للديكلوفيناك صوديوم

(Zauska *et al.*, 2021)

2-2-3 : آلية العمل للدايكلوفيناك:

إنَّ للدايكلوفيناك خصائص مسكنة وتأثيرات خافضة للحرارة تشتراك فيها ضادات الالتهاب غير الستيرويدية الأخرى؛ إذ إنَّه يُستعمل مفعوله عن طريق تثبيط نشاط إنزيمات الأكسدة الحلقية COX-1 وإنزيمات الأكسدة الحلقية COX-2 عن طريق تثبيط تخلق البروستانويات Prostaglandin-E2 (PGE2) مثل: البروستاكلاندين (Prostanoids)، والبروستاسيكلينات Prostacyclins، والثرومبوكسانات Thromboxanes، وهي مكونات أساسية في حالة الالتهاب والآلام كما ذكر آنفًا، إذ إنَّه يمنع بشكل تنافسي حامض الأراكيدونيك من الارتباط بـ COX-1 وـ COX-2 (Rahman *et al.*, 2006)، يثبِّط الدايكلوفيناك COX-1 وـ COX-2 بالتساوي نسبيًا، على الرغم من ذلك فإنَّ الأدلة تشير إلى أنَّ لديه تثبيط انتقائي لـ COX-2، أي حوالي أربعة أضعاف تثبيط COX-1 أثناء التجارب المختبرية، وأنَّ الدايكلوفيناك وضادات الالتهاب غير الستيرويدية الأخرى لها أيضًا تأثيرات في منع إنتاج الثرومبوكسان وخاصة الثرومبوكسان-2 (TXB2) (Walker, 2018).

2-2-4: الخصائص الدوائية للدايكلوفيناك:

يُخمد الدايكلوفيناك الالتهابات الحادة والمزمنة والآلام وارتفاع الحرارة في الحيوانات المختلفة، وفي هذه النماذج أثبت الدواء بشكل عام أنه أكثر فعالية من الأسبرين والإيبوبروفين والنابروكسين والفينيل بوتازون وأقل فعالية من البيروكسيكام ويُشبه الإندوبيوتاسيين، إذ ان المؤشر العلاجي للدايكلوفيناك جيد بشكل عام في الحيوانات، لكنه يختلف بالنسبة إلى ضادات الالتهاب غير الستيرويدية الأخرى NSAIDs وفقًا للنموذج المستخدم (Todd and Sorkin, 1988).

يُعتقد عمومًا أنَّ النشاط الضاد للالتهابات للدايكلوفيناك ومعظم تأثيراته الدوائية الأخرى يرتبط بـ تثبيط تخلق البروستاكلاندين، والدايكلوفيناك مثبط قوي للسيكلوكسجينيز في المختبر وفي الجسم الحي، مما يقلل من تخلق نواتج الالتهاب مثل البروستاكلاندين والبروستاسيكلين والثرومبوكسان (Todd and Sorkin, 1988). هناك اهتمام متزايد بدور السيتوكينات المسببة للالتهابات في التسبب في الاختلاجات العصبية في الظروف الفسيولوجية، وتوجد السيتوكينات بمستويات منخفضة جدًا في أنسجة المخ السليمة، ولكن أبلغ عن ارتفاع مستويات المسببات الالتهابية في الأمراض العصبية (Walker and Sills, 2012; Rao *et al.*, 2008; Virta *et al.*, 2002).

2-2-5: الحركة الدوائية للدايكلوفيناك:

يُمتص الدايكلوفيناك بكفاءة من الجهاز الهضمي، ويصل تركيز الدايكلوفيناك في البلازما إلى الذروة بعد 1.5 إلى 2 ساعة من حقنه في العضل أو عن طريق اخذه من الفم ، أن نصف العمر ($t_{1/2}$) للدايكلوفيناك للطرح خارج الجسم قصير نسبياً في البلازما 1.5 ساعة، ويتم استقلاب الدواء في الكبد ثم يتم التخلص منه عن طريق البول والصفراء (Amanullah *et al.*, 2022; Small, 1989).

2-2-6: طرائق إعطاء الدايكلوفيناك:

يمكن إعطاء دايكلوفيناك الصوديوم عن طريق الفم على شكل أقراص أو شراب معلق أو بشكل محلول يعطى عن طريق الحقن في العضل أو في الوريد وكذلك يُستعمل بشكل موضعي على الجلد ، أو عن طريق المستقيم كتحاميل (Singh *et al.*, 2011).

2-2-7: التأثيرات الجانبية للدايكلوفيناك:

تشترك عائلة أدوية ضادات الالتهاب الغير الستيرويدية بنفس التأثيرات الضارة؛ إذ إنَّ الدايكلوفيناك له العديد من هذه التأثيرات ويرجع ذلك بسبب تثبيط إنزيمات سايكلوكسجيناز؛ إذ إنَّ الدايكلوفيناك يعمل بشكل أكثر انتقائية في تثبيط COX-2، فإنه يزيد من خطر الإصابة بأمراض القلب والأوعية الدموية ويقلل خطر الإصابة بإحداث الجهاز الهضمي (Alfaro and Davis, 2023).

2-2-8: العلامات السريرية للتسمم بالدايكلوفيناك:

ترتبط احتمالية سمية الدايكلوفيناك بتنوع أشكال عائلة الجينات السايتوكروم cytochrome p450 (P450) ، مما يؤثر على قدرة المريض على استقلاب الدواء، إن سمية ضادات الالتهاب غير الستيرويدية المتاحة دون وصفة طبية ليست غير شائعة ولكنها تقتصر عموماً على أعراض خفيفة مع انخفاض خطر حدوث آثار خطيرة، وتنحصر هذه التأثيرات عادةً على اضطراب الجهاز الهضمي والغثيان والدوخة (Alfaro and Davis, 2023; Smolinske *et al.*, 1990).

2-3: تأثير الاحتلالات العصبية على بعض المعايير الكيموحيوية:

تكون الخلايا العصبية معرضة بشكل خاص للإجهاد التأكسدي من الجذور الحرة Free radicals بسبب استهلاكها العالي من الطاقة والأوكسجين، وزيادة الجذور الحرة المشقة من المايتوكوندريا، والأكسدة الذاتية للناقلات العصبية، وضعف الدفاعات المضادة للأكسدة (Friedman, 2011). ويعرف الإجهاد التأكسدي على أنه اضطراب في التوازن بين إنتاج أنواع الأوكسجين الفعالة (ROS) (الجذور الحرة) والدفاعات المضادة للأكسدة (Betteridge, 2000). وبالنسبة للجذور الحرة free radicals يمكن تعريفها بأنها الجزيء الذي يكون قادر على التواجد بشكل مستقل ويحتوي على إلكترون غير مزدوج في مدار الذرة؛ إذ يؤدي ذلك إلى بعض الخصائص المشتركة التي تتقاسمها معظم الجذور إذ إن العديد منها يكون غير مستقر ونشط للغاية، فيكون ذلك إماً عن طريق إعطاء الكترون أو قبول إلكتروني من جزيئات أخرى، ومن ثم تعلم كمؤكسدات Oxidant أو مختزلات Reductant (Lobo *et al.*, 2010). يرتبط إنتاج الجذور الحرة بالضرر الذي يلحق بالتركيب الخلوي في الخلايا العصبية في الدماغ والتسبب في أمراض الجهاز العصبي المركزي (مثل الاحتلالات العصبية) (Malinska *et al.*, 2010)، يُعَدُ الدماغ حساساً للغاية تجاه الجهد التأكسدي نظراً لاستهلاكه العالي للأوكسجين وانخفاض نشاط الدفاعات المضادة للأكسدة (Estevez *et al.*, 2011)، ويرجع هذا الفعل الأيضي الهائل إلى حقيقة أن الخلايا العصبية هي خلايا متميزة بشكل كبير وتحتاج إلى كميات كبيرة من ATP من أجل الحفاظ على التدرج الأيوني عبر أغشية الخلايا ومن أجل النقل العصبي، ونظراً لأن معظم ATP العصبي يتم إنشاؤه عن طريق التمثيل الغذائي التأكسدي، فإن الخلايا العصبية تعتمد بشكل مباشر على وظيفة المايتوكوندريا وعلى إمداد الأوكسجين (Kann and Kovács, 2007)، تشير الدراسات إلى أن الأمراض التكسيية العصبية قد تتطور إلى نوبات صرع مع مرور الوقت (Amatniek *et al.*, 2006).

يُعَدُ الكلوتاثيون GSH من أهم مضادات الأكسدة، ويُعَدُ المزيل الرئيسي للسموم ومن المكونات المهمة للجهاز المناعي (Hyman, 2011)، يمكن أن يؤدي استنفاد الكلوتاثيون إلى تعزيز الإجهاد التأكسدي وقد يزيد أيضاً من مستويات الجزيئات السامة (الجذور الحرة)، ويمكن أن يؤدي ذلك إلى موت الخلايا، وكذلك يؤدي الكلوتاثيون أدواراً متعددة في الجهاز العصبي، وذلك بدوره في التخلص من الجذور الحرة، ومُعَدِّل الأكسدة والاختزال لنشاط المستقبلات الأيونية (Cárdenas-Rodríguez *et al.*, 2014).

المالونديالديهايد (MDA) أحد النواتج النهائية لبيروكسيد الأحماض الدهنية المتعددة غير المشبعة في الخلايا؛ وينتج بعد الزيادة في الإجهاد التأكسدي للخلايا (Dharmajaya and Sari, 2022)، إذ تؤدي زيادة الجذور الحرة إلى الزيادة في إنتاج MDA، يُعرف مستوى المالونديالديهايد عموماً بأنه علامة على الإجهاد التأكسدي (Gawel *et al.*, 2004).

أسيتيل كولين استريلز (AChE) هو عبارة عن عائلة من الخماير التي تحفز التحلل المائي للناقل العصبي أستيل كولين ACh إلى الكولين وحامض الأسيتيك، وهو تفاعل ضروري للسماح للخلية العصبية بالعودة إلى حالة الراحة بعد التنشيط (Colović *et al.*, 2013)، يتواجد إنزيم الكولين استريلز في العديد من الأنسجة مثل الأعصاب والعضلات والأنسجة المركبة والمحيطية والألياف الحركية والحسية، ويكون نشاط AChE أعلى في الخلايا العصبية الحركية منه في الخلايا العصبية الحسية (Massoulié *et al.*, 1993)، وهناك أيضاً إنزيم الكولين استريلز الكاذب Pseudocholinesterase ، المعروف أيضاً باسم كولين استريلز البلازم (Huang *et al.*, 2007)، وينعد التنشيط بنسبة 25-30% في فعالية ونشاط إنزيم الأسيتيل كولين استريلز في بلازما الدم مؤشر مهم على تعرض الحيوانات لإحدى العوامل التي تثبط عمل هذا الإنزيم (Adak *et al.*, 2015).

الفصل الثالث

المواد وطرق العمل

Materials and Methods

الفصل الثالث

المواد وطرائق العمل

Materials and Methods

1-3: الحيوانات المختبرية:

أُسْتُعْمِلَتْ فِي هَذِهِ الْدِرَاسَةِ 156 فَرَخًا مِنْ أَفْرَاخِ دَجَاجِ الْلَّحْمِ مِنْ نَوْعِ رُوزِ (Rose) مِنْ كَلَّا الْجِنْسَيْنِ؛ إِذْ حَصَلْنَا عَلَيْهَا وَجْهَزْنَا مِنَ الْمَفَاقِسِ الْمَحْلِيَّةِ فِي مَدِينَةِ الْمُوَسْلِ، وَجَلَبْنَا بَعْدَهُنَّ يَوْمًا وَاحِدًا وَتَمَّ تَرْبِيَتْهُنَّ فِي ظَرُوفٍ خَاصَّةٍ بِأَفْرَاخِ الدَّجَاجِ مَعَ تَوْفِيرِ الْظَّرُوفِ الْمَلائِمَةِ لَهُنَّ مِنْ دَرْجَةِ حَرَارَةٍ بَيْنَ (32-35)° مَوْلَاهُوَيَّةٍ وَالْاِضَاءَةِ وَالْفَرْشَةِ وَتَزْوِيدِهِنَّ بِالْمَاءِ وَالْعَلْفِ الَّذِي حَصَلْنَا عَلَيْهِ مِنْ مَعْمَلِ الْأَعْلَافِ الْمَحْلِيَّةِ، وَتَمَّ تَرْبِيَتْهُنَّ لِحِينِ إِجْرَاءِ لِتَجَارِبِ عَلَيْهِنَّ بَعْدَهُنَّ (7-9) أَيَّامٍ.

2-3: المستحضرات الدوائية والمواد الكيميائية المستعملة:

الجدول (3-2): المستحضرات الدوائية والمواد الكيميائية المستعملة

المنشأ	المستحضرات الدوائية والمواد الكيميائية
ألمانيا	4-Aminopyridine
إيران	phenobarbital فينوباربิตال
العراق	Diclofenac sodium دايكلوفيناك الصوديوم
العراق	Distilled water ماء مقطَّر
العراق	المحلول الملحي الفسلجي Physiological Saline Solution
أمريكا	ثلاثي كلوروحامض الخليك (TCA)
بريطانيا	فوسفات الهيدروجين ثنائي الصوديوم (Na ₂ HPO ₄)
سويسرا	ثلاثي سترات الصوديوم Tri Sodium Citrate
أمريكا	الكافش دي تي أن بي (DTNB) 5,5-dithiobis-2-nitrobenzoic acid
ألمانيا	الكتوتاثايون Glutathione

إنكلترا	كلوريد البوتاسيوم KCl
أمريكا	كبريتات دودسيل الصوديوم Sodium Dodecyl sulfate
إنكلترا	حامض الخليك Acetic Acid
سويسرا	حامض الثايوباربيجوريك Thiobarbituric Acid TBA
ألمانيا	n-بيوتانول
ألمانيا	البايردين Pyridine
إنكلترا	يوديد الأسيتيل كولين Acetylcholine Iodide
سويسرا	فوسفات البوتاسيوم ثنائي الهيدروجين KH ₂ PO ₄
إنكلترا	باربيتال الصوديوم Sodium Barbital
الهند	كلوريد الصوديوم NaCl
العراق	الفورمالين تركيز 1%

3-3: الأجهزة والمعدات المستعملة:

الجدول (3-3): الأجهزة والمعدات المستعملة

المنشأ	الأجهزة والمعدات المستعملة
أمريكا	ميزان حساس
الهند	ميزان لوزن الأفراخ
الصين	جهاز الطرد المركزي
ايرلندا	جهاز المطياف الضوئي Spectrophotometer
أمريكا	جهاز الجانسة الكهربائي Homogenizer
إنكلترا	حمام مائي Water bath
العراق	صندوق الميدان المفتوح الخشبي ابعاده 30×60×60 سم وقاعدة هذا الصندوق مقسمة إلى 16 مربعًا وطول كل ضلع 15 سم

الصين	سرنجات للحقن 1 مل
الصين	أنابيب سعة 10 مل
الصين	أنابيب اختبار سعة 5 مل حاوية على EDTA
رومانيا	pH meter
كوريا	ثلاجة ومجمدة لحفظ العينات والأعضاء النسيجية

4-3: تحضير الأدوية للحقن:

حضرت الجرعة اللازمة من الـ4-أمينوبايرودين والدايكلوفيناك صوديوم والفينوباربิตال بواسطة الماء المقطر ، وكان حجم الجرعة المحقونة من 4-أمينوبايرودين والماء المقطر 5 مل / كغم من وزن الجسم في الخلب ، أمّا الجرعة المحقونة من الـدايكلوفيناك صوديوم والفينوباربิตال فكانت 5 مل / كغم من وزن الجسم في العضل.

5-3: جمع عينات الدم:

جمعت عينات الدم من الأفراخ وذلك بقطع الوريد الوداجي *Jugular vein* في أنابيب اختبار زجاجية تحتوي على مانع التخثر EDTA ، ومغمورة في وعاء من الثلاج المجروش ، ثم أجريت عليها عملية الطرد المركزي بسرعة 3500 دورة / دقيقة لمدة 15 دقيقة ثم فصلت البلازما ووضعت في أنابيب بلاستيكية نظيفة وجافة ومحكمة الإغلاق ، وحفظت في المجمدة في درجة حرارة 20- درجة مئوية لحين إجراء الاختبارات والقياسات الخاصة بها.

6-3: طريقة استخراج وحفظ الأعضاء:

استخرج الدماغ عن طريق التشریح وفتح جمجمة الأفراخ لغرض استخراج الدماغ بأكمله بعد جمع الدم منها باستعمال المشرط والملقط والمقص ، ثم وضعت العينات داخل ورق من الألمنيوم وحفظت العينات في مجمدة بدرجة حرارة 20- درجة مئوية لحين إجراء الاختبارات والقياسات الخاصة بها.

7-3: التجارب:**1-7-3: التجربة الأولى**

تحديد الجرعة المميتة الوسطية Medium Lethal dose (الجم - 50) للـ 4-امينوباييردين في الأفراخ عن طريق الحقن في الخلب باستعمال طريقة الصعود والنزول Up and Down Method

استخدمت في هذه التجربة 8 أفراخ اختيرت بشكل عشوائي بعمر 7-9 أيام ، وترواحت أوزانها بين 59-97 غم، واعتماداً على الدراسة الأولية حُقِّت الأفراخ من الـ 4-امينوباييردين بجرع أولية بدءاً من 100 ملغم /كغم من وزن الجسم وتمت ملاحظة ظهور علامات الاختلالات العصبية بعد مدة قصيرة من الحقن، ثم موت الحيوان أو يبقى على قيد الحياة خلال 24 ساعة ، وكان مقدار الصعود والنزول من الـ 4-امينوباييردين بجرعة ثابتة هو 10 ملغم/كغم ، وباستعمال الصعود والنزول توصلنا إلى الجم-50 واستعملت ثلاثة حيوانات بعد أول تغيير؛ إذ حُدِّد الجم-50 بالاعتماد على جدول دكسون Dixon المثبت في الملحق (1) (1980).

2-7-3: التجربة الثانية:

تحديد الجرعة الفاعلة الوسطية Median effective dose (الجف - 50) للـ 4-امينوباييردين لوحده في إحداث الاختلالات العصبية عن طريق الحقن في الخلب في أفراخ الدجاج باستعمال طريقة الصعود والنزول Up and Down Method

في هذه التجربة استعملت 6 أفراخ اختيرت بشكل عشوائي بعمر 7-9 أيام ، وترواحت أوزانها بين 59-97 غم ، واعتماداً على الدراسة التجريبية حُقِّت الأفراخ من الـ 4-امينوباييردين في الخلب وبجرع أولية بدءاً من 50 ملغم/كغم من وزن جسم الحيوان، وكان هناك ظهور علامات الاختلالات العصبية بعد مدة قصيرة من الحقن، وكان مقدار الصعود والنزول من 4-امينوباييردين بجرعة ثابتة هو 10 ملغم/كغم من وزن جسم الحيوان، وباستعمال الصعود والنزول توصلنا إلى الجف-50 وبعد ان استعملت ثلاثة حيوانات بعد أول تغيير، حُدِّد الجف-50 للـ 4-امينوباييردين (Dixon, 1980).

3-7-3: التجربة الثالثة :

تحديد الجرعة الفاعلة الوسطية الجف-50 للفينوباربิตال phenobarbital الصاد للأختلالات العصبية عن طريق الحقن في العضل لأفراخ الدجاج باستعمال طريقة الصعود والنزول Up and Down Method

استخدمت في هذه التجربة 6 أفراخ اختيرت بشكل عشوائي بعمر 9-7 أيام، وترواحت أوزانها بين 59-97 غم، واعتماداً على دراسات أولية حُقِّنَت الأفراخ من الـ4-أمينوبايرودين في الخلب بجرعة ثابتة 50 ملغم/كغم من وزن الجسم؛ إذ حُقِّنَت أول فرخ من مادة الفينوباربيتال في العضل بجرعة 10 ملغم/كغم من وزن الجسم وبعد مرور 20 دقيقة حُقِّنَت الـ4-أمينوبايرودين في الخلب، وكان هناك ظهور لعلامات الاختلاجات العصبية بعد مدة قصيرة من الحقن وكان مقدار الصعود والنزول من الفينوباربيتال بجرعة ثابتة 2 ملغم/كغم من وزن جسم الحيوان وباستعمال الصعود والنزول توصلنا إلى الجف-50 وبعد ان استعملت ثلاث حيوانات بعد أول تغيير، حُدِّد الجف-50 للفينوباربيتال (Dixon, 1980).

4-7-3: التجربة الرابعة:

تحديد الجرعة الفاعلة الوسطية الجف-50 للدايكلوفيناك الضادة للأختلاجات عن طريق الحقن في العضل لأفراخ الدجاج باستعمال طريقة الصعود والنزول Up and Down Method

استخدمت في هذه التجربة 7 أفراخ اختيرت بشكل عشوائي بعمر 9-7 أيام وترواحت أوزانها بين 59-97 غم، واعتماداً على تجارب الأولية حُقِّنَت الأفراخ من الـ4-أمينوبايرودين في الخلب وبجرعة ثابتة 50 ملغم/كغم من وزن الجسم؛ إذ حُقِّنَت أول فرخ من مادة الدايكلوفيناك بجرعة 10 ملغم/كغم من وزن الجسم في العضل، وبعد مرور 60 دقيقة حُقِّنَت الـ4-أمينوبايرودين في الخلب (Alwakeel *et al.*, 2023)، وكان هناك ظهور لعلامات الاختلاجات العصبية بعد مدة قصيرة من الحقن، وكان مقدار الصعود والنزول في الـ4-أمينوبايرودين بجرعة ثابتة هو 2 ملغم/كغم من وزن جسم الحيوان وباستعمال الصعود والنزول توصلنا إلى الجف-50 وبعد ان استعملت ثلاث حيوانات بعد أول تغيير، حُدِّد الجف-50 للدايكلوفيناك (Dixon, 1980).

4-7-3: التجربة الخامسة:

تحديد التداخل الدوائي بين الفينوباربيتال والدايكلوفيناك عند استخدامهما معًا بنسبة 0.5 : 0.5 في الاختلاجات العصبية الناتجة من حقن الـ4-أمينوبايرودين (50 ملغم/كغم من وزن الجسم في الخلب) في أفراخ الدجاج

في هذه التجربة أُسْتُعملت 5 أفراخ اختيرت بشكل عشوائي بعمر 9-7 أيام وترواحت أوزانها بين 59-97 غم، واعتماداً على الدراسة التجريبية حُقِّنَت الأفراخ من الـ4-أمينوبايرودين في الخلب وبجرعة ثابتة 50 ملغم/كغم من وزن الجسم، حقن أول فرخ في هذه التجربة بنصف

تحليل الايزوبولوغرافيک : Isobolographic Analysis

استعمل الورق البياني في هذا التحليل؛ إذ إنّه ثبت الجف-50 لفينوباربيتال على المحور السيني، بينما ثبت الجف-50 للدياكلوفيناك على المحور الصادي وترتبط هاتان الجرعاتان بخط مستقيم وبعد ذلك حددت نقطة التقاء الجرعاتان على الورق البياني؛ إذ إنّ نقطة التقاء الجرعاتين تحدد التداخل الدوائي عند هذه النسبة (0.5 : 0.5) فإذا وقعت هذه النقطة على الخط الذي يصل بين الجرعاتين فيكون هذا التداخل إضافة أو جمعي Additive interaction بينما إذا وقعت هذه النقطة فوق هذا الخط أو خارجه فهذا يعني أنّ التداخل تضادي Antagonistic interaction أما إذا كانت أسفل الخط فهذا يعني أنّ التداخل هو تأزري Synergistic interaction، وقيمت الحسابات بالاعتماد على تحليل الإيزوبولوكرافيك Isobolographic Analysis لفحص التداخل الدوائي.

و لاستكشاف نوع التداخل طبقت المعادلة الآتية:

معادلة مؤشر التداخل (Interaction index) (Gessner, 1995)

$$Y = da/Da + db/Db$$

الجف-50 للديكلوفيناك لوحده.

Db: الجف-50 لفينوباربيتال لوحده.

الج-50: كل من الـدـايكـلـوفـينـاكـ وـالـفـينـوـبـارـبـيتـالـ عـنـ إـعـطـائـهـمـاـ مـعـاـ.

وتعَرَّفنا على قيمة الجـ-50 لكل دواء لوحدهما أو معاً عن طريق الصعود والنزول، فإذا كانت قيمة الـ Y:

قيمة الـ Y :

﴿ تساوي واحد هذا يعني أنه ليس هنالك تداخل بين الدوائين (إضافةً أو جمعي) (Additive). ﴾

أقل من واحد هذا يدل على ان التداخل بين الدوائين تآزر (Synergism).

أكابر من واحد فذلك يعني أن التداخل بينهما تضادي (Antagonism).

6-7-3: التجربة السادسة:

تأثير الفينوباربิตال والدايكلوفيناك في منع الاختلالات العصبية الناتجة من حقن 4

أمينوباييردين (50 ملغم / كغم من وزن الجسم ، في الخلب) في أفراخ الدجاج

استخدم في هذه التجربة 15 من أفراخ الدجاج اختيرت بشكل عشوائي بعمر 9-7 أيام وترواحت أوزانها بين 55-101 غم، وقسمت الأفراخ بشكل عشوائي إلى ثلاثة مجموعات مقسمة بالتساوي؛ إذ إنّه تألفت كل مجموعة من 5 أفراخ وكما يأتي:

المجموعة الأولى (مجموعة السيطرة): في هذه المجموعة أُسْتُعْمِل المحلول الملحي الفسلجي فيها؛ إذ إنّه حقن في العضل بحجم 5 مل/كغم من وزن الجسم وذلك قبل 20 دقيقة من حقن 4-أمينوباييردين 50 ملغم / كغم من وزن الجسم في الخلب.

المجموعة الثانية : في هذه المجموعة حقن الأفراخ بالفينوباربิตال بجرعة 9.47 ملغم/كغم من وزن الجسم بالعضل وذلك قبل 20 دقيقة من حقن 4-أمينوباييردين 50 ملغم / كغم من وزن الجسم في الخلب.

المجموعة الثالثة: أمّا هذه المجموعة فقد حقنت الأفراخ بالدايكلوفيناك بجرعة 7.48 ملغم/كغم من وزن الجسم في العضل وذلك قبل 60 دقيقة من حقن 4-أمينوباييردين 50 ملغم / كغم من وزن الجسم في الخلب. (Alwakeel *et al.*, 2023).

بعد تقسيم المجموعات وحقن الجرع من الأدوية تمت مراقبة الأفراخ في هذه المجموعات وكل فرخ بشكل منفرد وسُجّلت جميع العلامات الظاهرة من الاختلالات العصبية ووقت حدوثها في مدة زمن معين قدره 20 دقيقة من حقن الـ 4-أمينوباييردين (فاضل، 2018).

7-7-3: التجربة السابعة:

تأثير جرع مختلفة من الدايكلوفيناك في منع الاختلالات العصبية الناتجة من حقن

4-أمينوباييردين (50 ملغم / كغم من وزن الجسم ، في الخلب) في أفراخ الدجاج

استخدم في هذه التجربة 24 من أفراخ الدجاج اختيرت بشكل عشوائي بعمر 9-7 أيام وترواحت أوزانها بين 60-105 غم، وقسمت الأفراخ بشكل عشوائي إلى أربع مجموعات مقسمة بالتساوي إذ إنّه تألفت كل مجموعة من 6 أفراخ وكما يأتي:

المجموعة الأولى (مجموعة السيطرة): في هذه المجموعة أُسْتُعْمِل المحلول الملحي الفسلجي فيها؛ إذ إنّه حقن في العضل بحجم 5 مل/كغم من وزن الجسم وذلك قبل 20 دقيقة من حقن 4-أمينوباييردين 50 ملغم / كغم من وزن الجسم في الخلب.

المجموعة الثانية : في هذه المجموعة حققت الأفراخ فيها بالدايكلوفيناك بجرعة 14.96 ملغم/كغم من وزن الجسم بالعضل وذلك قبل 60 دقيقة من حقن 4-امينوباييردين 50 ملغم / كغم من وزن الجسم في الخلب.

المجموعة الثالثة: أمّا هذه المجموعة فقد حققت الأفراخ بالدايكلوفيناك بجرعة 29.92 ملغم/كغم من وزن الجسم في العضل وذلك قبل 60 دقيقة من حقن 4-امينوباييردين 50 ملغم / كغم من وزن الجسم في الخلب.

المجموعة الرابعة: وحققت الأفراخ في هذه المجموعة كذلك بالدايكلوفيناك ولكن بجرعة 59.84 ملغم/كغم من وزن الجسم في العضل وذلك قبل 60 دقيقة من حقن 4-امينوباييردين 50 ملغم / كغم من وزن الجسم في الخلب.

بعد تقسيم المجموعات وحقن الجرع من الدايكلوفيناك تمت مراقبة الأفراخ في هذه المجموعات وكل فرخ بشكل منفرد وسُجّلت جميع العلامات الظاهرة من الاختلاجات العصبية ووقت حدوثها في مدة زمن معين قدره 20 دقيقة من حقن الـ 4-امينوباييردين (Erdogan *et al.*, 2023).

8-7-3: التجربة الثامنة:

الاستجابة للألم باستعمال الفورمالين بتركيز 1 % في أفراخ الدجاج المعاملة بالـ 4-

امينوباييردين والفينوباربيتال والدايكلوفيناك

استخدم الفورمالين Formalin بحجم حقن 0.05 مل وتركيز 1 % في باطن القدم اليمنى للأفراخ مع نفس حجم الحقن للمحلول الفسلجي.

استخدم في هذه التجربة 30 من أفراخ الدجاج اختيرت بشكل عشوائي بعمر 7-9 أيام وترواحت أوزانها بين 57-99 غم، وُقسّمت الأفراخ بشكل عشوائي إلى 6 مجموعات مقسمة بالتساوي؛ إذ إنّه تألفت كل مجموعة من 5 أفراخ وكما يأتي:

المجموعة الأولى (مجموعة السيطرة): في هذه المجموعة حققت الأفراخ بال محلول الملحي الفسلجي في العضل بحجم حقن 5 مل/كغم من وزن الجسم وذلك قبل 30 دقيقة من حقن محلول الملحي الفسلجي 0.05 مل في باطن القدم اليمنى.

المجموعة الثانية: في هذه المجموعة حققت الأفراخ بال محلول الملحي الفسلجي في العضل بحجم حقن 5 مل/كغم من وزن الجسم وذلك قبل 30 دقيقة من حقن الفورمالين 0.05 مل في باطن القدم اليمنى.

المجموعة الثالثة: حقن الأفراخ في هذه المجموعة بالـ 4-أمينوبايرودين في الخلب بجرعة 50 ملغم/كغم من وزن الجسم، وذلك قبل 30 دقيقة من حقن الفورمالين 0.05 مل في باطن القدم اليمني.

المجموعة الرابعة: حقن الأفراخ في هذه المجموعة بالفينوباربيتال بجرعة مقدارها 9.47 ملغم/كغم من وزن الجسم في العضل قبل 20 دقيقة من حقن الـ 4-أمينوبايرودين في الخلب بجرعة 50 ملغم/كغم من وزن الجسم، وذلك قبل 30 دقيقة من حقن الفورمالين 0.05 مل في باطن القدم اليمني.

المجموعة الخامسة: حقن الأفراخ في هذه المجموعة بالدايكلوفيناك بجرعة مقدارها 7.48 ملغم/كغم من وزن الجسم في العضل قبل 60 دقيقة من حقن الـ 4-أمينوبايرودين في الخلب بجرعة 50 ملغم/كغم من وزن الجسم، وذلك قبل 30 دقيقة من حقن الفورمالين 0.05 مل في باطن القدم اليمني.

المجموعة السادسة: حقن الأفراخ في هذه المجموعة بالدايكلوفيناك بجرعة مقدارها 7.48 ملغم/كغم من وزن الجسم في العضل قبل 40 دقيقة من حقن الفينوباربيتال بجرعة 9.47 ملغم/كغم من وزن الجسم وبعد 20 دقيقة **حقن الأفراخ بالـ 4-أمينوبايرودين في الخلب بجرعة 50 ملغم/كغم من وزن الجسم، وذلك قبل 30 دقيقة من حقن الفورمالين 0.05 مل في باطن القدم اليمني.**

وبعد 30 دقيقة من استخدام الفورمالين أو محلول الملحي الفسلجي وحقنه في باطن القدم الأيمن أخضع كل فرخ إلى القياسات التالية لمدة 3 دقائق وكما يأتي:

(Fadel and Mustafa, 2023; Tjølsen *et al.*, 1992)

1- الوقت اللازم الذي يستغرقه الفرخ لرفع القدم اليمني التي حقن بالفورمالين بالثواني.

2- عدد المرات التي رفع بها القدم اليمني التي حقن بالفورمالين.

3- أطول وقت مستغرق لرفع القدم اليمني حتى إنزالها بالثواني.

7-7-3: التجربة التاسعة:

تأثير الفينوباربيتال والدايكلوفيناك في النشاط الحركي في أفراخ الدجاج المعاملة بالـ 4-أمينوبايرودين بعد ساعة واحدة وثلاث ساعات من المعاملة واختبار الاستجابة لعدم الحركة الشدي:

استخدم في هذه التجربة 25 من أفراخ الدجاج اختيرت بشكل عشوائي بعمر 7-8 أيام وترواحت أوزانها بين 59-97 غ، وقسمت الأفراخ بشكل عشوائي إلى 5 مجموعات مقسمة بالتساوي إذ أنه تألفت كل مجموعة من 5 أفراخ وكما يأتي:

المجموعة الأولى (مجموعة السيطرة): حقن الأفراخ بال محلول الملحي الفسلجي في العضل بحجم حقن 5 مل/كغم من وزن الجسم.

المجموعة الثانية: حقن الأفراخ بالـ 4-أمينوبايرودين في الخلب بجرعة 50 ملغم/كغم من وزن الجسم.

المجموعة الثالثة: حقن الأفراخ في هذه المجموعة بالفينوباربيتال بجرعة مقدارها 9.47 ملغم/كغم من وزن الجسم في العضل بحجم حقن 5 مل/كغم من وزن الجسم وذلك قبل 20 دقيقة من حقن الـ 4-أمينوبايرودين في الخلب بجرعة 50 ملغم/كغم من وزن الجسم.

المجموعة الرابعة: حقن الأفراخ في هذه المجموعة بالدايكلوفيناك بجرعة مقدارها 7.48 ملغم/كغم من وزن الجسم في العضل بحجم حقن 5 مل/كغم من وزن الجسم وذلك قبل 60 دقيقة من حقن الـ 4-أمينوبايرودين في الخلب بجرعة 50 ملغم/كغم من وزن الجسم.

المجموعة الخامسة: حقن الأفراخ في هذه المجموعة بالدايكلوفيناك بجرعة مقدارها 7.48 ملغم/كغم من وزن الجسم في العضل قبل 40 دقيقة من حقن الفينوباربيتال بجرعة 9.47 ملغم/كغم من وزن الجسم، وبعد 20 دقيقة حقن الأفراخ بالـ 4-أمينوبايرودين في الخلب بجرعة 50 ملغم/كغم من وزن الجسم.

اختيرت جُرُع الفينوباربيتال والدايكلوفيناك بالاعتماد على التجارب التي أجريت في بداية الدراسة ولم يكن هناك ظهور للأعراض السمية أو الجانبية بشكل واضح، وحقن الـ 4-أمينوبايرودين بعد 60 دقيقة من حقن الدايكلوفيناك و20 دقيقة من حقن الفينوباربيتال، وتم بعد ساعة من حقن الـ 4-أمينوبايرودين وبعد ثلث ساعات أُجري النشاط الحركي لكل فرخ من كل مجموعة على حدة في الميدان المفتوح في غرفة هادئة ومعزولة من الضوضاء والمؤثرات الخارجية، إذ استخدم صندوق الميدان المفتوح المصنوع من الخشب ذي ابعاد $60 \times 60 \times 30$ سم وأرضيته بيضاء ومقسمة إلى 16 مربع متساوي الأضلاع وكان طول كل ضلع 15 سم، وكذلك ثُثير 60 غم من العلف في أرضية الصندوق، ثم وضع كل فرخ في أرضية الصندوق (في المربع الأوسط) وبعد ذلك قيِّمت هذه الاختبارات في مدة ثابتة خلال 3 دقائق وكانت قياسات الاختبارات في الميدان المفتوح كما يأتي:

1- المدة المستغرقة لأول حركة للفرخ في المربع الوسطي بالثواني *Latency to move*

2- عدد المربعات أو الخطوط التي قطعها الفرخ بقدميه الاثنتين *Lines crossed*

(Fadel *et al.*, 2023)

3- اختبار عدم الحركة الشدي *Tonic immobility response*

بعد عمل الاختبارات وتسجيل القياسات داخل صندوق الميدان المفتوح، رُفع الفرخ بسرعة ووضعه على الجانب الأيمن مع وضع كف اليد فوقه لمدة 20 ثانية وذلك لكي يهدا الفرخ ويسكن، ثم تُرفع اليد ببطء ويحسب الوقت اللازم الذي يستغرقه الفرخ للوقوف على قدميه الاثنتين بالثواني، والفرخ المقاوم لعملية التسكين (الفشل في البقاء ساكناً) تعاد المحاولة لخمس مرات متتالية في تهئته وتسكينه وبين كل محاولة وأخرى يترك لمدة 30 ثانية (Fadel *et al.*, 2023، وأن أقصى مدة للتهئة هي 300 ثانية).

10-7-3: التجربة العاشرة:

تأثير الفينوباربيتال والدايكلوفيناك في تركيز الكلوتاثيون والمالوندابالديهيد والكولين استريرز في بلازما الدم والدماغ للأفراخ المعاملة بالـ 4-أمينوبيردين بعد ثلث ساعات من المعاملة
استخدم في هذه التجربة 30 من أفراخ الدجاج اختيرت بشكل عشوائي بعمر 7-9 أيام وترواحت أوزانها بين 59-107 غم، وقسمت الأفراخ بشكل عشوائي إلى 5 مجموعات مقسمة بالتساوي إذ إنّه تألفت كل مجموعة من 6 أفراخ وكما يأتي:

المجموعة الأولى(مجموعة السيطرة): حققت الأفراخ بال محلول الملحي الفسلجي في العضل بحجم حقن 5 مل/كغم من وزن الجسم.

المجموعة الثانية: حققت الأفراخ بالـ 4-أمينوبيردين في الخلب بجرعة 50 ملغم/كغم من وزن الجسم.

المجموعة الثالثة: حققت الأفراخ في هذه المجموعة بالفينوباربيتال بجرعة مقدارها 9.47 ملغم/كغم من وزن الجسم في العضل بحجم حقن 5 مل/كغم من وزن الجسم وذلك قبل 20 دقيقة من حقن الـ 4-أمينوبيردين في الخلب بجرعة 50 ملغم/كغم من وزن الجسم.

المجموعة الرابعة: حققت الأفراخ في هذه المجموعة بالدايكلوفيناك بجرعة مقدارها 7.48 ملغم/كغم من وزن الجسم في العضل بحجم حقن 5 مل/كغم من وزن الجسم وذلك قبل 60 دقيقة من حقن الـ 4-أمينوبيردين في الخلب بجرعة 50 ملغم/كغم من وزن الجسم.

المجموعة الخامسة: حققت الأفراخ في هذه المجموعة بالدايكلوفيناك بجرعة مقدارها 7.48 ملغم/كغم من وزن الجسم في العضل قبل 40 دقيقة من حقن الفينوباربيتال بجرعة 9.47 ملغم/كغم من وزن الجسم، وبعد 20 دقيقة حقنت الأفراخ بالـ 4-أمينوبيردين في الخلب بجرعة 50 ملغم/كغم من وزن الجسم.

سحبت عينات الدم واستخرجت عينات الدماغ بعد ثلث ساعات من المعاملة وحفظت بشكل مجمد في درجة حرارة 20- م° لحين إجراء التجارب والقياسات المتعلقة بها (فاضل، 2018).

أ- قياس مستوى الكلوتاثيون في الدماغ وبلازما الدم بطريقة المأن المحورة (James *et al.*, 1982)

المحاليل المستعملة:

1. محلول حمض الخليك ثلاثي الكلور (TCA) (6%).
2. محلول دارئ فوسفات الصوديوم الحامضية Na_2HPO_4 (0.3 مولاريتي) و حضر بإذابة 42.588 غم من هذه المادة وإكمال الحجم إلى 1000 مل باستعمال الماء المقطر.
3. محلول دارئ ثلاثي سترات الصوديوم (Trisodium- citrate buffer) (10%).
4. الكاشف 5.5 - ثنائي ثايوبيس 5.5 Dithiobis 2-Nitro benzoic acid (DTNB) (0.04%). و حضر بإذابة 0.04 غم من المادة و إكمال الحجم إلى 100 مل بمحلول دارئ ثلاثي سترات الصوديوم المحضر آنفًا، إذ يحضر الكاشف يومياً وتحفظ المحاليل آنفًا جميعها في الثلاجة عند درجة حرارة 4°C.
5. الكلوتاثيون L-Glutathione (المختزل) و تُعمل تراكيز قياسية Standard منه وهي (0.003125، 0.00625، 0.025، 0.05، 0.1، 0.05 ملغم / 0.5 مل) وذلك من أجل الحصول على التركيز النهائي للكلوتاثيون في العينات.

طريقة العمل:

يعتمد مبدأ التفاعل والقياس على كاشف ألمان DTNB مع الكلوتاثيون الموجود في العينة، الذي يكون معقداً لونياً ذو لون أصفر- ذهبي، وان اعتماد شدة اللون يكون على مقدار تركيز الكلوتاثيون في العينة، ويكون قياس شدة اللون عن طريق جهاز المطياف الضوئي.

في البدء تم سحن ومجانسة نسيج الدماغ Brain Homogenization في محلول حمض الخليك ثلاثي الكلور TCA بمقادير 2.5 ملليلتر / 0.5 غم من الدماغ بجهاز الجانسة الكهربائي عند سرعة 400 دورة بالدقيقة ولمدة 30 ثانية، ثم نقلت العينات إلى أنابيب اختبار مغمورة بالثلج المجروش ثم توضع في جهاز الطرد المركزي بسرعة 3000 دورة/دقيقة ولمدة 15 دقيقة وأخذ 0.5 مل من الراشح Supernatant من كل عينة ليتم لاحقاً تحديد مقدار تركيز الكلوتاثيون في الدماغ وكما يأتي:

1- وضع 0.5 مل من الراشح لكل عينة في أنبوبة اختبار، ثم وضع 0.5 ملليلتر من الماء المقطر في أنبوبة الكفاء blank.

2- وأضيف 2 مل من محلول داري فوسفات الصوديوم المجهز في السابق، ثم رجت الأنابيب جيدا، ليتم بعد ذلك إضافة 0.5 مل من محلول كاشف ألمان DTNB إلى أنابيب الاختبار ويتم رجها بشكل جيد وترك لمنطقة 5 دقائق بدرجة حرارة الغرفة.

3- بعد ذلك وضعت العينات في جهاز المطياف الضوئي ليتم قياس امتصاصية الضوء للعينات مقابل قراءة امتصاصية الكفاء عند طول موجي 412 نانومتر.

وحسب التركيز النهائي للكلوتاثيون في الدماغ عن طريق تحضير تراكيز قياسية مختلفة من الكلوتاثيون (0.003125، 0.00625، 0.025، 0.05، 0.1، 0.05 مل / 0.5 مل) ثم تمت قراءة امتصاصية المحاليل بعد معاملتها كما ذكر آنفًا (يتم وضع تراكيز معلومة من الكلوتاثيون بدل العينة وبحجم 0.5 مل)، وحسب مستوى تركيز الكلوتاثيون في العينات المعاملة وذلك عن طريق استعمال المنحنى القياسي لهذه التراكيز ، كذلك استعملت معادلة الانحدار الخطى البسيط للتراكيز القياسية لإيجاد تركيز الكلوتاثيون المجهول في العينة Simple Liner Regression ، وأن النتيجة النهائية تكون بالمايكرومول/غم من نسيج الدماغ وكما يأتي:

$$y = a + bx$$

y : امتصاصية العينة عند طول موجي (412 نانومتر).

a : نقطة تقاطع المحور الرأسى للتركيز القياسي Intercept.

b : ميل خط الانحدار للتركيز القياسي Slope.

x : تركيز الكلوتاثيون المجهول في العينة.

ثم حسبت نسبة الانخفاض في تركيز الكلوتاثيون على وفق المعادلة الآتية:

$$\text{معدل تركيز الكلوتاثيون في مجموعة السيطرة} - \text{معدل تركيز الكلوتاثيون في المجموعة المعاملة} \times 100$$

$$\frac{\text{معدل تركيز كلوتاثيون مجموعه السيطرة}}{\text{معدل تركيز كلوتاثيون مجموعه السيطرة}}$$

وبالنسبة لطريقة تقدير عينات بلازما الدم فأجريت جميع الخطوات التي ذكرت آنفًا ما عدا المجانسة مع محلول حامض الخليك ثلاثي الكلور TCA، وأُسْتَعْمِل 0.05 مل من بلازما الدم ووضعت في محلول التفاعل فيما وُضِعَت 0.05 مل من الماء المقطر في أنبوبة الكفاء وأن النتيجة النهائية تكون بالمايكرومول/مل. (الملحق 2)

ب- قياس مستوى المالونديالديهايد في الدماغ وبلازما الدم بطريقة أكاوا (Ohkawa *et al.*, 1979).

الحاليل المستخدمة :

1. محلول كلوريد البوتاسيوم KCl بتركيز 1.15%.
2. كبريتات دودسيل الصوديوم Sodium Dodecyl Sulfate بتركيز 8.1%.
3. حمض الخليك Acetic acid بتركيز 20% وبها pH 3.5.
4. حمض الثايوباربيجوريك Thiobarbituric acid بتركيز 0.8%， ويحضر عن طريق إذابته بالماء المقطر وحامض الخليك.
5. ن-البيوتانول n-butanol.
6. بايردين Pyridine.

طريقة العمل:

حضرت الحاليل آنفًا وحفظت بالثلاجة بدرجة 4 °، أما حامض الثايوباربيجوريك فيتم تحضيره كل يوم، وأن مبدأ قياس مستوى المالونديالديهايد يكون بالاعتماد على التفاعل بين بيروكسيدات الدهن وبشكل رئيس المالونديالديهايد وحامض الثايوباربيجوريك ويكون اعتماد هذا التفاعل على البها pH الذي يجب أن يكون حمضيًا.

تمت مجاسة وسخن نسيج الدماغ وذلك بأخذ 0.5 غ من نسيج الدماغ مع 4.5 ملليلتر من محلول كلوريد البوتاسيوم KCl بتركيز 1.15% (٪) باستعمال جهاز الجانسة الكهربائي بسرعة 400 دورة / دقيقة ولمدة 20 ثانية، وتتألف مزيج التفاعل ما يأتي:

- 1- وضع 0.2 مل من مجاسة نسيج الدماغ في أنبوبة اختبار، أما في أنبوبة الكفاء فيتم وضع 0.2 مل من الماء المقطر فيها.
- 2- ثم يضاف لها 0.2 مل من كبريتات دودسيل الصوديوم (بتركيز 8.1%).
- 3- ثم يضاف 3 مل من المزيج المحضر الذي يتكون من نسب متساوية من حامض الخليك (بتركيز 20% وبها 3.5) وحامض الثايوباربيجوريك (بتركيز 0.8%).
- 4- يتم إكمال المزيج إلى 4 مل وذلك بإضافة 0.6 مل من الماء المقطر.
- 5- ثم سخن المزيج الموجود في أنبوبة الاختبار بدرجة 95 ° ولمدة 60 دقيقة وتمت تغطية فوهة الأنابيب بكرات قطنية، وبعد ذلك تركت الأنابيب للتبريد.

وتلا ذلك إضافة 1 مل من الماء المقطر و5 مل من مزيج ن-البيوتانول والبایریدین بنسبة (1:15) إلى كل أنابيب الاختبار ثم رجت بقوة وليتم وضعها بعد ذلك في جهاز الطرد المركزي بسرعة 4000 دورة / دقيقة لمدة 10 دقائق.

وسجل قياس امتصاص الطبقة العلوية (الطاافية) في كل أنبوبة اختبار عند طول موجي قدره 532 نانومتر ، وأخذ حجم متعادل من كل عينة، وأن حساب تركيز المالوندالديهيد باستعمال معامل الامتداد Extension Coefficient البالغ 1.56×10^{-5} وبحسب مستوى المالوندالديهيد بالنانومول / غم في نسيج الدماغ .

حسبت نسبة الصعود في مستوى المالوندالديهيد على وفق المعادلة الآتية:

$$\text{معدل تركيز المالوندالديهيد في المجموعة المعاملة} - \text{معدل تركيز المالوندالديهيد في مجموعة السيطرة} \\ 100 \times \frac{\text{معدل تركيز المالوندالديهيد في مجموعة السيطرة}}{\text{معدل تركيز المالوندالديهيد في المجموعة المعاملة}}$$

وبالنسبة لعينات بلازما الدم فقد حسب قياس مستوى المالوندالديهيد فيها وذلك بإجراء كل الخطوات التي ذكرت آنفًا ما عدا خلو طريقة القياس من عملية المجانسة مع محلول كلوريد البوتاسيوم، واستخدم 0.2 مل من الماء المقطر في أنبوبة الكفاءة وأن النتيجة النهائية تكون بالنانومول / مول.

ج- قياس مستوى الكولين استریز في الدماغ وبلازما الدم باستعمال الطريقة الكهرومترية المحورة (Mohammad *et al.*, 2007).

تحضير محلول الدارئ:

يُجهَّز محلول دارئ الفوسفات Buffer phosphate solution ذو الباها 8.1 pH والمحضر كما يأتي:

يضاف في دورق زجاجي مدرج 0.3925 غم من باربیتال الصوديوم وإضافة 0.407 غم من فوسفات البوتاسيوم ثنائي الهيدروجين ثم يضاف 8.7675 غم من كلوريد الصوديوم في 225 ملليلتر من الماء المقطر، وعُدلت الدرجة الحامضية للمحلول النهائي إلى 8.1 باستعمال حمض الهيدروكلوريك (0.1 مولاري) ثم يقاس محلول بجهاز قياس الباها PH meter وبعد ذلك يكمل الحجم إلى 250 مل عن طريق إضافة الماء المقطر.

تحضير محلول المائي يوديد الاستييل كولين 7.1%

وحضَّر كالآتي: يضاف 0.355 ملغم من يوديد الاستييل كولين في 5 مل من الماء المقطر، وتم تجهيزه في يوم القياس نفسه.

طريقة قياس نشاط إنزيم الأسيتيل كولين استريلز: (Mohammad *et al.*, 2007)
المولى، (2023)

1. وضع 3 مل من الماء المقطر في أنبوبة اختبار زجاجية ذات سعة 10 مل.
2. أضيف عليه 0.2 مل من عينة البلازمما أو من جانسة الدماغ.
3. أضيف 3 مل من محلول دارئ الفوسفات ذي الباها 8.1 ثم يمزج الخليط.
4. يتم قياس مستوى الباها 1 PH للمزيج عن طريق جهاز قياس الباها PH meter.
5. ثم أضيف 0.12 مل من محلول يوديد الأسيتيل كولين 7.1 % كمادة أساس.
6. نقل المزيج إلى الحمام المائي الذي ضُبط عند درجة حرارة 37 ° و يُحْسَن لمندة 30 دقيقة.
7. وبعد ذلك أُخرجت العينة من الحمام المائي و قياس الباها 2 pH مباشرة.
8. وحسب مقدار التغير في قيمة الباها الذي يمثل مقدار الفرق بين الباها -1 والباها -2 خلال 30 دقيقة، وأن هذه النتيجة تعكس نشاط الإنزيم في العينة التي استُعملت للفياس وكما يأتي:

$$\text{التغير في الباها}/30 \text{ دقيقة} = (\text{الباها}-1 - \text{الباها}-2) - \text{الباها للكفاء}$$

وأن الكفاء يحتوي على المحاليل كافة ما عدا عينة البلازمما أو النسيج (Mohammad *et al.*, 1997) وحسب النسبة المئوية لتبسيط نشاط إنزيم الأسيتيل كولين استريلز حسب المعادلة الآتية:

$$\frac{\text{معدل نشاط الإنزيم في مجموعة السيطرة} - \text{معدل نشاط الإنزيم في المجموعة المعاملة}}{100} \times 100\% = \%$$

$$\frac{\text{معدل نشاط الإنزيم في مجموعة السيطرة}}{\text{معدل نشاط الإنزيم في مجموعة السيطرة}} \times 100\% = \%$$

3-8: التحليل الإحصائي :

عرضت البيانات بالمعدل \pm الخطأ القياسي، حللت البيانات المعملية parametric إحصائياً باستعمال اختبار تحليل analysis of variance (ANOVA) وبعدها طبق عليها اختبار الفرق المعنوي الأدنى Least significant difference L.S.D اعتماداً على برنامج التحليل الإحصائي SPSS و برنامج الأكسل، كان مستوى الاختلاف المعنوي لجميع الاختبارات عند مستوى احتمالية أقل من 0.05 (Katz, 2006; Petrie and Watson, 1999).

الفصل الرابع

النتائج

Results

الفصل الرابع

النتائج

Results

4-1: التجربة الأولى:

تحديد الجرعة المميتة الوسطية Medium Lethal dose (الجم-50) للـ4-أمينوباييردين في إحداث الاختلاجات العصبية عن طريق الحقن في الخلب في أفراخ الدجاج باستعمال طريقة الصعود والنزول Up and Down Method (Dixon, 1980).

بعد عملية حقن مادة الـ4-أمينوباييردين في خلب أفراخ الدجاج كانت الجم-50 هي 62.6 ملغم/كغم من وزن الجسم وكان هناك ظهور لمجموعة من علامات التسمم في أفراخ الدجاج المحقونة ومن علامات التسمم التي ظهرت في الأفراخ المعاملة كانت هناك رفرفة بالجناحين مع التواء الرقبة ومد الساقين إلى الخلف وكذلك ظهور الإفرازات من العين وفتحة الأنف بالمنقار وكذلك التغوط المتكرر (الجدول 1).

الجدول (1): تحديد الجرعة المميتة الوسطية للـ4-أمينوباييردين

النتيجة	القياسات
62.6 ملغم / كغم في الخلب	الجرعة المميتة الوسطية الجم-50
40-60-100 ملغم/كغم	مدى الجرعة
100 ملغم / كغم	أول جرعة
70 ملغم / كغم	آخر جرعة
10 ملغم / كغم	مقدار الصعود والنزول بالجرعة
(XXXXOXOX) 8	عدد الأفراخ المستخدمة
347 ثانية	وقت ظهور العلامات السمية
صعوبة في المشي والصياح ونفخ الريش وارجاع الرقبة إلى الخلف ورفرفة الجناحين بقوه ومد الساقين إلى الخلف مع ظهور نوبات عصبية شديدة ثم الشلل التام ثم الموت	علامات التسمم

X : موت الفرخ.

O : بقاء الفرخ حيا.

4-2: التجربة الثانية

تحديد الجرعة الفاعلة الوسطية Median Effective dose (الجف - 50) لـ 4-امينوبابيردين في إحداث الاختلاجات العصبية عن طريق الحقن في الخلب في أفراخ الدجاج

Up and Down Method

بعد عملية حقن مادة الـ 4-امينوبابيردين في خلب أفراخ الدجاج وعن طريق الصعود والنزول كانت الجف - 50 هي 32.63 ملغم/كغم من وزن الجسم وكان هناك ظهور لمجموعة من علامات التسمم والاختلاجات العصبية التي ذكرت آنفًا في أفراخ الدجاج المحقونة (الجدول 2).

الجدول (2): تحديد الجرعة الفاعلة الوسطية لـ 4-امينوبابيردين في إحداث الاختلاجات العصبية

القياسات	النتيجة
الجرعة الفاعلة الوسطية الجف-50	32.63 ملغم / كغم في الخلب
مدى الجرعة	$30-50 = 20$ ملغم / كغم
أول جرعة	50 ملغم / كغم
آخر جرعة	40 ملغم / كغم
مقدار الصعود والنزول بالجرعة	10 ملغم / كغم
عدد الأفراخ المستخدمة	(XXOXOX) 6
وقت ظهور الاختلاجات	520 ثانية
علامات التسمم	صعوبة في المشي والصياح ونفخ الريش وارجاع الرقبة إلى الخلف ورفرفة الجناحين بقوة ومد الساقين إلى الخلف مع ظهور نوبات عصبية شديدة ثم الشلل التام

X : ظهور الاختلاجات العصبية.

O : عدم ظهور الاختلاجات العصبية.

4-3: التجربة الثالثة:

تحديد الجرعة الفاعلة الوسطية الجف-50 للفينوباربิตال الضادة للأختلاجات عن طريق الحقن في العضل باستعمال طريقة الصعود والنزول Up and Down Method.

بعد عملية حقن الفينوباربิตال في العضل في أفراخ الدجاج وعن طريق عملية الصعود والنزول كانت الجف-50 هي 9.5 ملغم/كغم من وزن الجسم، وكان ذلك قبل 20 دقيقة من حقن

الفورامينوبيردين وكان هناك ظهور لبعض من علامات التسمم مماثل لتلك التي ظهرت في التجارب السابقة. (الجدول 3)

4-4: التجربة الرابعة:

تحديد الجرعة الفاعلة الوسطية الجف-50 للدايكلوفيناك الصادة للأختلاجات عن طريق الحقن في العضل باستعمال طريقة الصعود والنزول Up and Down Method.

بعد عملية حقن الدايكلوفيناك في العضل في أفراخ الدجاج وعن طريق عملية الصعود والنزول كانت الجف-50 هي 7.5 ملغم / كلغ من وزن الجسم، وكان ذلك قبل 60 دقيقة من حقن الـ 4-أمينوبيردين وكان هناك ظهور لبعض من علامات التسمم مماثل لتلك التي ظهرت في التجارب السابقة. (الجدول 4)

الجدول (3): تحديد الجرعة الفاعلة الوسطية للفينوباربيتال الصادة للأختلاجات

القياسات	النتيجة
الجرعة الفاعلة الوسطية الجف-50.	9.5 ملغم / كغم في العضل
مدى الجرعة	4-6-10 ملغم/كغم
أول جرعة	10 ملغم/ كغم
آخر جرعة	8 ملغم/ كغم
مقدار الصعود والنزول بالجرعة	2 ملغم/ كغم
عدد الأفراخ المستخدمة	(OOXOXO) 6
علامات التسمم	صعوبة في المشي والصياح ونفخ الريش وارجاع الرقبة إلى الخلف ورفرفة الجناحين بقوة ومد الساقين إلى الخلف مع ظهور نوبات عصبية شديدة ثم الشلل التام

X : ظهور الاختلاجات العصبية.

O : منع ظهور الاختلاجات العصبية.

الجدول (4): تحديد الجرعة الفاعلة الوسطية للدايكلوفيناك عن طريق الحقن في العضل

القياسات	النتيجة
الجرعة الفاعلة الوسطية الجف-50	7.5 ملغم /كغم في العضل
مدى الجرعة	6-4 ملغم/كغم
أول جرعة	10 ملغم/ كغم
آخر جرعة	6 ملغم/ كغم
مقدار الصعود والنزول بالجرعة	2 ملغم/ كغم
عدد الأفراخ المستخدمة	(OOOXOXO) 7
علامات التسمم	صعوبة في المشي والصياح ونفخ الريش وارجاع الرقبة إلى الخلف ورفرفة الجناحين بقوة ومد الساقين إلى الخلف مع ظهور نوبات عصبية شديدة ثم الشلل التام

X : ظهور الاختلاجات العصبية.

O : منع ظهور الاختلاجات العصبية.

4-5: التجربة الخامسة:

تحديد التداخل الدوائي بين الفينوباربيتال والدايكلوفيناك عند استخدامهما معًا بنسبة (0.5 : 0.5) في منع الاختلاجات العصبية الناتجة من حقن الـ 4-اميโนبايرودين (50 ملغم/كغم من وزن الجسم في الخلب) في أفراخ الدجاج وباستعمال تحليل الايزوبولوكرافيك

Isobolographic

حقن الجف-50 للدايكلوفيناك والفينوباربيتال و ذلك بإعطائهما سوياً بنسبة 0.5 : 0.5 من الجرعة الفاعلة الوسطية لكل دواء و كانت النتيجة للدايكلوفيناك هي 3.02 ملغم/كغم من وزن الجسم ، والفينوباربيتال 4.02 ملغم/كغم من وزن الجسم، وعند استخدام الورق البياني لتحليل هذه النتيجة وقعت نقطة التقائه هاتين الجرعتين على أسفل الخط الذي يصل بين الجرعتين الفاعلتين الوسطيتين للدايكلوفيناك والفينوباربيتال وفي تلك الحالة يكون التداخل من النوع التآزري (Synergism) بين الدايكلوفيناك والفينوباربيتال عند حقنهم معًا بنسبة 0.5 : 0.5 ، وكانت قيمة Δ المحسوبة من معادلة مؤشر التداخل تساوي 0.82 ، وهذه النتيجة تؤكد ما سبق ذكره. (الجدول 5) و(الشكل 4).

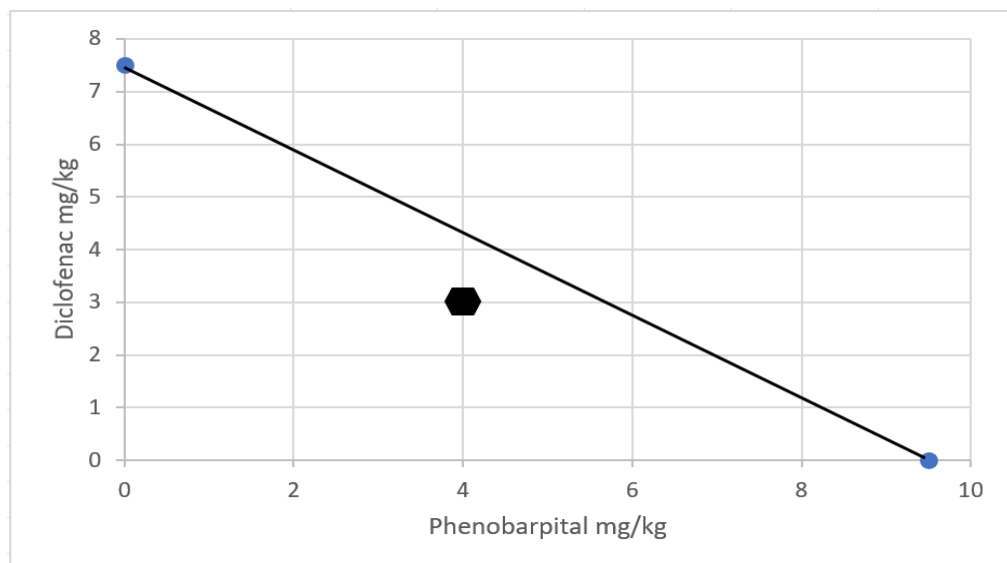
الجدول (5): تحديد التداخل الدوائي بين الفينوباربيتال والدايكلوفيناك عند استخدامهما معاً بنسبة (0.5 : 0.5) في الاختلاجات العصبية الناتجة من حقن الـ 4-امينوباييردين (50 ملغم/كغم من وزن الجسم في الخلب) في أفراخ الدجاج

الدايكلوفيناك	الفينوباربيتال	القياسات
3.03 ملغم / كغم في العضل	4.02 ملغم / كغم في العضل	الجرعة الفاعلة الوسطية الجف-50
1 ملغم/كغم = 3.74-4.74	1 ملغم/كغم = 4.73-5.73	مدى الجرعة
3.74 ملغم / كغم	4.73 ملغم / كغم	أول جرعة
3.73 ملغم / كغم	4.73 ملغم / كغم	آخر جرعة
1 ملغم / كغم	1 ملغم / كغم	مقدار الصعود والنزول بالجرعة
(XOXOX) 5	(XOXOX) 5	عدد الأفراخ المستخدمة
صعبية في المشي والصياح ونفخ الرئش وارجاع الرقبة إلى الخلف ورفرفة الجناحين بقوه ومد الساقين إلى الخلف مع ظهور نوبات عصبية شديدة ثم الشلل التام		علامات الاختلاجات العصبية
0.82		قيمة Y

X : ظهور الاختلاجات العصبية.

O : منع ظهور الاختلاجات العصبية.

الشكل(4): تحديد التداخل الدوائي بين الفينوباربيتال والدايكلوفيناك عند استخدامهما معاً بنسبة (0.5 : 0.5) في الاختلاجات العصبية الناتجة من حقن الـ 4-امينوباييردين (50 ملغم/كغم من وزن الجسم في الخلب) في أفراخ الدجاج



4-6: التجربة السادسة:

تأثير الفينوباربيتال والدايكلوفيناك في منع الاختلاجات العصبية الناتجة من حقن الـ 4-أمينوبايرودين (50 ملغم / كغم من وزن الجسم ، في الخلب) في أفراخ الدجاج أظهرت المجموعة المعاملة بالـ 4-أمينوبايرودين لوحده إلى ظهور الاختلاجات العصبية بنسبة 100% في الأفراخ المعاملة.

وأظهرت المجموعة المعاملة بالفينوباربيتال نقصان معنوي في النسبة المئوية ومنع حدوث الاختلاجات العصبية بالمقارنة مع مجموعة السيطرة ومجموعة الدايكلوفيناك، وأظهرت المجموعة المعاملة بالدايكلوفيناك زيادة معنوية في وقت حدوث الاختلاجات العصبية وانخفاض معنوي في عدد نوبات الاختلاجات العصبية بالمقارنة مع مجموعة السيطرة. (الجدول 6)

الجدول (6): تأثير الفينوباربيتال والدايكلوفيناك في منع الاختلاجات العصبية الناتجة من حقن 4-أمينوبايرودين (50 ملغم / كغم من وزن الجسم ، في الخلب) في أفراخ الدجاج

النسبة المئوية للاختلاجات العصبية %	عدد نوبات الاختلاجات العصبية	وقت ظهور الاختلاجات العصبية (ثانية) المعدل \pm الخطأ القياسي	المجموعات
(5/5) % 100	1.34 \pm 42.50	0.55 \pm 5.33	(مجموعة السيطرة) 4-أمينوبايرودين 50 ملغم/كغم
(5/0) % 0	*0.0 \pm 0.0	—	مجموعة الفينوباربيتال 9.5 ملغم/كغم
(5/5) % 100	*0.60 \pm 4.83	*0.55 \pm 15.66	مجموعة الدايكلوفيناك 7.5 ملغم/كغم

القيم تمثل المعدل \pm الخطأ القياسي
عدد الأفراخ المستخدمة في التجربة 5 / مجموعة
حقن الدايكلوفيناك 60 دقيقة قبل حقن 4-أمينوبايرودين بجرعة 50 ملغم/كغم من وزن الجسم في الخلب
حقن الفينوباربيتال 20 دقيقة قبل حقن 4-أمينوبايرودين بجرعة 50 ملغم/كغم من وزن الجسم في الخلب
* القيمة تختلف معنويًا مقارنة بالمجموعة الأولى (مجموعة السيطرة) عند مستوى معنوية ($\alpha > 0.05$)
أ القيمة تختلف معنويًا مقارنة بالمجموعة الثانية المعاملة بالفينوباربيتال بجرعة 9.5 ملغم/كغم في العضل
عند مستوى معنوية ($\alpha > 0.05$)

7-4: التجربة السابعة:

تأثير جرعة مختلفة من الـدايكلوفيناك في منع الاختلالات العصبية الناتجة من حقن

ـ 4-امينوبايرودين (50 ملغم / كغم من وزن الجسم ، في الخلب) في أفراخ الدجاج

أظهرت المجموعة المعاملة بالـ 4-امينوبايرودين لوحده إلى ظهور علامات الاختلالات العصبية بنسبة 100% في الأفراخ المعاملة، واتسمت علامات التسمم برفرفة الجناحين مع مد الساقين وإرجاع الرقبة إلى الخلف مع الصياح وإفراز اللعاب والتدمّع فضلاً عن نوبات عصبية تشنجية. (الجدول 7)

حقن الـدايكلوفيناك في العضل قبل 60 دقيقة من حقن 4-امينوبايرودين في الخلب في حين أظهرت المجاميع المعاملة بالـدايكلوفيناك بجرع مختلفة زيادة معنوية في وقت حدوث الاختلالات العصبية بالمقارنة مع مجموعة السيطرة، وأظهرت المجموعة المعاملة بجرعة 60 ملغم/كغم ، نقصان معنوي في وقت حدوث الاختلالات بالمقارنة مع جرعة 15 و 30 ملغم/كغم ، وأظهرت المجاميع المعاملة بالـدايكلوفيناك بجرع مختلفة انخفاض معنوي في عدد نوبات الاختلالات العصبية بالمقارنة مع مجموعة السيطرة، وكانت أفضل جرعة وقائية من الـدايكلوفيناك في تقليل الاختلالات العصبية هي 15 ملغم/كغم ؛ إذ قللت بشكل معنوي من ظهور نوبات الاختلالات العصبية بالمقارنة مع مجموعة السيطرة ومع جرع الـدايكلوفيناك الأخرى 60 و 30 ملغم/كغم. (الجدول 7)

8-4: التجربة الثامنة:

الاستجابة للألم بـاستعمال الفورمالين بتركيز 1 % في أفراخ الدجاج المعاملة بالـ 4-

ـ امينوبايرودين والـفينوباربيتال والـدايكلوفيناك:

أظهرت الأفراخ في جميع المجاميع انخفاض معنوي في المدة التي استغرقها الفرخ لرفع القدم اليمنى مقارنة مع مجموعة السيطرة، وأظهرت الأفراخ في المجموعة الرابعة والخامسة زيادة معنوية في المدة التي استغرقها الفرخ لرفع القدم اليمنى مقارنة مع المجموعة المعاملة بالفورمالين لوحده والمجموعة المعاملة 4-امينوبايرودين لوحده، وأظهرت المجموعة السادسة انخفاض معنوي في المدة التي استغرقها الفرخ مقارنة مع جميع المجاميع، وأوضحت الأفراخ في المجموعة المعاملة الـ 4-امينوبايرودين لوحده والمجموعة المعاملة مع الـ 4-امينوبايرودين والـفينوباربيتال، والمجموعة المعاملة مع الـ 4-امينوبايرودين والـدايكلوفيناك زيادة معنوية في عدد مرات رفع القدم اليمنى مقارنة مع مجموعة السيطرة، وأوضحت المجموعة الرابعة والخامسة

انخفاض معنوي في عدد مرات رفع القدم اليمنى مقارنة مع المجموعة الثانية والثالثة، وأظهرت المجموعة السادسة انخفاض معنوي في عدد مرات رفع القدم اليمنى مقارنة مع باقي المجاميع، وأوضحت المجموعة المعاملة بالفورمالين و4-أمينوبايرودين لوحده زيادة معنوية في أطول وقت لرفع القدم اليمنى مقارنة مع مجموعة السيطرة، في حين أظهرت باقي المجاميع انخفاض معنوي في أطول وقت لرفع القدم اليمنى مقارنة مع مجموعة 4-أمينوبايرودين لوحده والفورمالين لوحده.(الجدول 8).

أظهرت أفراخ مجموعة الفورمالين ومجموعة 4-أمينوبايرودين لوحده ومجموعة 4-أمينوبايرودين والفينوباربيتال زيادة معنوية في التغيير في سمك القدم مقارنة مع مجموعة السيطرة، في حين أظهرت أفراخ المجموعة المعاملة بالـ 4-أمينوبايرودين والدايكلوفيناك ومجموعة 4-أمينوبايرودين والفينوباربيتال والدايكلوفيناك إنخفاض معنوي في التغيير في سمك القدم مقارنة مع المجموعة المعاملة بالفورمالين لوحده والمجموعة المعاملة بالـ 4-أمينوبايرودين لوحده (الجدول 9).

وكان النسبة المئوية للتأثير الضاد للالتهابات في المجموعة المعاملة مع 4-أمينوبايرودين والفينوباربيتال والمجموعة المعاملة مع 4-أمينوبايرودين والدايكلوفيناك والمجموعة المعاملة مع 4-أمينوبايرودين والفينوباربيتال والدايكلوفيناك 24% و70% على التوالي (الجدول 9).

الجدول (7): تأثير جرع مختلفة من الدايكلوفيناك في من الاختلالات العصبية الناتجة من حقن 4-امينوبابيردين (50 ملغم / كغم من وزن الجسم ، في الخلب) في أفراخ الدجاج

النسبة المئوية للاختلالات العصبية %	عدد نوبات الاختلالات العصبية	وقت ظهور الاختلالات العصبية (ثانية) المعدل \pm الخطأ القياسي	المجموعات
(6/6) 100%	0.96 \pm 45.01	0.87 \pm 6.65	(مجموعة السيطرة) 4-امينوبابيردين 50 ملغم/كغم في الخلب
(6/6) 100%	*0.40 \pm 1.16	*0.51 \pm 18.00	مجموعة 4- امينوبابيردين والدايكلوفيناك 15 ملغم/كغم في العضل
(6/6) 100%	*0.22 \pm 19.5	*0.22 \pm 18.50	مجموعة 4- امينوبابيردين والدايكلوفيناك 30 ملغم/كغم في العضل
(6/6) 100%	*0.49 \pm 15.73	*0.49 \pm 15.66	مجموعة 4- امينوبابيردين والدايكلوفيناك 60 ملغم/كغم في العضل

القيم تمثل المعدل \pm الخطأ القياسي
عدد الأفراخ المستخدمة في التجربة 6 / مجموعة

حقن الدايكلوفيناك 60 دقيقة قبل حقن 4-امينوبابيردين بجرعة 50 ملغم/كغم من وزن الجسم في الخلب

* القيمة تختلف معنوياً مقارنة بالمجموعة الأولى (مجموعة السيطرة) عند مستوى معنوية ($\alpha > 0.05$)
أ القيمة تختلف معنوياً مقارنة بالمجموعة الثانية المعاملة بالدايكلوفيناك بجرعة 15 ملغم/ كغم في العضل عند مستوى معنوية ($\alpha > 0.05$)

ب القيمة تختلف معنوياً مقارنة بالمجموعة الثالثة المعاملة بالدايكلوفيناك بجرعة 30 ملغم/ كغم في العضل
عند مستوى معنوية ($\alpha > 0.05$)

الجدول (8): الاستجابة للألم باستعمال الفورمالين بتركيز 1% في أفراخ الدجاج المعاملة بالـ4-أمينوبايرودين والفينوباربيتال والدايكلوفيناك

أطول وقت لرفع القدم اليمنى (بالثانية)	عدد مرات رفع القدم اليمنى	المدة التي استغرقها الفرخ لرفع القدم اليمنى (بالثانية)	المجموعات
0.09 ±0.23	0.24 ±0.60	3.30 ±164.0	صفر (مجموعة السيطرة) محلول الملح الفسلجي 5 مل/كغم
*0.24 ± 1.60	* 0.37 ± 6.20	*0.92 ±15.40	الفورمالين 0.5 مل
*0.24 ± 1.60	* 0.31 ± 6.00	* 0.70 ± 16.00	4-أمينوبايرودين 50 ملغم/كغم
0.05 ±0.30 أب	* 0.24 ± 2.40	3.96 ± 85.80 *أب	4-أمينوبايرودين والفينوباربيتال 9.5 ملغم/كغم
0.02 ± 0.27 أب	* 0.24 ± 1.40 ج	3.07 ±148.40 *أب ج	4-أمينوبايرودين والدايكلوفيناك 7.5 ملغم/كغم
0.00±0.00 أب	0.00±0.00 أب ج د	—	4-أمينوبايرودين والفينوباربيتال والدايكلوفيناك

القيم تمثل المعدل ± الخطأ القياسي

عدد الأفراخ المستخدمة في التجربة 5 / مجموعة

حقن الدايكلوفيناك 60 دقيقة قبل حقن 4-أمينوبايرودين بجرعة 50 ملغم/كغم من وزن الجسم

حقن الفينوباربيتال 20 دقيقة قبل حقن 4-أمينوبايرودين بجرعة 50 ملغم/كغم من وزن الجسم

* القيمة تختلف معنوياً مقارنة بالمجموعة الأولى (مجموعة السيطرة) عند مستوى معنوية ($\alpha > 0.05$)

أ القيمة تختلف معنوياً مقارنة بالمجموعة الثانية المعاملة بالفورمالين عند مستوى معنوية ($\alpha > 0.05$)

ب القيمة تختلف معنوياً مقارنة بالمجموعة الثالثة المعاملة 4-أمينوبايرودين بجرعة 50 ملغم/كغم في

الخلب عند مستوى معنوية ($\alpha > 0.05$)

ج القيمة تختلف معنوياً مقارنة بالمجموعة الرابعة المعاملة بالفينوباربيتال بجرعة 9.5 ملغم/كغم في

العضل عند مستوى معنوية ($\alpha > 0.05$)

د القيمة تختلف معنوياً مقارنة بالمجموعة الخامسة المعاملة بالدايكلوفيناك بجرعة 7.5 ملغم/كغم في

العضل عند مستوى معنوية ($\alpha > 0.05$)

الجدول (9): التأثير الضاد للالتهاب للفينوباربيتال والدايكلوفيناك في الأفراخ المعاملة مع

4-أمينوباييردين

النسبة المئوية	التغير في سمك القدم	المجموعات
%0	0.01±0.20	صفر (مجموعة السيطرة) محلول الملح الفسلجي
%270	* 0.01±0.74	الفورمالين 0.5 مل
%1	*0.01±0.73	4-أمينوباييردين 50 ملغم/كغم
%24	*0.10±0.56 أ ب	4-أمينوباييردين والفينوباربيتال 9.5 ملغم/كغم
%70	0.01±0.22 أ ب ج	4-أمينوباييردين والدايكلوفيناك 7.5 ملغم/كغم
%70	0.01±0.22 أ ب ج	4-أمينوباييردين والفينوباربيتال والدايكلوفيناك

القيم تمثل المعدل \pm الخطأ القياسي

عدد الأفراخ المستخدمة في التجربة 5 / مجموعة

حقن الدايكلوفيناك 60 دقيقة قبل حقن 4-أمينوباييردين بجرعة 50 ملغم/كغم من وزن الجسم

حقن الفينوباربيتال 20 دقيقة قبل حقن 4-أمينوباييردين بجرعة 50 ملغم/كغم من وزن الجسم

* القيمة تختلف معنويا مقارنة بالمجموعة الأولى (مجموعة السيطرة) عند مستوى معنوية ($\alpha > 0.05$)أ القيمة تختلف معنويا مقارنة بالمجموعة الثانية المعاملة بالفورمالين عند مستوى معنوية ($\alpha > 0.05$)

ب القيمة تختلف معنويا مقارنة بالمجموعة الثالثة المعاملة 4- أمينوباييردين بجرعة 50 ملغم/ كغم في

الخلب عند مستوى معنوية ($\alpha > 0.05$)

ج القيمة تختلف معنويا مقارنة بالمجموعة الرابعة المعاملة بالفينوباربيتال بجرعة 9.5 ملغم/ كغم في

العضل عند مستوى معنوية ($\alpha > 0.05$)

4-9: التجربة التاسعة

تأثير الفينوباربيتال والدايكلوفيناك في النشاط الحركي في الأفراخ الدجاج المعاملة بالـ 4-أمينوبايرودينين بعد ساعة واحدة وثلاث ساعات من المعاملة واختبار الاستجابة لعدم الحركة الشدي

أظهرت الأفراخ المعاملة 4-أمينوبايرودينين لوحده بعد ساعة واحدة والمجموعة المعاملة 4-أمينوبايرودينين والفينوباربيتال والمجموعة المعاملة 4-أمينوبايرودينين والفينوباربيتال والدايكلوفيناك زيادة معنوية في وقت بدء الحركة مقارنة مع مجموعة السيطرة، وأظهرت الأفراخ في جميع المجاميع انخفاض معنوي في وقت بدء الحركة مقارنة مع المجموعة المعاملة 4-أمينوبايرودينين لوحده، وأظهرت المجموعة المعاملة 4-أمينوبايرودينين والدايكلوفيناك انخفاض معنوي مقارنة مع مجموعة المعاملة 4-أمينوبايرودينين والفينوباربيتال، في حين بينت المجموعة المعاملة 4-أمينوبايرودينين والفينوباربيتال والدايكلوفيناك زيادة معنوية في وقت بدء الحركة مقارنة مع مجموعة 4-أمينوبايرودينين والدايكلوفيناك. (الجدول 10)

أوضحت المجموعة المعاملة 4-أمينوبايرودينين والمجموعة المعاملة 4-أمينوبايرودينين والفينوباربيتال نقصان معنوي في عدد الخطوط التي يقطعها الفرخ مقارنة مع مجموعة السيطرة، في حين أظهرت المجموعة المعاملة 4-أمينوبايرودينين والدايكلوفيناك والمجموعة المعاملة 4-أمينوبايرودينين والفينوباربيتال والدايكلوفيناك زيادة معنوية في عدد الخطوط التي يقطعها الفرخ مقارنة مع المجموعة المعاملة 4-أمينوبايرودينين لوحده والمجموعة المعاملة 4-أمينوبايرودينين والفينوباربيتال، بينت الأفراخ المعاملة 4-أمينوبايرودينين لوحده انخفاض معنوي في الاستجابة لعدم الحركة الشدي مقارنة مع مجموعة السيطرة في حين أظهرت الأفراخ المعاملة 4-أمينوبايرودينين والفينوباربيتال زيادة معنوية مقارنة مع مجموعة السيطرة ومجموعة 4-أمينوبايرودينين لوحده وبينت الأفراخ المعاملة 4-أمينوبايرودينين والدايكلوفيناك انخفاض معنوي مقارنة مع مجموعة 4-أمينوبايرودينين والفينوباربيتال، وأظهرت المجموعة المعاملة مع 4-أمينوبايرودينين والفينوباربيتال والدايكلوفيناك انخفاض معنوي مقارنة مع مجموعة السيطرة ومجموعة 4-أمينوبايرودينين والفينوباربيتال. (الجدول 10)

وبعد ثلاث ساعات أظهرت الأفراخ المعاملة 4-أمينوبايرودينين لوحده والمجموعة المعاملة 4-أمينوبايرودينين والفينوباربيتال والمجموعة المعاملة 4-أمينوبايرودينين والفينوباربيتال والدايكلوفيناك زيادة معنوية في وقت بدء الحركة مقارنة مع مجموعة السيطرة، وأظهرت المجموعة المعاملة 4-أمينوبايرودينين والدايكلوفيناك انخفاض معنوي مقارنة مع مجموعة المعاملة مع 4-أمينوبايرودينين والفينوباربيتال (الجدول 11) في حين أظهرت الأفراخ المعاملة مع

4-امينوبايريدين والفينوباربيتال والدايكلوفيناك انخفاض معنوي مقارنة مع مجموعة 4-امينوبايريدين لوحده ومجموعة 4-امينوبايريدين والفينوباربيتال في وقت بدء الحركة. وأوضحت المجموعة المعاملة 4-امينوبايريدين والمجموعة المعاملة 4-امينوبايريدين والفينوباربيتال ومجموعة 4-امينوبايريدين والدايكلوفيناك والفينوباربيتال نقصان معنوي في عدد الخطوط التي يقطعها الفرخ مقارنة مع مجموعة السيطرة، في حين أظهرت المجموعة المعاملة 4-امينوبايريدين والدايكلوفيناك زيادة معنوية في عدد الخطوط التي يقطعها الفرخ مقارنة مع المجموعة المعاملة 4-امينوبايريدين لوحده والمجموعة المعاملة مع 4-امينوبايريدين والفينوباربيتال، وبينت المجموعة المعاملة مع 4-امينوبايريدين والدايكلوفيناك زيادة معنوية في اختبار الاستجابة لعدم الحركة الشدي مقارنة مع المجموعة المعاملة مع 4-امينوبايريدين لوحده، وبينت المجموعة المعاملة مع 4-امينوبايريدين والدايكلوفيناك والمجموعة المعاملة مع 4-امينوبايريدين والدايكلوفيناك والفينوباربيتال نقصان معنوي في اختبار الاستجابة لعدم الحركة الشدي مقارنة مع المجموعة المعاملة 4-امينوبايريدين والفينوباربيتال. (الجدول 11)

الجدول (10): تأثير الفينوباربิตال والدايكلوفيناك في النشاط الحركي لأفراخ الدجاج المعاملة مع 4-أمينوبايرويدين بعد ساعة واحدة من الحقن واختبار الاستجابة لعدم الحركة الشدي

المجموعات	وقت بدء الحركة (بالثاني)	عدد الخطوط التي يقطعها الفرخ	الاستجابة لعدم الحركة الشدي (بالثاني)
صفر (مجموعة السيطرة) محلول الملح الفسلجي	0.24 ± 1.40	0.24 ± 5.60	0.31 ± 2.00
4-أمينوبايرويدين 50 ملغم/كغم	* 1.07 ± 24.60	* 0.24 ± 0.40	*0.20 ± 1.20
4-أمينوبايرويدين والفينوباربิตال 9.5 ملغم/كغم	* 0.37 ± 7.80	*0.48 ± 0.80	* 0.31 ± 5.00
4-أمينوبايرويدين والدايكلوفيناك 7.5 ملغم/كغم	0.20 ± 1.20	0.54 ± 4.60	0.24 ± 1.40 ب
4-أمينوبايرويدين والفينوباربิตال والدايكلوفيناك	0.50 ± 6.60 ج	0.40 ± 4.60	0.20 ± 1.20 ب

القيم تمثل المعدل \pm الخطأ القياسي

عدد الأفراخ المستخدمة في التجربة 5 / مجموعة

حققت الدايكلوفيناك 60 دقيقة قبل حقن 4-أمينوبايرويدين بجرعة 50 ملغم/كغم من وزن الجسم في الخلب

حققت الفينوباربิตال 20 دقيقة قبل حقن 4-أمينوبايرويدين بجرعة 50 ملغم/كغم من وزن الجسم في الخلب

* القيمة تختلف معنويا مقارنة بالمجموعة الأولى (مجموعة السيطرة) عند مستوى معنوية ($\alpha > 0.05$)

أ القيمة تختلف معنويا مقارنة بالمجموعة الثانية المعاملة 4-أمينوبايرويدين بجرعة 50 ملغم/كغم في الخلب عند مستوى معنوية ($\alpha > 0.05$)

ب القيمة تختلف معنويا مقارنة بالمجموعة الثالثة المعاملة بالفينوباربิตال بجرعة 9.5 ملغم/كغم في العضل عند مستوى معنوية ($\alpha > 0.05$)

ج القيمة تختلف معنويا مقارنة بالمجموعة الرابعة المعاملة بالدايكلوفيناك بجرعة 7.5 ملغم/كغم في العضل عند مستوى معنوية ($\alpha > 0.05$)

الجدول (11): تأثير الفينوباربิตال والدايكلوفيناك في النشاط الحركي لأفراخ الدجاج المعاملة مع 4-أمينوبيريدين بعد ثلاث ساعات من الحقن واختبار الاستجابة لعدم الحركة الشدي

المجموعات	وقت بدء الحركة (بالثواني)	عدد الخطوط التي يقطعها الفرخ	الاستجابة لعدم الحركة الشدي (بالثواني)
صفر (مجموعة السيطرة) محلول الملح الفسلجي	0.10 ± 0.90	0.40 ± 5.40	0.20 ± 1.80
4-أمينوبيريدين 50 ملغم/كغم	* 3.12 ± 77.20	* 0.00 ± 0.00	0.20 ± 1.20
4-أمينوبيريدين والفينوباربิตال 9.5 ملغم/كغم	* 1.36 ± 22.60	* 0.20 ± 0.20	* 0.31 ± 5.00
4-أمينوبيريدين والدايكلوفيناك 7.5 ملغم/كغم	0.20 ± 1.20	0.31 ± 5.00 أ ب	0.24 ± 1.40 ب
4-أمينوبيريدين والفينوباربิตال والدايكلوفيناك	0.70 ± 20.00 أ ج	0.20 ± 0.30 ج	0.20 ± 1.20 ب

القيم تمثل المعدل ± الخطأ القياسي

عدد الأفراخ المستخدمة في التجربة 5 / مجموعة

حققت الدايكلوفيناك 60 دقيقة قبل حقن 4-أمينوبيريدين بجرعة 45 ملغم/كغم من وزن الجسم في الخلب

حققت الفينوباربิตال 20 دقيقة قبل حقن 4-أمينوبيريدين بجرعة 45 ملغم/كغم من وزن الجسم في الخلب

* القيمة تختلف معنوياً مقارنة بالمجموعة الأولى (مجموعة السيطرة) عند مستوى معنوية ($A > 0.05$)

أ القيمة تختلف معنوياً مقارنة بالمجموعة الثانية المعاملة 4-أمينوبيريدين بجرعة 50 ملغم/كغم في الخلب عند مستوى معنوية ($A > 0.05$)

ب القيمة تختلف معنوياً مقارنة بالمجموعة الثالثة المعاملة بالفينوباربิตال بجرعة 9.5 ملغم/كغم في العضل عند مستوى معنوية ($A > 0.05$)

ج القيمة تختلف معنوياً مقارنة بالمجموعة الرابعة المعاملة بالدايكلوفيناك بجرعة 7.5 ملغم/كغم في العضل عند مستوى معنوية ($A > 0.05$)

10-4: التجربة العاشرة

تأثير الفينوباربิตال والدايكلوفيناك في تركيز الكلوتاثيون والمالوندайлديهيد والكولين استرير في بلازما الدم والدماغ للأفراخ المعاملة بالـ 4-أمينوبايرودينين بعد ثلاثة ساعات من المعاملة

أ- قياس مستوى الكلوتاثيون في الدماغ وبلازما الدم

أظهرت الأفراخ المعاملة 4-أمينوبايرودينين لوحده انخفاضاً معنوياً في تركيز الكلوتاثيون في بلازما الدم والدماغ مقارنة مع مجموعة السيطرة المعاملة بالمحلول الملحي الفسلجي؛ إذ كانت نسبة التثبيط للكلوتاثيون في البلازما والدماغ 30% و 21% على التوالي، وأظهرت الأفراخ المعاملة مع 4-أمينوبايرودينين والفينوباربิตال ومجموعة 4-أمينوبايرودينين والدايكلوفيناك ومجموعة 4-أمينوبايرودينين والفينوباربิตال والدايكلوفيناك زيادة معنوية مقارنة مع مجموعة 4-أمينوبايرودينين لوحده في تركيز الكلوتاثيون في البلازما، وأوضحت مجموعة الأفراخ المعاملة مع 4-أمينوبايرودينين والفينوباربิตال والدايكلوفيناك زيادة معنوية في تركيز الكلوتاثيون في الدماغ مقارنة مع المجموعة المعاملة مع 4-أمينوبايرودينين لوحده.(الجدول 12)

ب- قياس مستوى المالوندайлديهيد في الدماغ وبلازما الدم:

أظهرت الأفراخ في جميع المجاميع زيادة معنوية في تركيز المالوندайлديهيد في بلازما الدم بنسبة 34% و 23% و 28% و 24% على التوالي مقارنة مع مجموعة السيطرة المعاملة مع المحلول الملحي الفسلجي (الجدول 13)، وبينت المجموعة المعاملة مع 4-أمينوبايرودينين والفينوباربิตال ومجموعة 4-أمينوبايرودينين والدايكلوفيناك ومجموعة 4-أمينوبايرودينين والفينوباربิตال والدايكلوفيناك انخفاضاً معنويّاً بالمقارنة مع مجموعة 4-أمينوبايرودينين لوحده في بلازما الدم، وأوضحت المجموعة المعاملة 4-أمينوبايرودينين لوحده ومجموعة 4-أمينوبايرودينين والفينوباربิตال ومجموعة 4-أمينوبايرودينين والدايكلوفيناك والمجموعة المعاملة 4-أمينوبايرودينين والفينوباربิตال والدايكلوفيناك زيادة معنوية في تركيز المالوندайлديهيد في الدماغ بنسبة 82% و 25% و 28% و 26% على التوالي مقارنة مع مجموعة السيطرة المعاملة مع المحلول الملحي الفسلجي، وأظهرت المجموعة المعاملة مع 4-أمينوبايرودينين والفينوباربิตال ومجموعة 4-أمينوبايرودينين والدايكلوفيناك ومجموعة 4-أمينوبايرودينين والفينوباربิตال والدايكلوفيناك انخفاضاً معنويّاً بالمقارنة مع مجموعة 4-أمينوبايرودينين لوحده (الجدول 13).

ج- قياس مستوى الكولين استريز في الدماغ وبلازما الدم:

أظهرت الأفراخ المعاملة 4-أمينوبايرويدين لوحده والمجموعة المعاملة 4-أمينوبايرويدين والدايكلوفيناك انخفاضاً معنوياً في مستوى الباهة في بلازما الدم بنسبة 28% و19% بالتالي مقارنة مع مجموعة السيطرة المعاملة بال محلول الملحي الفسلجي (الجدول 14) ، وأظهرت المجموعة المعاملة مع 4-أمينوبايرويدين والفينوباربيتال زيادة معنوية مقارنة مع المجموعة المعاملة مع 4-أمينوبايرويدين لوحده، وبينت المجموعة المعاملة 4-أمينوبايرويدين والدايكلوفيناك انخفاضاً معنوياً مقارنة مع 4-أمينوبايرويدين والفينوباربيتال، وأظهرت المجموعة المعاملة مع 4-أمينوبايرويدين والدايكلوفيناك والفينوباربيتال زيادة معنوية في مستوى الكولين استريز في البلازما مقارنة مع المجموعة المعاملة مع 4-أمينوبايرويدين لوحده ومجموعة 4-أمينوبايرويدين والدايكلوفيناك (الجدول 14)، وبينت مجموعة الأفراخ المعاملة مع 4-أمينوبايرويدين لوحده انخفاضاً معنوياً في مستوى الباهة للكولين استريز في الدماغ بنسبة 39% مقارنة مع مجموعة السيطرة المعاملة مع محلول الملحي الفسلجي وبينت المجموعة المعاملة مع 4-أمينوبايرويدين والفينوباربيتال زيادة معنوية مقارنة مع المجموعة المعاملة بال 4-أمينوبايرويدين لوحده (الجدول 14)، وأوضحت المجموعة المعاملة مع 4-أمينوبايرويدين والدايكلوفيناك انخفاضاً معنوياً بنسبة 38% مقارنة مع مجموعة السيطرة المعاملة بال محلول الملحي الفسلجي ومجموعة 4-أمينوبايرويدين والفينوباربيتال، وأظهرت المجموعة المعاملة مع 4-أمينوبايرويدين والدايكلوفيناك والفينوباربيتال زيادة معنوية في مستوى الباهة للكولين استريز في الدماغ مقارنة مع المجموعة المعاملة مع 4-أمينوبايرويدين لوحده والمجموعة المعاملة مع 4-أمينوبايرويدين والدايكلوفيناك. (الجدول 14).

الجدول (12): تأثير الفينوباربيتال والدايكلوفيناك في تركيز الكلوتاينون في بلازما الدم والدماغ لأفراخ الدجاج المعاملة ب 4-أمينوبايرويدين بعد ثلث ساعات من المعاملة

النسبة المئوية للانخفاض في الدماغ %	تركيز الكلوتاينون في الدماغ مايكرومول / غم	النسبة المئوية للانخفاض في بلازما الدم %	تركيز الكلوتاينون في بلازما الدم مايكرومول / مل	المجموعات
—	0.05 ± 0.62	—	0.06 ± 0.71	(مجموعة السيطرة) محلول الملحي الفسلجي
% 21	*0.02 ± 0.49	%30	* 0.04 ± 0.50	4-أمينوبايرويدين 50 ملغم/كغم
% 6	0.04 ± 0.58	—	* 0.03 ± 0.71	4-أمينوبايرويدين والفينوباربيتال 9.5 ملغم/كغم
% 15	0.01 ± 0.53	% 4	* 0.05 ± 0.68	4-أمينوبايرويدين والدايكلوفيناك 7.5 ملغم/كغم
—	* 0.02 ± 0.62	%1	* 0.05 ± 0.70	4-أمينوبايرويدين والفينوباربيتال والدايكلوفيناك

القيم تمثل المعدل ± الخطأ القياسي

عدد الأفراخ المستخدمة في التجربة 6 / مجموعة

حققت الدايكلوفيناك 60 دقيقة قبل حقن 4-أمينوبايرويدين بجرعة 50 ملغم/كغم من وزن الجسم في الخلب

حققت الفينوباربيتال 20 دقيقة قبل حقن 4-أمينوبايرويدين بجرعة 50 ملغم/كغم من وزن الجسم في الخلب

* القيمة تختلف معنويا مقارنة بالمجموعة الأولى (مجموعة السيطرة) عند مستوى معنوية ($\alpha > 0.05$) أ القيمة تختلف معنويا مقارنة بالمجموعة الثانية المعاملة 4-أمينوبايرويدين بجرعة 50 ملغم/كغم في

الخلب عند مستوى معنوية ($\alpha > 0.05$)

ب القيمة تختلف معنويا مقارنة بالمجموعة الثالثة المعاملة بالفينوباربيتال بجرعة 9.5 ملغم/كغم في

العضل عند مستوى معنوية ($\alpha > 0.05$)

ج القيمة تختلف معنويا مقارنة بالمجموعة الرابعة المعاملة بالدايكلوفيناك بجرعة 7.5 ملغم/كغم في العضل عند مستوى معنوية ($\alpha > 0.05$)

الجدول (13): تأثير الفينوباربيتال والدايكلوفيناك في تركيز المالونديالديهايد في بلازما الدم والدماغ لأفراخ الدجاج المعاملة بـ 4-أمينوبايرويدين بعد ثلاثة ساعات من المعاملة

النسبة المئوية لارتفاع في الدماغ %	تركيز المالونديالديهايد في الدماغ نانومول / غم	النسبة المئوية لارتفاع في بلازما الدم %	تركيز المالونديالديهايد في بلازما الدم نانومول / مل	المجموعات
—	0.02 ± 0.84	—	0.01 ± 0.86	(مجموعة السيطرة) المحلول الملحي الفسلجي
% 82	* 0.08 ± 1.53	% 34	* 0.05 ± 1.30	4-أمينوبايرويدين 50 ملغم/كغم
% 25	0.03 ± 1.12 * أ	% 23	* 0.03 ± 1.12 * أ	4-أمينوبايرويدين والفينوباربيتال 9.5 ملغم/كغم
% 28	0.06 ± 1.16 * أ	% 28	0.03 ± 1.19 * أ	4-أمينوبايرويدين والدايكلوفيناك 7.5 ملغم/كغم
% 26	* 0.07 ± 1.13 أ	% 24	* 0.03 ± 1.13 أ	4-أمينوبايرويدين والفينوباربيتال والدايكلوفيناك

القيمة تمثل المعدل ± الخطأ القياسي

عدد الأفراخ المستخدمة في التجربة 6 / مجموعة

حققت الدايكلوفيناك 60 دقيقة قبل حقن 4-أمينوبايرويدين بجرعة 50 ملغم/كغم من وزن الجسم في الخلب

حققت الفينوباربيتال 20 دقيقة قبل حقن 4-أمينوبايرويدين بجرعة 50 ملغم/كغم من وزن الجسم في الخلب

* القيمة تختلف معنوياً مقارنة بالمجموعة الأولى (مجموعة السيطرة) عند مستوى معنوية ($\alpha > 0.05$)

أ القيمة تختلف معنوياً مقارنة بالمجموعة الثانية المعاملة 4-أمينوبايرويدين بجرعة 50 ملغم/كغم في

الخلب عند مستوى معنوية ($\alpha > 0.05$)

ب القيمة تختلف معنوياً مقارنة بالمجموعة الثالثة المعاملة بالفينوباربيتال بجرعة 9.5 ملغم/كغم في

العضل عند مستوى معنوية ($\alpha > 0.05$)

ج القيمة تختلف معنوياً مقارنة بالمجموعة الرابعة المعاملة بالدايكلوفيناك بجرعة 7.5 ملغم/كغم في العضل

عند مستوى معنوية ($\alpha > 0.05$)

الجدول (14): قياس مستوى الكولين استريز في الدماغ وبلازم الدم لأفراخ الدجاج المعاملة

ب-4-امينوبابيريدين

النسبة المئوية للانخفاض في الدماغ %	التغير في مستوى الباها للكولين استريز في الدماغ 30/ دقيقة	النسبة المئوية للانخفاض في بلازم الدم %	التغير في مستوى الباها للكولين استريز في بلازم الدم في 30/ دقيقة	المجموعات
—	0.08±1.96	—	0.05±1.80	(مجموعة السيطرة) المحلول الملحي الفلجي
% 39	*0.05±1.19	% 28	*0.05±1.29	4-امينوبابيريدين 50 ملغم/كغم
% 5	0.03±1.87	% 1	0.07±1.79	4-امينوبابيريدين والفينوباربيتال 9.5 ملغم/كغم
% 38	0.08±1.22 ب*	% 19	*0.07±1.45 ب	4-امينوبابيريدين و الديايكلوفيناك 7.5 ملغم/كغم
% 4	0.02±1.89 ج	% 2	0.07±1.77 ج	4-امينوبابيريدين والفينوباربيتال و الديايكلوفيناك

القيم تمثل المعدل \pm الخط القياسي

عدد الأفراخ المستخدمة في التجربة 6 / مجموعة

حققت الديايكلوفيناك 60 دقيقة قبل حقن 4-امينوبابيريدين بجرعة 50 ملغم/كغم من وزن الجسم في الخلب

حققت الفينوباربيتال 20 دقيقة قبل حقن 4-امينوبابيريدين بجرعة 50 ملغم/كغم من وزن الجسم في الخلب

* القيمة تختلف معنويا مقارنة بالمجموعة الأولى (مجموعة السيطرة) عند مستوى معنوية ($\alpha > 0.05$)

أ القيمة تختلف معنويا مقارنة بالمجموعة الثانية المعاملة 4- امينوبابيريدين بجرعة 50 ملغم/ كغم في

الخلب عند مستوى معنوية ($\alpha > 0.05$)

ب القيمة تختلف معنويا مقارنة بالمجموعة الثالثة المعاملة بالفينوباربيتال بجرعة 9.5 ملغم/ كغم في

العضل عند مستوى معنوية ($\alpha > 0.05$)

ج القيمة تختلف معنويا مقارنة بالمجموعة الرابعة المعاملة بـ الـ دـ يـاـيـكـلـوـفـيـنـاك بـ جـرـعـة 7.5 مـلـغم/ كـغم في العـضـل

عـنـدـ مـسـتـوـيـ مـعـنـوـيـةـ ($\alpha > 0.05$)

الفصل الخامس

المناقشة

Discussion

الفصل الخامس

المناقشة

Discussion

هدفت هذه الدراسة إلى إعطاء 4-أمينوبايرويدين لاستحداث الاختلاجات العصبية في أفراخ الدجاج وملحوظة وتقدير التداخل بين 4-أمينوبايرويدين مع ضد الالتهاب الغير ستيرويدي الديكلوفيناك وضد الاختلاج الفينوباربิตال وذلك لاستعمال هذه الأدوية بشكل منفرد أو مع بعض إمكانية منع حدوث الاختلاجات العصبية ومن ثم تحديد تداخل هذه الأدوية في نموذج أفراخ الدجاج للأغراض البحثية والتطبيقية، فضلاً عن ملاحظة السلوك العصبي وجزء من الفحوصات الكيموحيوية التي تنتج عن هذا التداخل.

واقتصرت الدراسات السابقة على استخدام الجرذان (Erdogan *et al.*, 2023) كنموذج لإنشاء اختلاجات عصبية واستعمال أدوية ضادة للاختلاجات العصبية لمنع وتقدير حدوثها ومن هذه الدراسات السابقة اتت الفكرة لاستخدام أفراخ الدجاج كنموذج لعمل دراسة للاختلاجات العصبية مستحدثة بالـ 4-أمينوبايرويدين بشكل تجاري وملحوظة عمل وفعالية الديكلوفيناك والفينوباربิตال في ابطال تكوين الاختلاجات العصبية على مستوى الأعراض والسلوك العصبي والتغيرات الكيموحيوية.

وقد أظهر التعرض للـ 4-أمينوبايرويدين عند الإنسان والحيوان إلى وجود اختلاجات عصبية نتيجة التغيير في تركيز الناقلات العصبية مثل الكابا GABA والسيروتونين (Mercimek-Mahmutoglu *et al.*, 2015; Turrin and Rivest, 2004)

ومثال على ذلك يمكن لـ IL-1 β الذي تنتجه الخلايا الدبقية الصغيرة Microglia أن يعزز تيارات Ca_{2+} التي تتوسط NMDA بسطح الخلية من النوع IL-1R1 الموجدة على تفرعات الخلايا الهرمية (Viviani *et al.*, 2007)، ان مستقبلات NMDA قبل التشابك في الخلايا العصبية هي منبهات لإطلاق الكلوتاميت بوساطة Ca_{2+} ، وعندما يتم تنشيطها بواسطة عوامل التهابية مثل IL-1 β و HMGB1 يمكن أن تسبب زيادة في Ca_{2+} داخل الخلايا مما يؤدي إلى زيادة فرط الاستثارة في خارج الخلية واحتلاجات عصبية من هذه الزيادة (Balosso *et al.*, 2009).

يعمل الديكلوفيناك عن طريق تثبيط إنزيمات COX-1 و COX-2؛ إذ يمنع إفراز حمض الأراسيونيك ومن ثم إطلاق البروستاكلاندين الذي يؤدي دوراً في الالتهاب (Smyth

(*et al.*, 2009)، وهو مشتق من حامض فينيل أسيتيك phenylacetic acid، وتبطط ضادات الالتهاب غير الستيرويدية إنزيمات الأكسدة الحلقية COX-1 وCOX-2 وهو الإنزيم المسؤول عن إنتاج البروستاكلاندين PGs؛ إذ يُسمم البروستاكلاندين في إشارات الالتهاب والآلم. وقد أثبتت الدراسات أن كلاً من جرعات 5 و 10 ملغم/كغم من الديايكلوفيناك الصوديوم تقلل من شدة نوبات الصرع الناجمة عن البنتلينترازول في الجرذان (Vieira *et al.*, 2016).

حدّدت الجرعة المميتة الوسطية Medium Lethal dose (الجم - 50) للـ 4-амиنوباييردين لوحده في إحداث الاختلالات العصبية عن طريق الحقن في الخلب في أفراخ الدجاج باستعمال طريقة الصعود والنزول Up and Down Method

عندما حقنت أفراخ الدجاج بالـ 4-амиنوباييردين أدى ذلك إلى نشوء اختلالات عصبية مع ظهور علامات التسمم مع الـ 4-амиنوباييردين تمثلت برفع الجناحين في بادئ الأمر ثم الرفرفة بشكل قوي وإرجاع الرقبة إلى الخلف والرقود على عظم القص تلا ذلك نوبات من الاختلالات العصبية فضلاً عن مد الساقين إلى الخلف ، حدّدت الجرعة المميتة الوسطية للـ 4-амиنوباييردين باستعمال طريقة الصعود والنزول، وكانت الجم-50 للـ 4-амиنوباييردين 62.6 ملغم/كغم وهذه النتيجة لا تتوافق مع دراسة (Kostadinova and Danchev, 2019) ؛ إذ أشارت هذه الدراسة إلى أنَّ الجم-50 التي أجريت على الجرذان والأرانب هي 40 ملغم/كغم و 23 ملغم/كغم على التوالي وقد يرجع السبب في ذلك ربما إلى اختلاف نوع الحيوان و اختلاف طريقة الإعطاء؛ إذ استخدم التجريع الفموي أكثر من جرعة في اليوم لإحداث الاختلالات وهي طريقة أبطأ من تلك التي تُسْتَعْمِلُ بالخلب و يُعَدُ تسجيل هذه النتيجة في دراستنا هو الأوَّل في أفراخ الدجاج.

حدّدت الجرعة الفاعلة الوسطية Median Effective dose (الجم - 50) للـ 4-амиنوباييردين لوحده في إحداث الاختلالات العصبية عن طريق الحقن في الخلب في أفراخ الدجاج باستعمال طريقة الصعود والنزول Up and Down Method

حدّد الجم-50 للـ 4-амиنوباييردين وعن طريق الصعود والنزول كانت الجم-50 هي 32.63 ملغم/كغم، وهذه النتيجة اختلفت مع الدراسة التي أجريت على الجرذان (Miller *et al.*, 1978) ؛ إذ أشارت الدراسة إلى أنَّ الجم-50 في الجرذان هي 0.44 ملغم/كغم في الوريد ، وربما يعود سبب هذا التباين إلى اختلاف نوع الحيوان و اختلاف طريقة إعطاء الـ 4-амиنوباييردين، و يُعَدُ تسجيل هذه النتيجة في دراستنا هو الأوَّل في أفراخ الدجاج.

حدّدت الجرعة الفاعلة الوسطية الجف-50 للفينوباربيتال Phenobarbital عن طريق الحقن في العضل.

حدّدت الجرعة الفاعلة الوسطية للفينوباربيتال في أفراخ الدجاج وذلك قبل حقن الجف-4-امينوبايروبيدين 20 دقيقة في الخلب وأدّى ذلك إلى تثبيط علامات الاختلاجات العصبية التي ذكرت آنفًا وكانت نتيجة الجف-50 للفينوباربيتال 9.5 ملغم/كغم بينما كانت نتيجة الدراسة التي أجريت على الجرذان (Hains *et al.*, 2007) و التي أشارت إلى أنَّ متوسط جرعة الفينوباربيتال هو 18 ملغم/كغم في الإناث و 43 ملغم/كغم في الذكور، وأنّها لم تتفق مع دراسة أخرى أجريت على الجرذان (García-Belenguer *et al.*, 2021) التي أظهرت أنَّ الجف-50 للفينوباربيتال هو 32 ملغم/كغم، وقد يكون هذا الاختلاف نتيجة لاختلاف نوع الحيوان، والنتيجة التي ظهرت للفينوباربيتال في منع الاختلاجات العصبية قد يكون بسبب تأثيره على عمل مستقبلات الكابا GABA في الدماغ (Lewis *et al.*, 2024) وأظهرت العديد من الدراسات في الطب البيطري أن الاختلاجات العصبية قد تنشأ من المستوى المنخفض من الكابا GABA في الجسم (Kaila *et al.*, 2014; Rivera, 1999)؛ إذ إنَّ مستقبلات الـ GABA هو الهدف الأساسي لعمل الفينوباربيتال (Knebel *et al.*, 2022; Blaesse *et al.*, 2009) وهذا يفسر آلية عمل الفينوباربيتال في منع و تثبيط الاختلاجات العصبية في جسم الحيوان (Devinsky *et al.*, 2013).

حدّدت الجرعة الفاعلة الوسطية الجف-50 للدايكلوفيناك Diclofenac عن طريق الحقن في العضل.

لبيان تحديد الجرعة الفاعلة الوسطية الجف-50 للدايكلوفيناك حُقِّقت أفراخ الدجاج بالدايكلوفيناك في العضل وذلك قبل 60 دقيقة من حقن 4-امينوبايروبيدين في الخلب وجرعة ثابتة 50 ملغم/كغم وبطريقة الصعود والنزول كانت الجف-50 للدايكلوفيناك هي 7.5 ملغم/كغم ولم تتوافق هذه النتيجة مع الدراسة التي أجريت على أفراخ الدجاج (Albadrany *et al.*, 2021)؛ إذ كانت الجف-50 هي 9.3 ملغم/كغم، وأنَّ الاختلاف في النتائج المسجلة قد يكون بسبب الاختلاف في نوع الشركة المصنعة للأدوية وطريقة إعطاء الدواء والجرعة المستخدمة وعمر الحيوانات، وغيرها من العوامل الأخرى (Musser, 2010).

وأنّها لم تتفق مع النتيجة في الفئران (Imanishi *et al.*, 2011) التي بيّنت الجف-50 للدايكلوفيناك هي 14 ملغم/كغم وقد يكون هذا الاختلاف نتيجة لاختلاف طريقة إعطاء الدواء،

و عملت جرعة الجف-50 للدايكلوفيناك على تقليل الاختلاجات العصبية في الأفراخ وربما يعود ذلك لآلية عمل الدايكلوفيناك بتنبيط عمل إنزيم COX ومن ثم تثبيط إنتاج البروستاكلاندين والثرومبيكين التي تكون مصاحبة لنوبات الصرع والاختلاجات العصبية والعمليات الالتهابية التي يكون لها تأثير على نشوء الاختلاجات العصبية (Vezzani *et al.*, 2011; Vezzani *et al.*, 2013; De Caro *et al.*, 2019) إذ بيّنت دراسة أجريت على الفرمان أن التهابات الأمعاء زادت من حدوث نوبات الاختلاجات العصبية (Vieira *et al.*, 2016)؛ إذ إنّه في الحالات الطبيعية يكون مستوى السايتوكينات في مصل الدم قليل جدًا بينما في حالة وجود أي خلل عصبي يؤدي ذلك إلى زيادة مستوياتها في الجسم (Abdul-Ghani, 2022)، وهذا يبيّن التأثير المميز للدايكلوفيناك أوضادات الالتهاب غير الستيرويدية بشكل عام في تثبيط إنتاج السايتوكينات ومن ثم تقليل نوبات الاختلاجات العصبية في الحيوانات . (Fadel and Mustafa, 2023; Naser *et al.*, 2021)

حدّد التداخل الدوائي بين الفينوباربيتال والدايكلوفيناك عند استخدامهما معاً بنسبة (0.5 : 0.5) في الاختلاجات العصبية الناتجة من حقن الـ 4-أمينوبايدين (50 ملغم/كغم من وزن الجسم في الخل) في أفراخ الدجاج واستخدام تحليل الايزوبولوكرافيك Isobolographic بعد تحديد نوع التداخل بين الأدوية أداة مميزة للكشف عن التأثيرات التي تنتج عنها إن كانت تآزرية أو مثبتة إحداها للأخرى في نموذج الحيوانات المختبرية واستعمالها لاحقًا على الإنسان (Tang and Prueksaritanont, 2010)، وفي هذه الدراسة حصل بيان التداخل بين الفينوباربيتال والدايكلوفيناك بإعطائهما معاً بنسبة 0.5 : 0.5 مع الـ 4-أمينوبايدين وبطريقة التحليل الايزوبولوكرافيك التي يستعمل فيها الرسم على الورق البياني **حدّد نوع التداخل بين الدوائين (الفينوباربيتال والدايكلوفيناك) معاً**، إذ حقن الجف-50 للدوائين وأظهرت هذه الدراسة أن نوع التداخل كان تآزرية على أفراخ الدجاج المستخدمة وكانت قيمة Y التي نتجت من معادلة تحليل التداخل أقل من واحد، وهذا ما يؤكد أن التداخل بين الدايكلوفيناك والفينوباربيتال كان تداخل تآزري وأنّ هذه النتيجة تُعد الأولى؛ إذ سجلت لأول مرة في هذا الأنماذج؛ إذ إنّ COX-2 يحفز خلال حدوث النوبات المرافقة للصرع ويزداد تركيزه في مناطق معينة أو خاصة بالدماغ وهذه المناطق مسؤولة عن حدوث الالتهابات التي قد تسبب الصرع لذلك تثبيط COX-2 قد يكون طريق وقائي وعالجي ممكناً أن يستعمل مع أدوية ضادات الصرع لعلاج الاختلاجات العصبية المرافقة للصرع.

تأثير الفينوباربิตال والدايكلوفيناك في منع الاختلاجات العصبية الناتجة من حقن 4-أمينوبايروجين (50 ملغم / كغم من وزن الجسم ، في الخلب) في أفراخ الدجاج أظهر حقن الأفراخ بالـ 4-أمينوبايروجين لوحده إلى ظهور الاختلاجات العصبية بنسبة 100% في الأفراخ المعاملة.

عندما حقت الأفراخ بالدايكلوفيناك قبل 60 دقيقة من حقن الـ 4-أمينوبايروجين أظهر ذلك إلى تقليل عدد نوبات الاختلاجات العصبية مقارنة مع مجموعة السيطرة وكذلك إلى إطالة المدة اللازمة لظهور نوبات الاختلاجات وهذا يتوافق مع الدراسة (Erdogan *et al.*, 2023) التي أجريت على الجرذان؛ إذ بيّنت أنَّ الدايكلوفيناك له القدرة على تقليل نوبات الاختلاجات العصبية في الجرذان، وربما يفسر ذلك كنتيجة لآثاره الضادة للالتهابات خفض الدايكلوفيناك بشكل كبير نشاط النوبات العصبية.

أدى إعطاء الفينوباربิตال قبل 20 دقيقة من حقن الـ 4-أمينوبايروجين إلى منع حدوث علامات التسمم والاختلاجات الناتجة من حقن الـ 4-أمينوبايروجين بشكل معنوي؛ إذ إنَّه لم يكن هناك علامات للاختلاجات العصبية بالمقارنة مع مجموعة السيطرة، فضلاً عن تقليل النسبة المئوية للاختلاجات بنسبة 0% مقارنة مع مجموعة السيطرة والمجموعة المعاملة بالدايكلوفيناك، وان هذه النتيجة التي أظهرت تأثير الفينوباربิตال على منع حدوث الاختلاجات أتت متفقة مع (Jukier *et al.*, 2024; Lewis *et al.*, 2024; Johne *et al.*, 2021; Reddy *et al.*, 2020; Johnson *et al.*, 1983) التي أشارت بقدرة الفينوباربิตال على تقليل الاختلاجات العصبية في الجرذان والفئران، وأشارت الدراسة (فاضل، 2018) إلى أنَّ إعطاء الفينوباربิตال أدى إلى منع حدوث الاختلاجات العصبية في الأفراخ المعاملة بالبنتيلينترازول، وهذا ما يؤكّد عمل الفينوباربิตال على مستقبلات الكابا وزيادة التأثير المثبط لها التي تسمح باستمرار فتح قناة الكلور وإطالة مدة تدفق أيونات الكلورايد إلى داخل الخلية مما ينتج عنه التأثير المثبط للاختلاجات العصبية (Lewis *et al.*, 2024).

تأثير جرع مختلفة من الدايكلوفيناك في منع الاختلاجات العصبية الناتجة من حقن 4-أمينوبايروجين (50 ملغم / كغم من وزن الجسم ، في الخلب) في أفراخ الدجاج

قد يؤدي الإنتاج المفرط وغير المنظم للسيتوكينات إلى انحلال الخلايا العصبية ويؤدي ذلك إلى حدوث النوبات العصبية (Sinha *et al.*, 2008)، والسيتوكينات المسببة للالتهابات مثل إنترلوكين-1 بيتا (IL-1 β)، وإنترلوكين-6 (IL-6)، وعامل نمو بطانة الأوعية

الدموية وعامل نخر الورم ألفا (TNF- α), فضلاً عن السيتوكينات المضادة للالتهابات إنترلوكين-10، قد وصفت في الجزيئات ذات الصلة في نماذج تجريبية للجهاز العصبي المركزي وفي الحالات السريرية للاختلاجات العصبية (Teresa *et al.*, 2011).

بيّنت المجموعة المعاملة بالـ 4-أمينوبايدين لوحده إلى ظهور الاختلاجات العصبية بنسبة 100% في الأفراخ المعاملة، اتفقت هذه النتيجة مع (Yamaguchi and Rogawski, 1992) ويعود ذلك إلى آلية عمل الـ 4-أمينوبايدين في غلق قنوات البوتاسيوم في الخلايا العصبية في الدماغ وهذا يسبب نشاطاً صرعيّاً في التجارب المختبرية ويؤدي إلى تشنجات قوية مرافقة للصرع في حيوانات التجارب في المختبر.

حقن الأفراخ بالدايكلوفيناك بجرع مختلفة 15 و 30 و 60 ملغم/كغم من وزن الجسم في العضل قبل 60 دقيقة من حقن الـ 4-أمينوبايدين بجرعة 50 ملغم/كغم في الخلب وذلك للتوصل إلى الجرعة المثالية من الدايكلوفيناك في الوقاية من الاختلاجات العصبية في أفراخ الدجاج التي تقوم بتقليل شدة الاختلاجات العصبية، وعملت جرع الدايكلوفيناك إلى إحداث تأثير وقائي تمثل بتقليل ومنع الاختلاجات العصبية، واعتماداً على نتائج هذه الدراسة كانت جرعة الدايكلوفيناك 15 ملغم/كغم هي الأفضل بمنعها عدد نوبات الاختلاجات العصبية وهذه النتيجة لم تتوافق مع (Erdogan *et al.*, 2023) التي أشارت أنّ أفضل جرع للدايكلوفيناك للوقاية من الاختلاجات العصبية الناتجة من حقن البنيلينترازول هي 75 ملغم/كغم في الجرذان وربما يعود سبب هذا التباين إلى اختلاف المادة الكيميائية المستخدمة في إحداث الاختلاجات العصبية في الجرذان. وبيّنت الدراسة (Ikonomidou-Turski *et al.*, 1988) أنّ من الممكن للأدوية المضادة للالتهابات الغير ستيرويدية أن ترفع عتبة الصرع في الجرذان، وهذا يفسر عمل الدايكلوفيناك في التقليل ومنع حدوث الاختلاجات العصبية.

الاستجابة للألم باستعمال الفورمالين بتركيز 1% في أفراخ الدجاج المعاملة بالـ 4-أمينوبايدين والفينوباربيتال والدايكلوفيناك

إنّ استخدام اختبار الفورمالين له فائدة في تقييم ومعرفة الاستجابة للألم في الحيوانات المختبرية منها الفئران والجرذان (Turner *et al.*, 2019) ومنها في أفراخ الدجاج (Naser *et al.*, 2021)، وتشير الأدلة السريرية والتجريبية المتزايدة إلى أنّ العمليات الالتهابية في الدماغ تؤدي دوراً مميّزاً في نوبات الصرع (Riazi *et al.*, 2010)، ومن الممكن أن تبدأ العمليات الالتهابية في الجهاز العصبي المركزي بشكل موضعي أو تنتشر من الدورة الدموية الجهازية بسبب اختراق الحاجز الدموي الدماغي (Choi and Koh, 2008).

يُعدُّ الديكلوفيناك أحد أكثر مثبطات إنتاج PGE2 فعاليةً؛ إذ إِنَّه ترتفع البروستانويديات الأولى Primary Prostanoids أثناء الاستجابة الالتهابية، وتعزى تأثيرات الديكلوفيناك المسكنة المحيطية إلى نشاطه في تقليل مستقبلات الألم المحيطية الحساسة عن طريق- down regulation ، الذي يبيّدُهُ يتم تحقيقه عن طريق تحفيز مسار L-arginine nitric Oxide cGMP Altman *et al.*, 2015; Gan, 2010; Grosser *et al.*, 2006).

وقد أشارت الدراسات والبحوث إلى آليات عمل متعددة للديكلوفيناك في تقليل وتحفيز الألم الحادة في الثديات منها اطالة عملية إطلاق مستقبلات الألم من الليف C التي تؤدي إلى تحرر الكلوتاميت وهذه الآلية قد تكون مشابهة في الطيور؛ إذ إنَّ الكلوتاميت يعمل في الجبل الشوكي بمستقبلات N-methyl-D-aspartic acid الذي يؤدي إلى التحسس المركزي (Bennett, 2000)، يقلل الديكلوفيناك فرط التألم بواسطة NMDA في الفئران عن طريق المسار L-arginine-NO-cGMP (Björkman, 1995) إلى فرط استقطاب النهايات المحيطية للواردات الأولى (Ortiz *et al.*, 2002). وبينَت البحوث والدراسات التجريبية التأثير المرتبط للديكلوفيناك مع المواد الأفيونية التي تكون مسؤولة على الأقل بصورة جزئية عن التسكين الملاحظ بعد العلاج بالديكلوفيناك (Björkman *et al.*, 1990) ويعُدُّ هذا التأثير هو أحد آليات التسكين للديكلوفيناك، مع الملاحظة أنَّ للطيور مستقبلاً أفيونيا مشابه لتلك المستقبلات الموجودة عند الإنسان (Danbury *et al.*, 1998)، وكذلك هناك أهداف جزئية أخرى للديكلوفيناك التي تكون مرتبطة بسلوكيات إزالة الألم الذي يكون باغلاق قناة ايون استشعار الحامض Acid sensing ions channel (Voilley *et al.*, 2001)، إضافة عن آلية عمل الأدوية الغير ستيروидية الرئيسية، إذ إنَّ التسكين ناتج من الفعالية على تثبيط إنزيمات الأكسدة الحلقية COX التي تحفز تحويل حامض الاراكيدونك إلى البروستاكلاندين الذي يسبب الألم وارتفاع الحرارة والالتهاب (Rahman *et al.*, 2006) وكل هذه الميكانيكيات تقوم بعمل ممِيز في تسكين الألم للديكلوفيناك، وتشير دراسة حديثة أنَّه كنتيجة لآثار الديكلوفيناك صوديوم الصادمة للأكسدة والضادة للالتهابات، خفض دايكلوفيناك الصوديوم بشكل كبير نشاط النوبات (Erdogan *et al.*, 2023).

وقد استخدمنا في هذه الدراسة أفراخ الدجاج في عرض وإيصال التأثير الناتج من الألم الحاصل من حقن الفورمالين؛ إذ سجل الفورمالين بعد حقنه في باطن القدم الأيمن للفرج تأثيراً

مؤلماً اتسم برفع القدم خلال مدة قصيرة من الحقن بأقل من ثانية، وهذه النتيجة كانت متفقة مع الدراسة التي أجريت على أفراخ الدجاج (Fadel and Mustafa, 2023). يسبب الفورمالين الألم ويكون ذلك بمرحلتين، المرحلة الأولى التي يكون فيها التأثير الفوري للتحفيز المؤلم وتحت خلال 7-0 دقيقة من الحقن والمرحلة الثانية فتحت خلال 15-60 دقيقة من الحقن؛ إذ يكون فيها مذمة الاحساس بالألم المتولد نتيجة الالتهاب (Mohammad- Zadeh *et al.*, 2014)، بين الفورمالين تأثيراً مؤلماً وذلك عن طريق الزيادة في عدد مرات رفع القدم اليمنى مع انخفاض المدة اللازمة لرفع القدم اليمنى وهذه النتائج انت متفقة مع الدراسة التي أجريت على أفراخ الدجاج (Fadel and Mustafa, 2023) والدراسة التي أجريت على الجرذان (Arzi *et al.*, 2015). وتسبب حقن 4-أمينوباييردين كذلك زيادة معنوية في عدد مرات رفع القدم مع انخفاض المدة اللازمة لرفع القدم اليمنى وسُجّلت هذه النتيجة لأول مرة. وتسبب حقن الفورمالين انخفاض معنوي في عدد مرات رفع القدم وزيادة معنوية في المدة اللازمة لرفع القدم اليمنى في المجموعة المعاملة بالـ 4-أمينوباييردين والفينوباربيتال، وهذا يتواافق مع الدراسة التي أجريت على الجرذان (Reimer *et al.*, 2020) وربما يعود ذلك لتأثير الفينوباربيتال على مستقبلات الكابا GABA التي لها خصائص تسبب التخدير والنعاس والتسكين (Forkin And Nemergut, 2016) عند حدوث الالتهاب يؤدي ذلك إلى زيادة بروتين سكري حامض ألفا 1 (AGP) في الإنسان والكلاب والجرذان، وقد يكون تأثير الفينوباربيتال بسبب تأثيره على (AGP) الذي قد يكون له دور مميز في تقليل الالتهاب، وهذه النتيجة تتوافق مع الدراسة (Levy *et al.*, 1991) التي أشارت إلى أنَّ الفينوباربيتال قد يقلل هذا البروتين خلال الالتهاب بعد إعطاء الفينوباربيتال.

وتسبب حقن الفورمالين انخفاض معنوي في عدد مرات رفع القدم وزيادة معنوية في المدة اللازمة لرفع القدم اليمنى في المجموعة المعاملة بالـ 4-أمينوباييردين والدايكلوفيناك مقارنة مع المجموعة المعاملة بالـ 4-أمينوباييردين والفينوباربيتال وقدرة الدايكلوفيناك على التسكين وتقليل الالتهاب والألم وهذا يتواافق مع الدراسات التي أجريت في أفراخ الدجاج (Fadel And Mustafa, 2023) والجرذان (Hasani *et al.*, 2011) وذلك يعود إلى عمل الدايكلوفيناك على تثبيط إنتاج البروستاكلاندين والثرومبوكسين عن طريق تثبيط مستقبلات COX-1 وCOX-2. ومن ثمَّ تقليل الالتهاب والألم (Dobrzeniecka *et al.*, 2023).

تأثير الفينوباربิตال والدايكلوفيناك في النشاط الحركي في أفراخ الدجاج المعاملة بالـ 4-أمينوبايرودين بعد ساعة واحدة وثلاث ساعات من المعاملة واختبار الاستجابة لعدم الحركة الشدي

يُستعمل اختبار الميدان المفتوح واختبار عدم الحركة الشدي على نطاق واسع لتقدير السلوك الحركي للحيوان (Campbell *et al.*, 2019) وهذا الاختبار يسهل دراسة تأثير المركبات الدوائية التي لها تأثير مباشر على جسم الحيوان (Seibenhener and Wooten, 2015; Tatem *et al.*, 2014).

استوضح تأثير 4-أمينوبايرودين على أفراخ الدجاج في دراستنا هذه بواسطة اختبار الميدان المفتوح واختبار عدم الحركة الشدي؛ إذ إنَّه بين التأثير المثبت على نشاط الأفراخ للحركة بجرعة 50 ملغم/كغم من وزن الجسم عن طريق الحقن في الخلب بعد ساعة واحدة وثلاث ساعات من الحقن، إذ أُظهرت زيادة معنوية في المدة اللازمة للحركة من المربع الأوسط في الصندوق وانخفاض معنوي في عدد الخطوط التي قطعها الفرخ بالمقارنة مع المجاميع الأخرى وبين انخفاض معنوي في الاستجابة لاختبار عدم الحركة الشدي وهذه النتيجة متفقة مع الدراسة التي أُجريت على الفئران (Campos-Rodríguez *et al.*, 2019).

وسببت أيضًا المجموعة المعاملة بالفينوباربิตال انخفاض في النشاط الحركي للأفراخ؛ إذ إنَّ الأدوية التي تعمل على مستقبلات الكابا GABA تسبب تأثيرًا مثبطًا في النشاط الحركي في الأفراخ (Mograbi *et al.*, 2021) وكذلك في الفئران (Naser and Albadrany, 2021) في اختبارات صندوق الميدان المفتوح واختبار عدم الحركة الشدي.

تأثير الفينوباربิตال والدايكلوفيناك في تركيز الكلوتاثيون والمالونديايديكوكولين استرير في بلازما الدم والدماغ للأفراخ المعاملة بالـ 4-أمينوبايرودين بعد ثلث ساعات من المعاملة

يُعدُّ الكلوتاثيون من مضادات الأكسدة الطبيعية في جسم الكائن الحي ويؤدي دورًا ممِيزًا في حماية الخلايا العصبية من الإجهاد التأكسدي وإزالة الجذور الحرة (Higashi *et al.*, 2021) وله دور مهم في عملية الأيض في الخلية من إزالة التأثير السمي للجذور الحرة المتكونة من العمليات الأيضية في داخل الخلية، وينخفض تركيز الكلوتاثيون عند تعرض خلايا الجسم للمواد الكيميائية التي تؤثر وتسبب إجهاد تأكسدي (Sri Hari *et al.*, 2023) ويُعدُّ الكشف عن تركيز الكلوتاثيون من الطرائق المستخدمة لكشف وبيان الإجهاد التأكسدي (Nuhu *et al.*, 2020)، لقد أثبتت الدراسات أنَّ الاختلاجات العصبية تغير من احتمالية الأكسدة والاختزال وتقلُّل من مستوى ATP مما يؤدي إلى انهيار في إنتاج الطاقة في الدماغ وإمدادها (Wasterlain *et al.*, 1993)، وأُظهرت الدراسات التي أُجريت على النماذج الحيوانية

والدراسات الجينية زيادة في الإجهاد التأكسدي للمايتوكوندريا وتلف الخلايا بعد النوبات المستمرة للاختلاجات (Waldbaum *et al.*, 2010).

في دراستنا سبب حقن الـ 4-أمينوبايরدين لوحده انخفاضاً معنوياً في مستوى تركيز الكلوتاثيون في بلازما الدم والدماغ وهذه النتيجة جاءت متفقة مع الدراسة السابقة (Sri Hari *et al.*, 2023) وبينت المجموعة المعاملة مع الـ 4-أمينوباييردين والدايكلوفيناك انخفاضاً معنوياً في مستوى تركيز الكلوتاثيون في بلازما الدم والدماغ وقد يكون ذلك بسبب إنتاج الجذور الحرة بسبب الإجهاد التأكسدي، إذا بينت الدراسات السابقة أن الإجهاد يؤدي إلى خلل في دفاعات الخلية المضادة للأكسدة منها الكلوتاثيون الذي يتم بيان حالة الإجهاد التأكسدي له عن طريق قياس مستوى تركيزه في بلازما الدم والدماغ، وباقى انسجة الجسم للكائن الحي الذي ينخفض عند وجود الإجهاد التأكسدي (Deshmukh *et al.*, 2012)، وأظهرت المجموعة المعاملة 4-أمينوباييردين والفينوباربيتال انخفاضاً معنوياً في الدماغ بنسبة 6% مقارنة مع مجموعة السيطرة، بينما في بلازما الدم لم تظهر أي تأثير في مستوى الكلوتاثيون مقارنة مع مجموعة السيطرة وهذه النتيجة اختلفت مع الدراسة (Fadel and Mohammad, 2019)، إذ أشارت إلى انخفاض في مستوى الكلوتاثيون في الدماغ وبلازما الدم في الأفراد المعاملة بالبنتيلينترازول والفينوباربيتال، وربما يعود ذلك إلى اختلاف المواد المستعملة واختلاف المادة الدوائية المجهزة.

وبينت المجموعة المعاملة بالـ 4-أمينوباييردين والدايكلوفيناك والفينوباربيتال زيادة معنوية في تركيز الكلوتاثيون في الدماغ مقارنة مع المجموعة المعاملة مع 4-أمينوباييردين لوحده وهذه النتيجة سجلت لأول مرة، وهذا قد يرجع إلى عمل الفينوباربيتال على تقليل حدوث الإجهاد التأكسدي (Aycicek and Iscan 2007).

وتسبب حقن الـ 4-أمينوباييردين لوحده زيادة معنوية في مستوى تركيز المالوندайлديهيد في بلازما الدم والدماغ مقارنة مع مجموعة السيطرة وهذه النتيجة تتوافق مع الدراسة (Sahu *et al.*, 2020)، إذ أشارت إلى زيادة في مستوى المالوندайлديهيد بعد حدوث الاختلاجات العصبية في الجرذان، وبينت المجموعة المعاملة مع 4-أمينوباييردين والفينوباربيتال والمجموعة المعاملة مع 4-أمينوباييردين والدايكلوفيناك والمجموعة المعاملة مع 4-أمينوباييردين والفينوباربيتال والدايكلوفيناك انخفاضاً معنوياً في مستوى تركيز المالوندайлديهيد في بلازما الدم والدماغ مقارنة مع المجموعة المعاملة مع 4-أمينوباييردين لوحده وهذه النتيجة اتفقت مع الدراسة (Fadel and Mohammad, 2019) التي بينت تأثير الفينوباربيتال في تقليل مستوى الارتفاع بالمالوندайлديهيد وربما يفسر ذلك إلى فعالية الأدوية المثبتة لحدوث الاختلاجات العصبية على

تقليل مستوى المالونديهيد في الجسم، وبينت الدراسة (Łukawski and Czuczwar, 2023) إلى فعالية الأدوية الصادرة للصرع إلى تقليل مستوى المالونديهيد وزيادة تركيز الكلوتاثيون في الفئران والجرذان، وهذا يتوافق مع دراستنا التي أجريت على أفراخ الدجاج، وبينت الدراسات أنَّ الأدوية الصادرة للصرع تقلل من نسبة المالونديهيد عن طريق تقليل الجهد التأكسدي في الدماغ وتقليل نوبات الاختلاجات العصبية (Iwuozo *et al.*, 2019).

وبينت المجموعة المعاملة مع 4-أمينوبيريدين انخفاض معنوي في مستوى الباها للكولين استرizer في بلازما الدم والدماغ بنسبة 28% و39% على التوالي مقارنة مع مجموعة السيطرة وهذا يتوافق مع الدراسة (Hussain *et al.*, 2022) وهذا يبين تأثير 4-أمينوبيريدين المحفز على الخلايا العصبية مما تسبب بظهور الاختلاجات العصبية وهذا يتوافق مع الدراسة (Lumley *et al.*, 2021) التي أشارت إلى أنَّ التأثير المحفز لنشوء النوبات العصبية في الفئران والجرذان يؤدي إلى استهلاك إنزيم الكولين استرizer في بلازما الدم والدماغ مما يقلل من مستوى الكولين استرizer بعد إعطاء هذه المواد وهذا يتوافق مع دراستنا التي أجريت على أفراخ الدجاج. وأظهرت المجموعة المعاملة مع 4-أمينوبيريدين والفينوباربيتال زيادة معنوية مقارنة مع المجموعة المعاملة بالـ 4-أمينوبيريدين لوحده وهذه النتيجة سجلت لأول مرة، ويبين تأثير الفينوباربيتال على تثبيط ظهور الاختلاجات العصبية والمحافظة قدر الامكان على تركيز مستوى إنزيم الكولين استرizer في بلازما الدم والدماغ (Nurit and Joseph, 1985)، وبينت المجموعة المعاملة مع 4-أمينوبيريدين والدايكلوفيناك انخفاض معنوي، إذ كانت النسبة في بلازما الدم والدماغ 19% و38% على التوالي وهذه النتيجة سجلت لأول مرة في أفراخ الدجاج، ويرجح ذلك إلى تأثير مثبطات إنزيم COX-1 وCOX-2 في تركيز إنزيم الكولين استرizer؛ إذ إنَّها تعمل على تثبيط عمل وإنتاج إنزيم الكولين استرizer (Javed *et al.*, 2021; Javed *et al.*, 2022). ويفسر ذلك إلى أنَّ العديد من الأدوية الصادرة لالتهاب تعمل عن طريق تنشيطها بواسطة إنزيم البيروكسيديز peroxidase وذلك يؤدي إلى تعطيل إنزيمات مختلفة، إذ إنَّ تصنيع البروستاكلاندين يحدث عن طريق السايكلاوكسجينيز cyclooxygenase والبيروكسيديز، واثناء تصنيع البروستاكلاندين يتم اختزال البروستاكلاندين-prostaglandin G2، وذلك يؤدي إلى أكسدة العديد من المواد الحيوية اثناء تصنيع البروستاكلاندين هايدروبيروكسيديز prostaglandin hydroperoxidase بنقل الكترون واحد، وتتأكسد معظم مضادات الالتهاب غير الستيرويدية بسهولة بواسطة البيروكسيديز إلى الجذور الحرة التي تدمر المكونات البيولوجية مثل الكولين استرizer (Muraoka and Miura, 2009). وهذه يفسر انخفاض مستوى الكولين استرizer في بلازما الدماغ عند إعطاء الدايكلوفيناك.

الفصل السادس

الاستنتاجات والتوصيات

Conclusions and Recommendation

الفصل السادس

الاستنتاجات والتوصيات

Conclusions and Recommendations

1- الاستنتاجات:

- 1- أشارت الدراسة و حسب التحليل الإحصائي إلى إمكانية استخدام الـ4-امينوبايردين لاستحداث الاختلاجات العصبية بجرعة 50 ملغم/كغم من وزن الجسم في الخلب.
- 2- إمكانية استخدام أفراخ الدجاج أئمونجًا لاستحداث الاختلاجات العصبية بواسطة الـ4-امينوبايردين والأدوية المانعة لها مع ضد الالتهاب الـدايكلوفيناك.
- 3- أثبتت الدراسة إمكانية استخدام ضد الالتهاب الـدايكلوفيناك في الوقاية من حالات الاختلاجات العصبية في أفراخ الدجاج بسبب فعله الضاد للـسايكلاوكسيجينيز.
- 4- أوضحت الدراسة و حسب التحليل الإحصائي فعالية الـدايكلوفيناك الوقائية عند إعطائه بجرعة 7.5 ملغم/كغم من وزن الجسم في العضل قبل 60 دقيقة من حقن الـ4-امينوبايردين.
- 5- أثبتت الدراسة إمكانية استخدام الـفينوباربيتال في الوقاية في حالات الاختلاجات العصبية المحدثة تجريبياً بالـ4-امينوبايردين في أفراخ الدجاج.
6. أوضحت الدراسة فعالية الـدايكلوفيناك و الـفينوباربيتال في تقليل الألم و الالتهاب الناتج من حقن الفورمالين بتركيز 10% في باطن القدم.
7. أثبتت الدراسة فعالية الـدايكلوفيناك و الـفينوباربيتال في تقليل الأجهاد التأكسدي في بعض المعايير الـبـاـيـوـكـيـمـيـائـيـة.
8. أثبتت الدراسة إمكانية استخدام الـدايكلوفيناك و الـفينوباربيتال سوياً في الاختلاجات العصبية المحدثة بالـ4-امينوبايردين و ظهور التأثير التآزرـي لهما.

6-2: التوصيات:

- 1- استحداث الاختلاجات العصبية بواسطة أدوية أخرى أو بواسطة طرائق فيزيائية في نموذج أفراخ الدجاج ودراسة صادات التهاب أخرى.
- 2- دراسة استخدام أدوية صادات الالتهابات الأخرى في الوقاية والعلاج من الاختلاجات العصبية في نموذج أفراخ الدجاج.
- 3- دراسة السلوك العصبي بعد مدد طويلة من إحداث الاختلاج للوقوف على التغيرات السلوكية طويلة الأمد التي قد تحدث في أفراخ الدجاج.
- 4- دراسة الحركية الدوائية للدايكلوفيناك والفينوباربิตال في الأفراخ المعاملة بالـ4-اميโนباييردين.
- 5- دراسة التغيرات في مستويات النواقل العصبية في دماغ أفراخ الدجاج المعرضة لاختلاجات وتلك التي تخضع للعلاج.

المصادر

References

المصادر

References

أ-المصادر باللغة العربية:

البعبكي، منير، (2006). قاموس المورد الطبي، دار العلم للملاتين، بيروت، لبنان.

فاضل، مأب عزمي، (2018). التداخل الدوائي لبعض أدوية ضادات الهرستامين H_1 مع بعض الأدوية المحفزة للاختلاجات العصبية والأدوية المانعة لها في نموذج أفراخ الدجاج. اطروحة دكتوراه فلسفية، جامعة الموصل، الموصل، العراق.

المولى، فرح فتح الله شهاب، (2023). دراسة التأثيرات السمية لليفاميزول والايفرمكتين في الفئران. رسالة ماجستير، جامعة الموصل، الموصل، العراق.

ب-المصادر باللغة الأجنبية:

- Abdelsayed, M., and Sokolov, S. (2013). Voltage-gated sodium channels: pharmaceutical targets via anticonvulsants to treat epileptic syndromes. *Channels Austin*, 7(3):146-52.
- Abdul-Ghani, M.R. (2022). Bakers' yeast Induced Paw Edema and Fever in Chicks for Detection of Anti-inflammatory Effects of Alpha-lipoic Acid: A new Approach. *Egyptian Journal of Veterinary Sciences*, 2,185–191.
- Abdulkhaleq, L.A., Assi, M.A., Abdullah, R., Zamri-Saad, M., Taufiq-Yap, Y.H., and Hezmee, M.N.M. (2018). The crucial roles of inflammatory mediators in inflammation: A review. *Veterinary World*, 11(5), 627–635.
- Abou-Khalil, B.W., Gallagher, M.J., Macdonald, R.L., Jankovic, J., Mazziotta, J.C., Pomeroy, S.L., Newman, N.J., Bradley's and Daroff's . (2022). *Neurology in Clinical Practice*. 8th ed. Philadelphia, PA: Elsevier:chap ,pp.100.
- Adak, A., Eswarappa, R.; Nagarajan, S.; and Mukhopadhyay, S. K. (2015). Validation of Cholinesterase (Acetyl and Butyryl) Activity Estimation in the Blood and Brain of Wistar Rats. *International Journal of Scientific Research in Science and Technology*, 4, 255-259.
- Akundi, R.S., Candelario-Jalil, E., Hess, S., Hüll, M., Lieb, K., Gebicke-Haerter, P.J., and Fiebich, B.L. (2005). Signal transduction pathways regulating cyclooxygenase-2 in lipopolysaccharide-activated pri- mary rat microglia. *Glia*, 51: 199–208.
- Albadrany, Y.M., Naser, A.S., and Hasan, M.M. (2021). Study the analgesic effect of diclofenac and silymarin coadministration in

- chicks', Iraqi Journal of Veterinary Sciences, 35(Supplement I-III), 25-31.
- Alfaro, R.A., and Davis, D.D. (2023). Diclofenac. In: StatPearls. Treasure Island (FL): StatPearls Publishing. Available from: www.ncbi.nlm.nih.gov/books/NBK557879/ [Accessed Jan 2023]
- Allen, M.J, Sabir, S., and Sharma. S. (2023). GABA Receptor. In: StatPearls [Internet]. Treasure Island (FL): StatPearls Publishing, 2024 Jan-. Available from : www.ncbi.nlm.nih.gov/books/NBK526124/
- Altman, R., Bosch, B., Brune, K., Patrignani, P., and Young C. (2015). Advances in NSAID development: evolution of diclofenac products using pharmaceutical technology. *Drugs*, 75(8):859-77.
- Alwakeel, M., Alayan, D., Saleem, T., Afzal, S., Immler, E., Wang, X., Akbik, B., and Duggal, A. (2023). Phenobarbital-Based Protocol for Alcohol Withdrawal Syndrome in a Medical ICU: Pre-Post Implementation Study. *Critical Care Explorations*, 5(4): e0898.
- Amanullah, A., Upadhyay, A., Dhiman, R., Singh, S., Kumar, A., Ahirwar, D.K., Gutti, R.K., and Mishra, A. (2022). Development and Challenges of Diclofenac-Based Novel Therapeutics: Targeting Cancer and Complex Diseases. *Cancers*, 14(18): 4385.
- Amatniek, J.C., Hauser, W.A., DelCastillo-Castaneda, C., Jacobs, D.M., Marder, K., Bell, K., Albert, M., Brandt, J., and Stern, Y. (2006). Incidence and predictors of seizures in patients with Alzheimer's disease. *Epilepsia*, 47(5): 867–872.
- Anderson, G.D., and Hakimian, S. (2018). Pharmacokinetic factors to consider in the selection of antiseizure drugs for older patients with epilepsy. *Drugs Aging*, 35(8):687-698.

- Arzi, A., Olapour, S., Yaghooti, H., and Sistani Karampour, N. (2015). Effect of royal jelly on formalin induced-inflammation in rat hind paw. *Jundishapur Journal of Natural Pharmaceutical Products*, 10(1): e22466.
- Aycicek, A., and Iscan, A. (2007). The effects of carbamazepine, valproic acid and phenobarbital on the oxidative and antioxidative balance in epileptic children. *European neurology*, 57(2): 65–69.
- Bacchi, S., Palumbo, P., Sponta, A., and Coppolino, M. F. (2012). Clinical pharmacology of non-steroidal anti-inflammatory drugs: a review. *Anti-inflammatory & anti-allergy agents in medicinal chemistry*, 11(1): 52–64.
- Balosso, S., Ravizza, T., Pierucci, M., Calcagno, E., Invernizzi, R., Di Giovanni, G., Esposito, E., and Vezzani, A. (2009). Molecular and functional interactions between tumor necrosis factor-alpha receptors and the glutamatergic system in the mouse hippocampus: implications for seizure susceptibility. *Neuroscience*, 161(1), 293–300.
- Barakat, M., Syed, N.K., Hasen, E., Abdulrazzaq, S.B., Thiab, S., Al-Najjar, M.A.A., Omar, A., Lucy, T.T., Mamun-Or-Rashid, A.N.M., Yagi, M., and Yonei, Y. (2023). The effect of natural products on inflammatory cytokines production and secretion. *Phytomedicine Plus*, 3 (4): 2667-0313.
- Bauquier, S. H., Jiang, J. L., Lai, A., and Cook, M. J. (2016). Clonic Seizures in GAERS Rats after Oral Administration of Enrofloxacin. *Comparative medicine*, 66(3): 220–224.
- Beatrice, M.R., Florin, B.E., Mihai, R., Paolo, F.F., and Giuseppe, B. (2017). Nonsteroidal anti-inflammatory drugs in clinical and experimental epilepsy. *Epilepsy Research*, 131:15-27.

- Benarroch, E. (2021). What Is the Role of GABA Transporters in Seizures?. Wolters Kluwer Health, Inc. on behalf of the American Academy of Neurology, 97 (12): 580-584.
- Bennett, G.J. (2000). Update on the neurophysiology of pain transmission and modulation: focus on the NMDA-receptor. *Journal of pain and symptom management*, 19(1 Suppl), S2–S6.
- Berkovic, S. F., and Scheffer, I. E. (1997). Genetics of human partial epilepsy. *Current opinion in neurology*, 10(2), 110–114.
- Betteridge D.J. (2000). What is oxidative stress?. *Metabolism: clinical and experimental*, 49(2 Suppl 1), 3–8.
- Bhandari, S. (2022). Anticonvulsants for bipolar disorder. Available from: www.webmd.com/bipolar-disorder/guide/anticonvulsant-medication.
- Birmingham, B., and Buvanendran, A. (2014). Nonsteroidal anti-inflammatory drugs, Acetaminophen, and COX-2 inhibitors. In: Turk DC, Argoff CE, Hurley RW, editors. *Practical Management of Pain*. Philadelphia: Elsevier, pp. 553–568.
- Björkman, R. (1995). Central antinociceptive effects of non-steroidal anti-inflammatory drugs and paracetamol: Experimental studies in the rat. *Acta Anaesthesiol Scand*. 103:1–44.
- Björkman, R., Hedner, J., Hedner, T., and Henning, M. (1990). Central, naloxone-reversible antinociception by diclofenac in the rat. *Naunyn-Schmiedeberg's Archives of Pharmacology*, 342(2): 171–176.
- Blaesse, P., Airaksinen, M.S., Rivera, C., and Kaila, K. (2009). Cation-chloride cotransporters and neuronal function. *Neuron*, 61, 820–838.

- Blanca-Lopez, N., Soriano, V., Garcia-Martin, E., Canto, G., and Blanca, M. (2019). NSAID-induced reactions: classification, prevalence, impact, and management strategies. *Journal of Asthma and Allergy*, 12, 217–233.
- Bonnesen, K., and Schmidt, M. (2021). Recategorization of non-aspirin nonsteroidal anti-inflammatory drugs according to clinical relevance: abandoning the traditional NSAID terminology. *Canadian Journal of Cardiology*, 37(11):1705-1707.
- Bradford, H.F. (1995). Glutamate, GABA and epilepsy. *Prog Neurobiol*, 47(6):477–511.
- Brigo, F., Igwe, S.C., Ausserer, H., Nardone, R., Tezzon, F., Bongiovanni, L.G., Tinazzi, M., and Trinka, E. (2015). Terminology of psychogenic nonepileptic seizures. *Epilepsia*, 56(3), e21–e25.
- Campbell, D.L.M., Dickson, E.J., and Lee, C. (2019). Application of open field, tonic immobility, and attention bias tests to hens with different ranging patterns. *PeerJ*, 7, e8122.
- Campbell, I.L., Abraham, C.R., Masliah, E., Kemper, P., Inglis, J.D., Oldstone, M.B., and Mucke, L. (1993). Neurologic disease induced in transgenic mice by cerebral overexpression of interleukin 6. *Proceedings of the National Academy of Sciences of the United States of America*, 90(21), 10061–10065.
- Campos-Rodríguez, C., Trujillo-Ferrara, J. G., Alvarez-Guerra, A., Vargas, I. M. C., Cuevas-Hernández, R. I., Andrade-Jorge, E., Zamudio, S., and Juan, E. R. (2019). Neuropharmacological Screening of Chiral and Non-chiral Phthalimide- Containing Compounds in Mice: in vivo and in silico Experiments. *Medicinal chemistry (Shariqah) (United Arab Emirates)*, 15(1): 102–118.

- Cárdenas-Rodríguez, N., Coballase-Urrutia, E., Pérez-Cruz, C., Montesinos-Correa, H., Rivera-Espinosa, L., Sampieri, A., and Carmona-Aparicio, L. (2014). Relevance of the glutathione system in temporal lobe epilepsy: evidence in human and experimental models. *Oxidative Medicine and Cellular Longevity*, 2014, 759293.
- Carter, J.A., Ross, A.J., Neville, B.G., Obiero, E., Katana, K., Mung'ala-Odera, V., Lees, J.A., and Newton, C.R. (2005). Developmental impairments following severe falciparum malaria in children. *Tropical medicine & international health : TM & IH*, 10(1), 3–10.
- Chincholkar M. (2020). Gabapentinoids: pharmacokinetics, pharmacodynamics and considerations for clinical practice. *British journal of pain*, 14(2), 104–114.
- Choi, J., and Koh, S. (2008). Role of brain inflammation in epileptogenesis. *Yonsei Medical Journal*, 49, 1–18.
- Chungath, M., and Shorvon, S. (2008). The mortality and morbidity of febrile seizures. *Nat Clin Pract Neurol*, 4(11):610–621.
- Colović, M.B., Krstić, D Z., Lazarević-Pašti, T.D., Bondžić, A.M., and Vasić, V.M. (2013). Acetylcholinesterase inhibitors: pharmacology and toxicology. *Current Neuropharmacology*, 11(3): 315–335.
- Contractor, A., Swanson, G. T., Sailer, A., O'Gorman, S., and Heinemann, S. F. (2000). Identification of the kainate receptor subunits underlying modulation of excitatory synaptic transmission in the CA3 region of the hippocampus. *The Journal of neuroscience : the official journal of the Society for Neuroscience*, 20(22), 8269–8278.

- Czapinski, P., Blaszczyk, B., and Czuczwarc, S. J. (2005). Mechanisms of action of antiepileptic drugs. *Current topics in medicinal chemistry*, 5(1), 3–14.
- Dagenais, R., Wilby, K.J., Elewa, H., and Ensom, M.H.H. (2017). Impact of Genetic Polymorphisms on Phenytoin Pharmacokinetics and Clinical Outcomes in the Middle East and North Africa Region. *Drugs R D*, 17(3):341-361.
- Danbury, T.C., Hudson AL, Waterman, A.E., Henderson, G., and Kestin, S.C. (1998). Saturation binding of mu, delta and kappa opioid ligands in chicken brains. In: *naunyn-schmiedebergs archives of pharmacology*. springer verlag 175 fifth ave, new york, 10010:54-54.
- David, Y., Cacheaux, L.P., Ivens, S., Lapilover, E., Heinemann, U., Kaufer, D., and Friedman, A. (2009). Astrocytic dysfunction in epileptogenesis: consequence of altered potassium and glutamate homeostasis?. *The Journal of neuroscience : the official journal of the Society for Neuroscience*, 29(34), 10588–10599.
- Dawood, M.Y. (2006). Primary dysmenorrhea: advances in pathogenesis and management. *Obstet Gynecol*, 108(2):428-41.
- De Caro, C., Leo, A., Nesci, V., Ghelardini, C., di Cesare Mannelli, L., and Striano, P. (2019). Intestinal inflammation increases convulsant activity and reduces antiepileptic drug efficacy in a mouse model of epilepsy. *Sci. Rep.*, 9,13983.
- De Simoni, M.G., Perego, C., Ravizza, T., Moneta, D., Conti, M., Marchesi, F., De Luigi, A., Garattini, S., and Vezzani, A. (2000). Inflammatory cytokines and related genes are induced in the rat hippocampus by limbic status epilepticus. *The European journal of neuroscience*, 12(7), 2623–2633.

- Deshmukh, R.S., Chaware, V.J, and Biyani, K.R. (2012). Alpha Lipoic Acid Potentiates the Antiseizure Activity of Gabapentin in Mice. *International Journal of Research in Pharmaceutical and Biomedical Sciences.*, 3(3): 1004–1007.
- Devinsky, O., Vezzani, A., Najjar, S., De Lanerolle, N.C., and Rogawski, M.A. (2013). Glia and epilepsy: excitability and inflammation. *Trends in Neuroscience*, 36,174-184.
- Dharmajaya, R., and Sari, D.K. (2022). Malondialdehyde value as radical oxidative marker and endogenous antioxidant value analysis in brain tumor. *Annals of Medicine & Surgery*, 77.
- Dhinakaran, R., and Devendra, M. (2019). ILAE classification of seizures and epilepsies: an update for the pediatrician. *Indian Pediatr*, 56:60–62.
- Dhir, A., Naidu, P.S., and Kulkarni, S.K. (2006). Effect of cyclooxygenase inhibitors on pentylenetetrazol (PTZ)-induced convulsions: Possible mechanism of action. *Progress in Neuro-Psychopharmacology and Biological Psychiatry*, 30(8): 1478–1485.
- Dhote, F., Peinnequin, A., Carpentier, P., Baille, V., Delacour, C., Foquin, A., Lallement, G., and Dorandeu, F. (2007). Prolonged inflammatory gene response following soman-induced seizures in mice. *Toxicology*, 238(2-3), 166–176.
- Dingledine, R., Varvel, N. H., and Dudek, F. E. (2014). When and how do seizures kill neurons, and is cell death relevant to epileptogenesis?. *Advances in experimental medicine and biology*, 813, 109–122.
- Dixon, W.J. (1980). Efficient analysis of experimental observations. *Annual review of pharmacology and toxicology*, 20(1), 441-462.

- Dobrzeniecka, W., Daca, M., Nowakowska, B., Sobiesiak, M., Szewczyk-Golec, K., Woźniak, A., and Hołyńska-Iwan, I. (2023). The Impact of Diclofenac Gel on Ion Transport in the Rabbit (*Oryctolagus cuniculus*) Skin: An *In Vitro* Study. *Molecules* (Basel, Switzerland), 28(3), 1332.
- Doshi, A.R., Malhotra, M.G., Balaguru, D., Amre, D., and Erikson, C. (2019). Effect of Intravenous Phenobarbital on Left Ventricular Myocardial Contractility Determined by Echocardiography in Children. *Kansas journal of medicine*, 12(2), 40–44.
- Dubé, C.M., Brewster, A.L., Richichi, C., Zha, Q., and Baram, T.Z. (2007). Fever, febrile seizures and epilepsy. *Trends Neurosci*, 30:490–496.
- Dubois, R.N., Abramson, S.B., Crofford, L., Gupta, R.A., Simon, L.S., Van De Putte, L.B., and Lipsky, P.E. (1998). Cyclooxygenase in biology and disease. *FASEB J*, 12(12):1063-73
- Erdogan, A., Erdogan, M.A., Gurgul, S., and Erbas, O. (2023). Effects of Diclofenac Sodium on Seizure Activity in Rats with Pentylenetetrazole-Induced Convulsions. *Neurochemical research*, 48(5): 1412–1423.
- Estevez, A. Y., Pritchard, S., Harper, K., Aston, J. W., Lynch, A., Lucky, J.J., Ludington, J.S., Chatani, P., Mosenthal, W.P., Leiter, J.C., Andreeescu, S., and Erlichman, J.S. (2011). Neuroprotective mechanisms of cerium oxide nanoparticles in a mouse hippocampal brain slice model of ischemia. *Free radical biology & medicine*, 51(6): 1155–1163.
- Fadel, M., and Mohammad, F, (2019). 'Effect of diphenhydramine and phenobarbital in the concentration of glutathione and malondialdehyde and glucose in plasma and brain of chicks

- treated with pentylenetetrazol', *Iraqi Journal of Veterinary Sciences*, 33(2): 97-104.
- Fadel, M.A., and Mustafa, K.A. (2023) The anti-inflammatory effect of allopurinol and diclofenac in chicks model. *Iraqi Journal of Veterinary Sciences*, 3,547-553.
- Fadel, M.A., Mustafa, K.A. and Thanoon, I.A. (2023). Effect of methotrexate on neurobehavior and cholinesterase in chicks. *Iraqi Journal of Veterinary Sciences*, 4, 985–989.
- Faki, Y., and Er, A. (2021). Different Chemical Structures and Physiological/Pathological Roles of Cyclooxygenases. *Rambam Maimonides medical journal*, 12(1), e0003.
- Falco-Walter, J. J., and Bleck, T. (2016). Treatment of Established Status Epilepticus. *Journal of clinical medicine*, 5(5): 49.
- Fisher, R.S., Acevedo, C., Arzimanoglou, A., Bogacz, A., Cross, J.H., Elger, C.E., Engel, J., Forsgren, L., French, J.A., Glynn, M., Hesdorffer, D.C., Lee, B.I., Mathern, G.W., Moshé, S.L., Perucca, E., Scheffer, I.E., Tomson, T., Watanabe, M., and Wiebe, S. (2014). ILAE official report: a practical clinical definition of epilepsy. *Epilepsia*, 55(4): 475–482.
- Fisher, R.S., Cross, J.H., French, J.A., Higurashi, N., Hirsch , E., Jansen, F.E., Lagae, L., Moshé, S.L., Peltola, J., Roulet, P.E., Scheffer, I.E., and Zuberi, S.M. (2017). Operational classification of seizure types by the International League Against Epilepsy: Position Paper of the ILAE Commission for Classification and Terminology. *Epilepsia*, 58(4):522–530.
- Fisher, R.S., van Emde Boas, W., Blume, W., Elger, C., Genton, P., Lee, P., and Engel, J. (2005). Epileptic seizures and epilepsy: definitions proposed by the International League Against Epilepsy

- (ILAE) and the International Bureau for Epilepsy (IBE). *Epilepsia*, 46(4): 470–472.
- Forkin, K.T., and Nemergut, E.C. (2016). Miller's Anesthesia, 8th Edition In: Miller R, editor. *Anesthesiology: The Journal of the American Society of Anesthesiologists*. 124. 8ed Philadelphia, PA: Saunders, pp. 977–8.
- Friedman, J. (2011) Why is the nervous system vulnerable to oxidative stress. In *Oxidative Stress and Free Radical Damage in Neurology*, Springer: Berlin/Heidelberg, Germany, pp. 19–27.
- Gan, T.J. (2010). Diclofenac: an update on its mechanism of action and safety profile. *Curr Med Res Opin*, 26(7):1715-31.
- García-Belenguer, S., Grasa, L., Valero, O., Palacio, J., Luno, I., and Rosado, B. (2021). Gut microbiota in canine idiopathic epilepsy: effects of disease and treatment. *Animals*, 11, 3121.
- Gaweł, S., Wardas, M., Niedworok, E., and Wardas, P. (2004). Dialdehyd malonowy (MDA) jako wskaźnik procesów peroksydacji lipidów w organizmie. *Malondialdehyde (MDA) as a lipid peroxidation marker. Wiadomosci lekarskie (Warsaw, Poland : 1960)*, 57(9-10), 453–455.
- Gessner, P.K. (1995). Isobolographic analysis of interactions: an update on applications and utility. *Toxicology*, 105(2-3): 161–179.
- Ghodke, P.Y., Thorn, C.F., Lamba, J.K., Leeder, J.S., Song, W., Birnbaum, A.K., Altman, R.B., and Klein, T.E. (2013). Valproic acid pathway: pharmacokinetics and pharmacodynamics. *Pharmacogenet Genomics*, 23(4):236-41.
- Giourou, E., Stavropoulou-Deli, A., Giannakopoulou, A., Kostopoulos, G.K., and Koutroumanidis, M. (2015). Introduction to Epilepsy and Related Brain Disorders. In: Voros, N., Antonopoulos, C.

- (eds). *Cyberphysical Systems for Epilepsy and Related Brain Disorders*. Springer, Cham, pp. 11-38.
- Gorter, J.A., Van-Vliet, E.A., and da Silva, F.H.L. (2016). Which insights have we gained from the kindling and post-status epilepticus models? *J Neurosci Methods*, 260:96–108.
- Graves, R.C., Oehler, K., and Tingle, L.E. (2012). Febrile seizures: risks, evaluation, and prognosis. *American Family Physician*, 85 (2): 149–53.
- Grosser, T., Fries, S., and FitzGerald, G.A. (2006). Biological basis for the cardiovascular consequences of COX-2 inhibition: therapeutic challenges and opportunities. *J Clin Invest*, 116(1):4-15.
- Habtamu, A., Argaw, R., Tuli, W., and Moges, A. (2023). magnitude and determinant factors of pediatrics seizures in pediatrics emergency unit at Tikur Anbessa Specialized Hospital, Addis Ababa, Ethiopia, 2020: A Retrospective and Descriptive Study. *Behavioural neurology*, 3967899.
- Hains, K.M., Maston, L.M., Dunn, E.N., Ardinger, C.E., Lee-Stubbs, R., Bibi, D., and McDonough, J.H. (2007). Comparative efficacy of valnoctamide and sec-butylpropylacetamide (SPD) in terminating nerve agent–induced seizures in pediatric rats. *Epilepsia*, 2, 315–321.
- Hasani, A.S., Soljakova, M., Jakupi, M.H., and Ustalar-Ozgen, S.Z. (2011). Preemptive analgesic effect of diclofenac: experimental study in rats. *Middle East journal of anaesthesiology*, 21(3), 355–360.
- Hauptmann, A. (1912) Luminal bei epilepsie. *Munch Med Wochenschr*, 59:1907–1909.

- Heuzeroth, H., Wawra, M., Fidzinski. P., Dag. R., and Holtkamp, M. (2019). The 4-aminopyridine model of acute seizures *in vitro* elucidates efficacy of new antiepileptic drugs. *Front Neurosci-Switz*, 13:677.
- Higashi, Y., Aratake, T., Shimizu, T., Shimizu, S., and Saito, M. (2021). Protective Role of Glutathione in the Hippocampus after Brain Ischemia. *International journal of molecular sciences*, 22(15), 7765.
- Hu, S., Sheng, W.S., Ehrlich, L.C., Peterson, P.K., and Chao, C.C. (2000). Cytokine effects on glutamate uptake by human astrocytes. *Neuroimmunomodulation*, 7(3):153–9.
- Huang, Y.J., Huang, Y., Baldassarre, H., Wang, B., Lazaris, A., Leduc, M., Bilodeau, A.S., Bellemare, A., Côté, M., Herskovits, P., Touati, M., Turcotte, C., Valeanu, L., Lemée, N., Wilgus, H., Bégin, I., Bhatia, B., Rao, K., Neveu, N., Brochu, E., and Langermann, S. (2007). Recombinant human butyrylcholinesterase from milk of transgenic animals to protect against organophosphate poisoning. *Proceedings of the National Academy of Sciences of the United States of America*, 104(34), 13603–13608.
- Huff, J.S., and Murr, N. [Updated 2023 Feb 7]. Seizure. In: StatPearls. Treasure Island (FL): StatPearls Publishing, 2024 Jan-. Available from: www.ncbi.nlm.nih.gov/books/NBK430765
- Hui, Y.Y., Ahmad, N., and Makmor-Bakry, M. (2013). Pathogenesis of epilepsy: challenges in animal models. *Iranian journal of basic medical sciences*, 16(11):1119–32.
- Hussain, R., Ullah, H., Rahim, F., Sarfraz, M., Taha, M., Iqbal, R., Rehman, W., Khan, S., Shah, S.A.A., Hyder, S., Alhomrani, M.,

- Alamri, A.S., Abdulaziz, O., and Abdelaziz, M.A. (2022). Multipotent Cholinesterase Inhibitors for the Treatment of Alzheimer's Disease: Synthesis, Biological Analysis and Molecular Docking Study of Benzimidazole-Based Thiazole Derivatives. *Molecules* (Basel, Switzerland), 27(18), 6087.
- Hyman, M. (2011) Glutathione: The Mother of All Antioxidants. The Blog. Available from: www.huffingtonpost.com/dr-mark-hyman/glutathione-the-mother-of_b_530494.html.
- Ighodaro, E.T., Maini, K., Arya, K, and Sharma, S. [Updated 2023 Sep 24]. Focal Onset Seizure. In: StatPearls [Internet]. Treasure Island (FL): StatPearls Publishing; 2024 Jan-. Available from: www.ncbi.nlm.nih.gov/books/NBK500005/
- Ikonomidou-Turski, C., Cavalheiro, E.A., Turski, L., Bortolotto, Z.A., Kleinrok, Z., Calderazzo-Filho, L.S., and Turski, W.A. (1988). Differential effects of non-steroidal anti-inflammatory drugs on seizures produced by pilocarpine in rats. *Brain research*, 462(2), 275–285.
- Imanishi, J., Morita, Y., Yoshimi, E., Kuroda, K., Masunaga, T., Yamagami, K., Kuno, M., Hamachi, E., Aoki, S., Takahashi, F., Nakamura, K., Miyata, S., Ohkubo, Y., and Mutoh, S. (2011). Pharmacological profile of FK881(ASP6537), a novel potent and selective cyclooxygenase-1 inhibitor. *Biochemical pharmacology*, 82(7), 746–754.
- Iwuozo, E.U., Obiako, O.R., Ejiofor, J.I., Kehinde, J.A., and Abubakar, S.A. (2019). Effect of epilepsy and antiepileptic drugs therapy on erythrocyte malondialdehyde and some antioxidants in persons with epilepsy. *West African journal of medicine*, 36(3), 211–216.

- James, R.C.; Goodman, D.R.; and Harbison, R.D. (1982). Hepatic glutathione and hepatotoxicity: changes induced by selected narcotics. *Journal of Pharmacology and Experimental Therapeutics*, 221(3), 708-714.
- Javed, M.A., Ashraf, N., Saeed Jan, M., Mahnashi, M.H., Alqahtani, Y. S., Alyami, B.A., Alqarni, A.O., Asiri, Y.I., Ikram, M., Sadiq, A., and Rashid, U. (2021). Structural modification, *In Vitro*, *In Vivo*, Ex Vivo, and In Silico Exploration of pyrimidine and pyrrolidine cores for targeting enzymes associated with neuroinflammation and Cholinergic Deficit in Alzheimer's Disease. *ACS chemical neuroscience*, 12(21), 4123–4143.
- Javed, M.A., Bibi, S., Jan, M.S., Ikram, M., Zaidi, A., Farooq, U., Sadiq, A., and Rashid, U. (2022). Diclofenac derivatives as concomitant inhibitors of cholinesterase, monoamine oxidase, cyclooxygenase-2 and 5-lipoxygenase for the treatment of Alzheimer's disease: synthesis, pharmacology, toxicity and docking studies. *RSC advances*, 12(35), 22503–22517.
- Johannessen, L.C. (2008). Relations between mechanisms of action and clinical efficacy of antiepileptic drugs in non-epilepsy conditions. *CNS Drugs*, 22:27–47.
- Johannessen, L.C., Larsson, P.G., Rytter, E., and Johannessen, S.I. (2009). Antiepileptic drugs in epilepsy and other disorders: A population-based study of prescriptions. *Epilepsy Res*, 87:31–39.
- Johne, M., Römermann, K., Hampel, P., Gailus, B., Theilmann, W., Ala-Kurikka, T., Kaila, K., and Löscher, W. (2021). Phenobarbital and midazolam suppress neonatal seizures in a noninvasive rat model of birth asphyxia, whereas bumetanide is ineffective. *Epilepsia*, 62(4), 920–934.

- Johnson, D.D., Crawford, K.D., and Crawford, R.D. (1983). Febrile seizures in epileptic chicks: the effects of phenobarbital, phenytoin and valproate. *The Canadian journal of neurological sciences. Le journal canadien des sciences neurologiques*, 10(2), 96–99.
- Jukier, T., Gross, A., and Boothe, D. (2024). Pharmacokinetics and tolerability of a veterinary phenobarbital product in healthy dogs. *Frontiers in veterinary science*, 10, 1307888.
- Kaila, K., Price, T.J., Payne, J.A., Puskarjov, M., and Voipio, J. (2014). Cationchloride cotransporters in neuronal development, plasticity and disease. *Nat. Rev. Neurosci.*, 15, 637–654.
- Kandratavicius, L., Balista, P.A., Lopes-Aguiar, C., Ruggiero, R.N., Umeoka, E.H., and Garcia-Cairasco, N. (2014). Animal models of epilepsy: use and limitations. *Neuropsych Dis Treat*, 1693–705.
- Kann, O., and Kovács, R. (2007). Mitochondria and neuronal activity. *American journal of physiology. Cell physiology*, 292(2), C641–C657.
- Katz, M.H. (2006). Bivariate statistics. In: Katz, M.H. (editor), *study design and statistical analysis*. Cambridge University Press, New York, USA, pp: 66-119.
- Keppel, H.J.M. (2017). Phenytoin: a step by step insight into its multiple mechanisms of action-80 years of mechanistic studies in neuropharmacology. *J Neurol*, 264(9):2043-2047.
- Kim, H., Kim, D.W., Lee, S.T., Byun, J.I., Seo, J.G., No, Y.J., Kang, K.W., Kim, D., Kim, K.T., Cho, Y.W., and Yang, K.I. (2020). Antiepileptic Drug Selection According to Seizure Type in Adult Patients with Epilepsy. *Journal of clinical neurology*, 16(4): 547–555.

- Kim, H.Y., Suh, P.G., and Kim, J. I. (2021). The Role of Phospholipase C in GABAergic Inhibition and Its Relevance to Epilepsy. *International journal of molecular sciences*, 22(6), 3149.
- Klein, P., Dingledine, R., Aronica, E., Bernard, C., Blümcke, I., Boison, D., Brodie, M.J., Brook-Kajal, A.R., Jr., Forcelli, P.A., Hirsch, L.J., Kaminski, R.M., Klitgaard, H., Kobow, K., Lowenstein, D.H., Pearl, P.L., Pitkanen, A., Puhakka, N., Rogawski, M.A., Schmidt, D., and Löscher, W. (2018). Commonalities in epileptogenic processes from different acute brain insults: Do they translate? *Epilepsia*, 59(1), 37–66.
- Knebel, A., Kampe, A., Carlson, R., Rohn, K., and Tipold, A. (2022). Th17 cell-mediated immune response in a subpopulation of dogs with idiopathic epilepsy. *PLoS ONE*., 17, e0262285.
- Kostadinova, I., and Danchev, N. (2019) 4-aminopyridine – the new old drug for the treatment of neurodegenerative diseases. *Pharmacia* 66(2): 67-74.
- Kukkar, A., Bali, A., Singh, N., and Jaggi, A.S. (2013). Implications and mechanism of action of gabapentin in neuropathic pain. *Arch Pharm Res*, 36(3):237-51.
- Kunkl, M., Amormino, C., Tedeschi, V., Fiorillo, M.T., and Tuosto, L. (2022). Astrocytes and inflammatory T helper Cells: A dangerous liaison in multiple sclerosis. *Frontiers in immunology*, 13, 824411.
- Landmark, C.J., and Johannessen, S.I. (2020). Therapeutic monitoring of antiepileptic drugs. *Handbook of Analytical Separations*, Volume 7: 225-256.
- Lasoń, W., Chlebicka, M., and Rejdak, K. (2013). Research advances in basic mechanisms of seizures and antiepileptic drug action. *Pharmacological Reports*, 65(4):787-801.

- Lerma. J., and Marques, J.M. (2013). Kainate receptors in health and disease. *Neuron*, 80: 292–311.
- Levesque, M., and Avoli, M. (2013) .The kainic acid model of temporal lobe epilepsy. *Neurosci Biobehav Rev*, 37(10):2887- 99.
- Levesque, M., Avoli, M., and Bernard, C. (2016). Animal models of temporal lobe epilepsy following systemic chemoconvulsant administration. *J Neurosci Methods*, 260:45–52.
- Levy, F.E., Chauvelot-Moachon, L., Florentin, I., Forest, M., Pous, C., Fournier, C., and Giroud, J.P. (1991). Modification of inflammatory processes by phenobarbital in rats. *Inflammation*,15(6):471-80.
- Lewis, C.B., Patel, P., and Adams, N. [Updated 2024 Feb 28]. Phenobarbital. In: StatPearls [Internet]. Treasure Island (FL): StatPearls Publishing, 2024 Jan-. Available from: www.ncbi.nlm.nih.gov/books/NBK532277/
- Linton, M.F., and Fazio, S. (2008). Cyclooxygenase products and atherosclerosis. *Drug Discovery Today: Theraphy Strategies*, 5: 25–36
- Lobo, V., Patil, A., Phatak, A., and Chandra, N. (2010). Free radicals, antioxidants and functional foods: Impact on human health. *Pharmacognosy reviews*, 4(8), 118–126.
- López-Hernández, R., David, C., López, H., Eduardo, S., and Ancona, P. (2005). Ignacio Desarrollo sustentable o sostenible: una definición conceptual Horizonte Sanitario, vol. 4, núm. 2, mayo-agosto.
- Lorke, D.E., and Petroianu, G.A. (2019). Reversible cholinesterase inhibitors as pretreatment for exposure to organophosphates. A review. *J Appl Toxicol*, 39(1):101-16.

- Łukawski, K., and Czuczwarc, S.J. (2023). Oxidative stress and neurodegeneration in animal models of seizures and epilepsy. *Antioxidants*. 12(5):1049.
- Lumley, L., Niquet, J., Marrero-Rosado, B., Schultz, M., Rossetti, F., de Araujo Furtado, M., and Wasterlain, C. (2021). Treatment of acetylcholinesterase inhibitor-induced seizures with polytherapy targeting GABA and glutamate receptors. *Neuropharmacology*, 185, 108444.
- Luszczki, J.J., Panasiuk, A., Zagaja, M., Karwan, S., Bojar, H., Plewa, Z., and Florek-Łuszczki, M. (2020). Polygonogram and isobolographic analysis of interactions between various novel antiepileptic drugs in the 6-Hz corneal stimulation-induced seizure model in mice. *PloS one*, 15(6), e0234070.
- Maan, J.S., Duong, T.v.H., and Saadabadi, A.. [2023]. Carbamazepine. In: Treasure Island (FL): StatPearls Publishing, 2024 .Available from: www.ncbi.nlm.nih.gov/books/NBK482455/
- Macdonald, R.L., and Haas, K.F. (2000). Kinetic Properties of GABA_A Receptor Channels. In: Martin DL, Olsen RW, editors. *GABA in the Nervous System: The View at Fifty Years*. Lippincott Williams and Wilkins, Philadelphia, pp. 141–165.
- Malinska, D., Kulawiak, B., Kudin, A.P., Kovacs, R., Huchzermeyer, C., Kann, O., Szewczyk, A., and Kunz, W.S. (2010). Complex III-dependent superoxide production of brain mitochondria contributes to seizure-related ROS formation. *Biochimica et biophysica acta*, 1797(6-7), 1163–1170.
- Marsh, O., Corsini, G., Van Dijk, J., Gutierrez-Quintana, R., and De Risio, L. (2021). Prevalence and clinical characteristics of

- phenobarbitone-associated adverse effects in epileptic cats. *Journal of feline medicine and surgery*, 23(2), 59–66.
- Massoulié, J., Pezzementi, L., Bon, S., Krejci, E., and Vallette, F.M. (1993). Molecular and cellular biology of cholinesterases. *Progress in neurobiology*, 41(1), 31–91.
- Mercimek-Mahmutoglu, S., Sidky, S., Hyland, K., Patel, J., Donner, E.J., and Logan, W. (2015). Prevalence of inherited neurotransmitter disorders in patients with movement disorders and epilepsy: a retrospective cohort study. *Orpha Net J. Rare Dis.*, 10,12.
- Miller, J. W., McKeon, A. C., and Ferrendelli, J. A. (1987). Functional anatomy of pentylenetetrazol and electroshock seizures in the rat brainstem. *Annals of neurology*, 22(5): 615–621.
- Miller, R.D., Dennissen, P.A., van der Pol, F., Agoston, S., Booij, L.H., and Crul, J.F. (1978). Potentiation of neostigmine and pyridostigmine by 4-aminopyridine in the rat. *The Journal of pharmacy and pharmacology*, 30(11), 699–702.
- Mograbi, K.M., de Castro, A.C., de Oliveira, J.A., Sales, P.J., Covolan, L., Del Bel, E.A., and de Souza, A.S. (2017). Effects of GABAa receptor antagonists on motor behavior in pharmacological Parkinson's disease model in mice. *Physiological reports*, 5(6), e13081.
- Mohammad, F.K.; Bhattacharyya, H.K.; Fazili, M.R.; Nasreen, S.;Jeelani, S.G.; Sheikh, N.A.; Teli, S.A.; Ali, S.L.; Shah, K.A., and Qureshi, S. (2007). Review of a practical electrometric method for determination-of blood and tissue cholinesterase activities in Animals. *Feedback*, 2, 16.
- Mohammad, F.K.; Faris, G.A.; and Al-Kassim, N.A. (1997). A modified electrometric method for measurement of erythrocyte

- acetylcholinesterase activity in sheep. *Veterinary and Human Toxicology*, 39(6), 337-339.
- Mohammad-Zadeh, M., Azhdari-Zarmehri, H., Mosavi, F., Haghdoost-Yazdi, H., Nazeri, M., and Shabani, M. (2014). Modulation of Different Phases of Formalin Test by Force Swim Stress. *Basic and clinical neuroscience*, 5(4), 303–307.
- Muraoka, S., and Miura, T. (2009). Inactivation of cholinesterase induced by non-steroidal anti-inflammatory drugs with horseradish peroxidase: implication for Alzheimer's disease. *Life*
- Murley, A.G., and Rowe, J.B. (2018). Neurotransmitter deficits from frontotemporal lobar degeneration. *Brain*, 141:1263–1285.
- Musser J.M. (2010). Pharmacokinetics of flunixin in chickens after oral and intravenous administration. *Journal of veterinary Pharmacology and Therapeutics*, 33(3), 312–314.
- Nakayama, H., Echizen, H., Ogawa, R., Orii, T., and Kato, T. (2019). Reduced Clearance of Phenobarbital in Advanced Cancer Patients near the End of Life. *Eur J Drug Metab Pharmacokinet*, 44(1):77-82.
- Naser, A., albadrany, Y., and Shaaban, K.A. (2021). 'Methods of pain assessment in chicks as a model', *Egyptian Journal of Veterinary Sciences*, 52(2), pp. 241-249.
- Naser, A.S., and Albadrany, Y.M. (2021). 'The neurobehavioral effects of flumazenil in chicks', *Iraqi Journal of Veterinary Sciences*, 35(4), 783-788.
- National Toxicology Program,. (1992). Institute of Environmental Health Sciences, National Institutes of Health (NTP). National Toxicology Program Chemical Repository Database. Research Triangle Park, North Carolina.

- Nuhu, F., Gordon, A., Sturmey, R., Seymour, A.M., and Bhandari, S. (2020). Measurement of glutathione as a tool for oxidative stress studies by high performance liquid chromatography. *Molecules* Basel, Switzerland, 25(18), 4196.
- Nurit, K., and Joseph, Y. (1985). Early phenobarbital-induced alterations in hippocampal acetylcholinesterase activity and behavior, *Developmental Brain Research*. 22(1): 113-123.
- Ohkawa, H.; Ohishi, N.; and Yagi, K. (1979). Assay for lipid peroxides in animal tissues by thiobarbituric acid reaction. *Analytical biochemistry*, 95(2), 351-358.
- Oprića, M., Eriksson, C., and Schultzberg, M. (2003). Inflammatory mechanisms associated with brain damage induced by kainic acid with special reference to the interleukin-1 system. *J Cell Mol Med*, 7(2):127–40.
- Ortiz, M.I., Torres-López, J.E., Castañeda-Hernández, G., Rosas, R., Vidal-Cantú, G.C., and Granados-Soto, V. (2002). Pharmacological evidence for the activation of K⁺ channels by diclofenac. *European journal of pharmacology*, 438(1-2), 85–91.
- Oyler, D.R., Parli, S.E., Bernard, A.C., Chang, P.K., Procter, L.D., and Harned, M.E. (2015). Nonopioid management of acute pain associated with trauma: Focus on pharmacologic options. *J Trauma Acute Care Surg*, 79(3):475-83.
- Ozleyen, A., Yilmaz, Y.B., Donmez, S., Atalay, H.N., Antika, G., and Tumer, T.B. (2023). Looking at NSAIDs from a historical perspective and their current status in drug repurposing for cancer treatment and prevention. *Journal of cancer research and clinical oncology*, 149(5), 2095–2113.

- Pannunzio, A., and Coluccia, M. (2018). Cyclooxygenase-1 (COX-1) and COX-1 Inhibitors in Cancer: A Review of Oncology and Medicinal Chemistry Literature. *Pharmaceuticals*. Basel, Switzerland, 11(4), 101.
- Pavone, P., Pappalardo, X.G., Parano, E., Falsaperla, R., Marino, S.D., Fink, J.K., and Ruggieri, M. (2022). Fever-Associated Seizures or Epilepsy: An Overview of Old and Recent Literature Acquisitions. *Frontiers in pediatrics*, 10, 858945.
- Pereira, E. F., Aracava, Y., DeTolla, L. J., Jr, Beecham, E. J., Basinger, G. W., Jr, Wakayama, E. J., and Albuquerque, E. X. (2014). Animal models that best reproduce the clinical manifestations of human intoxication with organophosphorus compounds. *The Journal of pharmacology and experimental therapeutics*, 350(2), 313–321.
- Petrie, A., and Watson, P. (1999). *Statistics for Veterinary and Animal Sciences*. Blackwell Science, Oxford, pp. 90-140.
- Phillips, W. J., and Currier, B. L. (2004). Analgesic pharmacology: II. Specific analgesics. *The Journal of the American Academy of Orthopaedic Surgeons*, 12(4), 221–233.
- Pickering, M., Cumiskey, D., and O'Connor, J.J. (2005). Actions of TNF-alpha on glutamatergic synaptic transmission in the central nervous system. *Exp Physiol*, 90(5):663–70.
- Platteau, C., Lefebvre, J., Hemon, S., Baehtz, C. Florence, D., and Prevost, D. (2005) Experimental Crystal Structure Determination, CCDC 263169:
- Rahman, I., Biswas, S.K., and Kode, A. (2006). Oxidant and antioxidant balance in the airways and airway diseases. *European journal of pharmacology*, 533(1-3), 222–239.

- Rainsford, K.D. (2007). Anti-Inflammatory Drugs in the 21st Century. In: Harris, R.E., et al. Inflammation in the Pathogenesis of Chronic Diseases. *Subcellular Biochemistry*, vol 42, 3–27.
- Teleanu, R. I., Niculescu, A. G., Roza, E., Vladâcenco, O., Grumezescu, A. M., and Teleanu, D. M. (2022). Neurotransmitters-Key factors in neurological and neurodegenerative disorders of the central nervous system. *International journal of molecular sciences*, 23(11), 5954.
- Ramesh, C.G., and Dejan, M. (2014). *Biomarkers in Toxicology*. ed2. hopkinsville Kentucky, academic press is an imprint of Elsevier.
- Rao, R.S., Medhi, B., Saikia, U.N., Arora, S.K., Toor, J.S., Khanduja, K. L., and Pandhi, P. (2008). Experimentally induced various inflammatory models and seizure: understanding the role of cytokine in rat. *European neuropsychopharmacology : the journal of the European College of Neuropsychopharmacology*, 18(10), 760–767.
- Ravizza, T., Balosso, S., and Vezzani, A. (2011). Inflammation and prevention of epileptogenesis. *Neuroscience Letters*, 497(3): 223–230.
- Reddy, D.S., Perumal, D., Golub, V., Habib, A., Kuruba, R., and Wu, X. (2020). Phenobarbital as alternate anticonvulsant for organophosphate-induced benzodiazepine-refractory status epilepticus and neuronal injury. *Epilepsia open*, 5(2), 198–212.
- Reimer, J.N., Schuster, C.J., Knight, C.G., Pang, D.S.J., and Leung, V. S.Y. (2020). Intraperitoneal injection of sodium pentobarbital has the potential to elicit pain in adult rats (*Rattus norvegicus*). *PloS one*, 15(9), e0238123.

- Rho, J.M., and White, H.S. (2018). Brief history of anti-seizure drug development. *Epilepsia open*, 3(2), 114–119.
- Riazi, K., Galic, M.A., and Pittman, Q.J. (2010). Contributions of peripheral inflammation to seizure susceptibility: Cytokines and brain excitability. *Epilepsy Research*, 89, 34–42.
- Richard, I., Neil, E.J., and Charles, R.J.C. (2005). Pathogeneses, clinical features and neurological outcome of cerebral malaria. *Lancet Neurol*, 4(12):827–840.
- Rivera, C. (1999) The K^+ / Cl^- co-transporter KCC2 renders GABA hyperpolarizing during neuronal maturation. *Nature*, 397, 251–255.
- Roberts, I., and Sydenham, E. (2012). Barbiturates for acute traumatic brain injury. *Cochrane Database Syst Rev*, 12,12(12):CD000033.
- Rouzer, C.A., and Marnett, L.J. (2020). Structural and chemical biology of the interaction of cyclooxygenase with substrates and non-steroidal anti-inflammatory drugs. *Chemical reviews*, 120(15), 7592–7641.
- Sahu, D.R., Chowdhury, B., and Sahoo, B.M. (2020). Anti-convulsant action and attenuation of oxidative stress by citrus limon peel extracts in PTZ and MES induced convulsion in Albino rats. *Central nervous system agents in medicinal chemistry*, 20(3), 177–185.
- Sallmann, A.R. (1986). The history of diclofenac. *The American Journal of Medicine*, 28: 80(4):29-33.
- Samad, T.A., Sapirstein, A., and Woolf, C.J. (2002). Prostanoids and pain: unraveling mechanisms and revealing therapeutic targets. *Trends Mol Med*, 8:390–6. doi: 10.1016/S1471-4914(02)02383-3.

- Samland, H., Huitron-Resendiz, S., Masliah, E., Criado, J., Henriksen, S.J., and Campbell, I.L. (2003). Profound increase in sensitivity to glutamatergic- but not cholinergic agonist-induced seizures in transgenic mice with astrocyte production of IL-6. *J Neurosci Res*, 73(2):176–87.
- Sande, R., Doshi, G., and Godad, A. (2023). Deciphering the role of metal and non-metals in the treatment of epilepsy. *Neurochemistry international*, 167, 105536.
- Satarker, S., Bojja, S.L., Gurram, P.C., Mudgal, J., Arora, D., and Nampoothiri, M. (2022). Astrocytic Glutamatergic Transmission and Its Implications in Neurodegenerative Disorders. *Cells*, 11:1139.
- Scorza, F.A., Arida, R.M., Naffah-Mazzacoratti, M.D., Scerni, D.A., Calderazzo, L., and Cavalheiro, E.A. (2009). The pilocarpine model of epilepsy: what have we learned?. *An Acad Bras*, 81(3):345-65.
- Seibenhenner, M.L., and Wooten, M.C. (2015). Use of the Open Field Maze to measure locomotor and anxiety-like behavior in mice. *Journal of visualized experiments* : (96), e52434.
- Shekelle, P.G., Newberry, S.J., FitzGerald, J.D., Motala, A., O'Hanlon, C.E., Tariq, A., Okunogbe, A., Han, D., and Shanman, R. (2017). Management of Gout: A Systematic review in support of an American college of physicians clinical practice guideline. *Ann Intern Med*, 166(1):37-51.
- Shorvon, S.D., Andermann, F., and Guerrini, R. (2011). The causes of epilepsy. Cambridge University Press, Cambridge.

- Singh, R., Bansal, D., Baduni, N., and Vajifdar, H. (2011). Anaphylactic reaction to intravenous diclofenac. *Indian J Crit Care Med*, 15(1):37-9.
- Sinha, S., Patil, S.A., Jayalekshmy, V., and Satishchandra, P. (2008). Do cytokines have any role in epilepsy?. *Epilepsy research*, 82(2-3), 171–176.
- Sivarajan, D., and Ramachandran, B. (2023). Antibiotics modulate frequency and early generation of epileptic seizures in zebrafish. *Experimental brain research*, 241(2), 571–583.
- Small, R.E. (1989). Diclofenac sodium. *Clinical pharmacy*, 8(8), 545–558.
- Smolinske, S.C., Hall, A.H., Vandenberg, S.A., Spoerke, D.G., and McBride P.V. (1990). Toxic effects of nonsteroidal anti-inflammatory drugs in overdose. An overview of recent evidence on clinical effects and dose-response relationships. *Drug Saf*, 5(4):252-74.
- Smyth, E.M., Grosser, T., Wang, M., Yu, Y., and FitzGerald, G.A. (2009). Prostanoids in health and disease. *Journal of Lipid Research*, 50: 423–428.
- Sri Hari, A., Banerji, R., Liang, L.P., Fulton, R.E., Huynh, C.Q., Fabisiak, T., McElroy, P.B., Roede, J.R., and Patel, M. (2023). Increasing glutathione levels by a novel posttranslational mechanism inhibits neuronal hyperexcitability. *Redox biology*, 67, 102895.
- Stafstrom, C.E., and Carmant, L. (2015). Seizures and Epilepsy: An Overview for Neuroscientists. *Cold Spring Harbor Perspectives in Medicine*. 5(6): a022426.

- Suddock, J.T., Kent, K.J., Regina, A.C., and Cain, M.D. [2024]. Barbiturate Toxicity. In: Treasure Island (FL): StatPearls Publishing, 2024. Available from: www.ncbi.nlm.nih.gov/books/NBK499875/
- Szczuko, M., Kozioł, I., Kotlega, D., Brodowski, J., and Drozd, A. (2021). The Role of Thromboxane in the Course and Treatment of Ischemic Stroke: Review. International journal of molecular sciences, 22(21), 11644.
- Takeuchi, K., and Amagase, K. (2018). Roles of Cyclooxygenase, Prostaglandin E2 and EP Receptors in Mucosal Protection and Ulcer Healing in the Gastrointestinal Tract. Curr Pharm Des, 24(18):2002-2011.
- Tang, C., and Prueksaritanont, T. (2010). Use of *in vivo* animal models to assess pharmacokinetic drug-drug interactions. Pharmaceutical research, 27(9), 1772–1787.
- Tatem, K.S., Quinn, J.L., Phadke, A., Yu, Q., Gordish-Dressman, H., and Nagaraju, K. (2014). Behavioral and locomotor measurements using an open field activity monitoring system for skeletal muscle diseases. Journal of visualized experiments: (91), 51785.
- Teresa, R., Silvia, B., and Annamaria, V. (2011). Inflammation and prevention of epileptogenesis. Neuroscience Letters, 497(3): 223-230.
- Thierry, A., Falilatou, A., Covalic, B., Elodie, D., Mentinatou, A., Didier, A., Alphonse, N., and Joseph, A. (2020). Epilepsy and Malaria in Children Aged 1 to 15 Years in Parakou in 2018: Case-Control Study. Child neurology open, 7, 2329048X20954111.

- Tjølsen, A., Berge, O. G., Hunskaar, S., Rosland, J. H., and Hole, K. (1992). The formalin test: an evaluation of the method. *Pain*, 51(1), 5–17.
- Todd, P. A., and Sorkin, E. M. (1988). Diclofenac sodium. A reappraisal of its pharmacodynamic and pharmacokinetic properties, and therapeutic efficacy. *Drugs*, 35(3), 244–285.
- Tolou-Ghamari, Z., Zare, M., Habibabadi, J.M., and Najafi, M.R. (2013). A quick review of carbamazepine pharmacokinetics in epilepsy from 1953 to 2012. *J Res Med Sci*, 18(Suppl 1): S81-5
- Toman, J.E.P., Swinyard, E.A., and Goodman, L.S. (1964). Properties of maximal seizures and their alteration by anticonvulsant drugs and other agents. *J Neurophysiol*, 9:231–9
- Turner, P.V., Pang, D.S., and Lofgren, J.L. (2019). A Review of Pain Assessment Methods in Laboratory Rodents. *Comparative medicine*, 69(6), 451–467.
- Turrin, N.P., and Rivest, S. (2004). Innate immune reaction in response to seizures: implications for the neuropathology associated with epilepsy. *Neurobiol Dis*, 16(2):321–34.
- Valton, L., Benaiteau, M., Denuelle, M., Rulquin, F., Hachon, C. C., Hein, C., Viguier, A., and Curot, J. (2020). Etiological assessment of status epilepticus. *Revue Neurologique*, 176(6):408-426.
- Velíšek, L. (2006). Models of chemically-induced acute seizures. *Models of seizures and epilepsy*, 127–52.
- Verrotti, A., Striano, P., Iapadre, G., Zagaroli, L., Bonanni, P., Coppola, G., Elia, M., Mecarelli, O., Franzoni, E., Liso, P., Vigevano, F., and Curatolo, P. (2018). The pharmacological management of Lennox-Gastaut syndrome and critical literature review. *Seizure*, 63:17-25.

- Vezzani, A. (2015). Anti-inflammatory drugs in epilepsy: does it impact epileptogenesis? *Expert Opinion on Drug Safety*, 14(4), 583–592.
- Vezzani, A., Aronica, E., Mazarati, A., and Pittman, Q.J. (2013). Epilepsy and brain inflammation. *Experimental Neurology*, 244, 11–21.
- Vezzani, A., Conti, M., De Luigi, A., Ravizza, T., Moneta, D., Marchesi, F., and De Simoni, M.G. (1999). Interleukin-1 beta immunoreactivity and microglia are enhanced in the rat hippocampus by focal kainate application: functional evidence for enhancement of electrographic seizures. *The Journal of neuroscience : the official journal of the Society for Neuroscience*, 19(12), 5054–5065.
- Vezzani, A., French, J., Bartfai, T., and Baram, T.Z. (2011). The role of inflammation in epilepsy. *Nature Reviews. Neurology*, 1, 31-40.
- Vieira, V., Glassmann, D., Marafon, P., Pereira, P., Gomez, R., and Coitinho, A.S. (2016). Effect of diclofenac sodium on seizures and inflammatory profile induced by kindling seizure model. *Epilepsy Research*, 127, 107–113.
- Virta, M., Hurme, M., and Helminen, M. (2002). Increased plasma levels of pro- and anti-inflammatory cytokines in patients with febrile seizures. *Epilepsia*, 43(8), 920–923.
- Viviani, B., Gardoni, F., and Marinovich, M. (2007). Cytokines and neuronal ion channels in health and disease. *Int Rev Neurobiol*, 82:247–63.
- Voilley, N., de Weille, J., Mamet, J., and Lazdunski, M. (2001). Nonsteroid anti-inflammatory drugs inhibit both the activity and the inflammation-induced expression of acid-sensing ion channels

- in nociceptors. *The Journal of neuroscience : the official journal of the Society for Neuroscience*, 21(20), 8026–8033.
- Waldbaum, S., Liang, L.P., and Patel, M. (2010). Persistent impairment of mitochondrial and tissue redox status during lithium-pilocarpine-induced epileptogenesis. *Journal of neurochemistry*, 115(5), 1172–1182.
- Walker, C. (2018). Are All Oral COX-2 Selective Inhibitors the Same? A Consideration of Celecoxib, Etoricoxib, and Diclofenac. *International journal of rheumatology*. 1302835.
- Walker, L., and Sills, G.J. (2012). Inflammation and epilepsy: the foundations for a new therapeutic approach in epilepsy?. *Epilepsy currents*, 12(1), 8–12.
- Wang, G., Wang, J., Xin, C., Xiao, J., Liang, J., and Wu, X. (2021). Inflammatory response in epilepsy is mediated by glial cell gap junction pathway (Review). *Molecular medicine reports*, 24(1), 493.
- Wanleenuwat, P., Suntharampillai, N., and Iwanowski, P. (2020). Antibiotic-induced epileptic seizures: mechanisms of action and clinical considerations. *Seizure*, 81, 167–174.
- Wasterlain, C.G., Fujikawa, D.G., Penix, L., and Sankar, R. (1993). Pathophysiological mechanisms of brain damage from status epilepticus. *Epilepsia*, 34 (1), S37–S53.
- Wheless, J.W., Clarke, D.F., Arzimanoglou, A., and Carpenter, D. (2007). Treatment of pediatric epilepsy: European expert opinion. *Epileptic Disorders*, 9: 353–412.
- Wu, Z.Z., Li, D.P., Chen, S. R., and Pan, H.L. (2009). Aminopyridines potentiate synaptic and neuromuscular transmission by targeting

- the voltage-activated calcium channel beta subunit. *The Journal of Biological Chemistry*, 284 (52): 36453–36461
- Yamaguchi, S., and Rogawski, M.A. (1992). Effects of anticonvulsant drugs on 4-aminopyridine-induced seizures in mice. *Epilepsy Research*, 11 (1): 9–16.
- Yi, L., Yuanyuan, L., Haowei, W., Xiaohui, X., Ping, W., and Fangshi, L. (2013). Synthesis, Crystal Structure, Vibration Spectral, and DFT Studies of 4-Aminoantipyrine and Its Derivatives. *Molecules*. 18(1): 877-893
- Zalkhani, R. (2020). Several models of induction seizure and epilepsy in experimental animals. *Journal of Research in Applied and Basic Medical Sciences*, 6(4): 252-261.
- Zauska, L., Bova, S., Benova, E., Bednarcik, J., Balaz, M., Zelenak, V., Hornebecq, V., and Almasi, M. (2021). Thermosensitive Drug Delivery System SBA-15-PEI for Controlled Release of Nonsteroidal Anti-Inflammatory Drug Diclofenac Sodium Salt: A Comparative Study. *Materials*. 14, 1880.
- Zidar, N., Odar, K., Glavac, D., Jerse, M., Zupanc, T., & Stajer, D. (2009). Cyclooxygenase in normal human tissues--is COX-1 really a constitutive isoform, and COX-2 an inducible isoform?. *Journal of cellular and molecular medicine*, 13(9), 3753–3763.

الملاحق

Appendices

الملحق (1): حساب الجرعة المميتة الوسطية (الجم-50)

الجزء الثاني من السلسلة	K تمثل سلسلة الاختبارات التي تبدأ كما يأتي				الخطأ القياسي	
	O	OO	OOO	OOOO		
XOOO	0.157-	0.154-	0.154-	0.154-	OXXX	0.61
XOOX	0.878-	0.861-	0.860-	0.860-	OXXO	
XOXO	0.701	0.737	0.741	0.741	OXOX	
XOXX	0.084	0.169	0.181	0.182	OXOO	
XXOO	0.305	0.327	0.380	0.381	OOXX	
XXOX	0.305-	0.169-	0.144-	0.142-	OOXO	
XXXO	1.288	1.500	1.544	1.549	OOOX	
XXXX	0.555	0.897	0.985	1.000	OOOO	
	X	XX	XXX	XXXX	الجزء الثاني	
	K- تمثل سلسلة الاختبارات التي تبدأ كما يأتي					

O: تعني الحياة

X: تعني الموت

$$LD_{50} = xf + Kd$$

إذ إن:

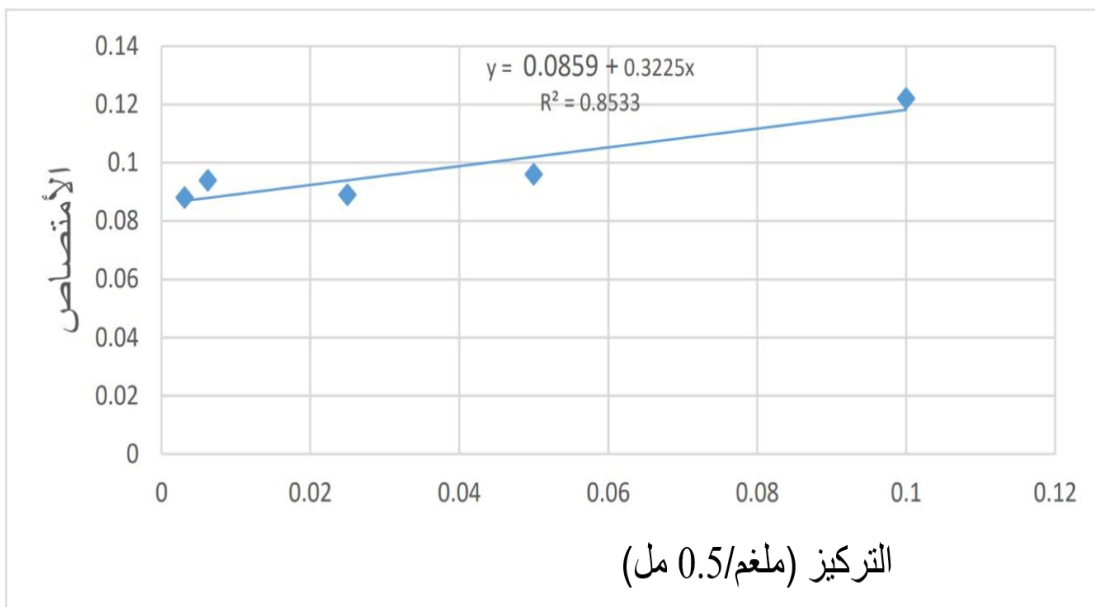
LD₅₀: الجرعة المميتة الوسطية (الجم -50)

xf: آخر جرعة مستعملة في التجربة

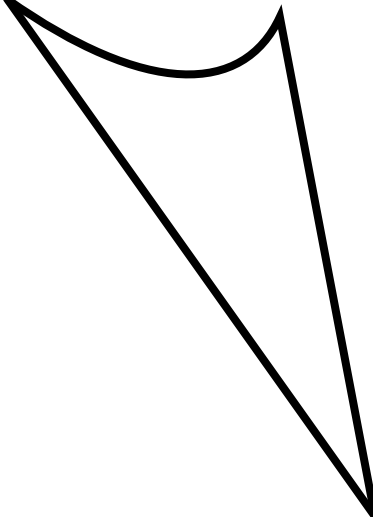
K: القيمة الجدولية

d: مقدار الزيادة أو النقصان في الجرعة المعطاة

الملحق (2): المنحنى القياسي لتركيز الكلوتاينون



Abstract



Abstract

The aim of this study was to give 4-aminopyridine for inducing nerve convulsions and to observe the interaction of 4-aminopyridine with anti-inflammatory and anticonvulsant drugs in a model of chicks, for the possibility of using these drugs alone or together to prevent the occurrence of nerve convulsions, and to evaluate these drug compounds in this model for the purposes of research, as well as observation of neurobehavioral and biochemical tests resulting from the interaction of these drugs.

The median lethal dose (LD-50) of 4-aminopyridine alone intraperitoneal was 62.6 mg/kg body weight.

The median effective dose (ED-50) of 4-aminopyridine alone in the intraperitoneal was 32.63 mg/kg body weight, and diclofenac at 15 mg/kg intramuscularly before injecting 4-aminopyridine at 50 mg/kg intraperitoneal reduced the signs of 4-aminopyridine poisoning and this showed a significant increase in the time of onset of seizures compared to the control group.

The ED50 for anticonvulsant phenobarbital was 9.5 mg/kg, and the median effective dose of diclofenac was 7.5 mg/kg in preventing convulsions resulting from 4-aminopyridine injection.

The median effective dose of diclofenac and phenobarbital when given together was 0.5:0.5.

They are 3.03 and 4.02 mg/kg of body weight, respectively, and the drug interaction between diclofenac and phenobarbital appeared to be synergistic when given together at a ratio of 0.5:0.5.

Administration diclofenac before injecting 4-aminopyridine significantly reduced the incidence of seizure compared to the control group, as well as significantly increasing the time of seizure occurrence, while it did not affect the percentage of seizures occurring compared to the control group. Administration phenobarbital before 4-aminopyridine injection showed that 4-Aminopyridine significantly prevented the occurrence of seizure attacks compared to the control group, as well as a decrease in the percentage of occurrence of neurological seizures compared to the control group and the group treated with diclofenac. Injection of 4-aminopyridine alone led to the appearance of signs of poisoning and neurological seizures in 100% of the chicks.

Injection of 4-aminopyridine alone one hour and three hours after the injection caused a decrease in the motor activity of chicks inside the open field box compared to the control group and the other groups.

Injecting formalin at a concentration of 1% and with an injection volume of 0.05 ml into the paw of the right foot resulted in a significant decrease in the time it took the chick to raise the right foot in the group treated with formalin alone, the group treated with 4-aminopyridine alone, the group treated with 4-aminopyridine and phenobarbital, and the group treated with 4-aminopyridine alone, 4-Aminopyridine and diclofenac, and the group treated with 4-aminopyridine, diclofenac, and phenobarbital compared with the control group treated with physiological saline, and the chicks in the 4-aminopyridine and diclofenac group and the 4-aminopyridine and phenobarbital group showed a significant increase in the time it took the chick to raise the right foot compared to the treated group. treated with formalin alone and the group treated with 4-aminopyridine alone. The group treated with 4-aminopyridine alone showed a significant decrease in the concentration of glutathione in blood

plasma by 30% compared to the control group treated with physiological saline solution. The chicks treated with 4-aminopyridine alone, the group of 4-aminopyridine and phenobarbital, the group of 4-aminopyridine and diclofenac, and the group treated with 4-aminopyridine, phenobarbital and diclofenac showed a significant increase in the concentration of malondialdehyde in the blood plasma by 34%, 23%, 28%, and 24%, respectively, compared with the control group treated with the Physiological saline solution. The group treated with 4-aminopyridine alone, the group treated with 4-aminopyridine and phenobarbital, the group treated with 4-aminopyridine and diclofenac, and the group treated with 4-aminopyridine, phenobarbital and diclofenac showed a significant increase in the concentration of malondialdehyde in the brain by 82%, 25%, 28% and 26%, respectively, with the control group treated with Physiological saline solution.

The chicks treated with 4-aminopyridine alone and the group treated with 4-aminopyridine and diclofenac showed an inhibition in the level of cholinesterase in the blood plasma by 28% and 19%, respectively, compared with the control group. The group treated with 4-aminopyridine and phenobarbital showed a significant increase in the level of cholinesterase compared with the control group. The group treated with 4-aminopyridine alone, and the group of chicks treated with 4-aminopyridine alone showed an inhibition in the level of cholinesterase in the brain by 39% compared to the control group treated with physiological saline solution.

We conclude from our study that injection of 4-aminopyridine at a dose of 50 mg/kg body weight intraperitoneal caused 100% of the occurrence of nervous seizures in the chicks, and phenobarbital at 9.5 mg/kg prevented the occurrence of nervous seizures by 100% in the treated

Abstract

[D]

chicks, and diclofenac reduced at a dose of 7.5 mg/kg, the incidence of nervous seizures in chicks was reduced. 4-aminopyridine injections caused a significant decrease in the concentration of glutathione, a significant increase in the level of malondialdehyde, and a significant decrease in the level of the cholinesterase enzyme in the blood plasma and brain.

The Effect of Diclofenac and Phenobarbital in Seizures and Some Biochemical Biomarkers Induced by 4-Aminopyridine in Chicks Model

**A thesis Submitted
By
Zuhair Salim Ahmed Al-Jubouri**

**To
The Council of College of Veterinary Medicine
University of Mosul
In
Partial Fulfillment of the Requirement for
the degree of Master of Science
In
Veterinary Medicine / Veterinary Pharmacology and Toxicology**

**Supervised By
Assistant Professor
Dr. Maab Azmy Fadhl**



The Effect of Diclofenac and Phenobarbital in Seizures and Some Biochemical Biomarkers Induced by 4-Aminopyridine in Chicks Model

Zuhair Salim Ahmed Al-Jubouri

**M.Sc. Thesis
Veterinary Medicine / Veterinary Pharmacology and
Toxicology**

**Supervised By
Assistant Professor
Dr. Maab Azmy Fadhl**